

Lucrarea 1

Controlul prin examinare vizuală

1. *Denumirea metodei*: EXAMINAREA VIZUALĂ (*VT - Vizual testing*)

2. *Tipul de examinare*: optic; în examinarea vizuală instrumentul optic de mare complexitate, este ochiul omenesc, iar în examinarea optico-vizuală se folosesc accesorii optice, pentru prelungirea funcției vizuale și creșterea sensibilității metodei sau pentru accesul în zone inaccesibile vizual.

3. *Agentul de investigare*: lumina vizibilă - radiația electromagnetică, în spectrul vizibil, cu lungimi de undă cuprinse între 380 nm și 740 nm, obținută de la o sursă de lumină.

4. *Fenomenul fizic de bază*: reflexia luminii provenită de la sursă pe suprafața obiectului examinat.

5. *Modul de aplicare*: obținerea unor informații prin iluminarea obiectului controlat și receptarea imaginilor de către ochiul omenesc prin observare directă (examinarea vizuală) sau ajutorat de aparate optice (examinare optică).

6. *Domeniul de utilizare*: orice obiect, semifabricate, piese finite, asamblări, statice sau în mișcare. Depistarea deformațiilor, rupturilor, fisurilor, porilor și inclu-ziunilor de suprafață, defectelor de formă în general.

7. *Indicația de defect*: imagini virtuale receptate sau reale, înregistrate pe fotografie sau pe bandă video.

8. *Materialul obiectului controlat*: oricare.

9. *Particularități*:

Principala caracteristică a unui operator care lucrează în examinarea optico- vizuală este *acuitatea vizuală* - capacitatea ochiului de a remarca detaliile cele mai mici sau de a le diferenția forma. Pentru ochiul normal, în condiții optime, acuitatea vizuală este de 1'. Acuitatea vizuală medie este de 2 - 4'. La acuitatea vizuală de 2' la distanța de vedere bună (250 mm) ochiul poate deosebi detalii cu dimensiuni mai mici de 0,15 mm. Cea mai înaltă acuitate vizuală se obține la un diametru al pupilei de 3-4 mm, ceea ce corespunde unei iluminări de la 100 până la 1000 lucsi. Se consideră că acuitatea vizuală a unui om este în limite normale (cu sau fără ochelari sau alte corecții medicale), dacă ochiul distinge defecte de tip fisuri cu deschideri de 0,07...0,15 mm, de la o distanță de 250 de mm și în condițiile unei iluminări corespunzătoare.

10. *Scheme de principiu* - pentru efectuarea examinării directe, accesul trebuie să fie suficient pentru amplasarea ochiului la cel mult 600 mm de suprafața de examinat și la un

unghi nu mai mic de aproximativ 30° . În figura 1.11 este prezentată schema de principiu a examinării vizuale, cu evidențierea domeniului unghiular de observare, câmpul vizual util.

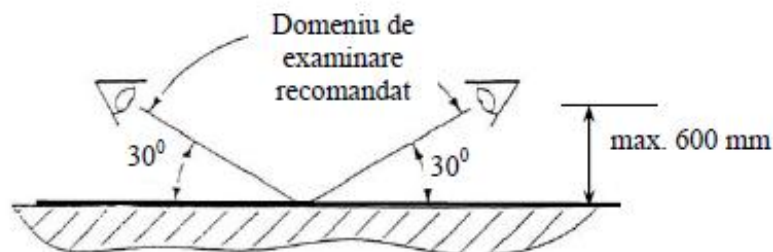


Fig. 1.11. Schema de examinare vizuală.

11. *Echipament de bază* – în examinarea optico-vizuală se folosesc instrumente optice, dintre care, cele mai uzuale, sunt: lupe (fig. 1.12), microscop, endoscoape, periscoape, binocluri, telescoape.

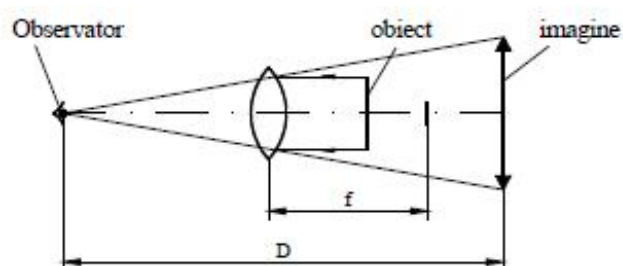


Fig. 1.12. Schema de principiu a unei lupe.

Lupa formează *imaginea virtuală*, dreaptă și mărită a obiectelor plasate între focar, situat la distanța f , și planul principal al obiectului. *Grosismentul lupei* sau *puterea de mărire* se definește ca raport între mărimea aparentă a imaginii și mărimea aparentă naturală (mărimi ale imaginii formate pe retină, atunci când ochiul privește obiectul prin aparat, respectiv liber, de la distanța minimă a vederii clare). În figura 1.13, este prezentată o imagine preluată în timpul examinării optico-vizuale a unei cusături sudate, cu o lupă cu mărire $2x$.



Fig. 1.13. Examinarea cu lupa a unei cusături sudate.

Grosismentul lupelor utilizate în domeniul examinărilor nedistructive variază între 2 și 8x. Mărirea maximă la utilizarea unui microscop este de 40x. Pentru examinarea suprafețelor interioare sau a unor componente incluse în structuri, care împiedică examinarea directă, se folosesc diverse instrumente care deviază și transmit lumina reflectată de suprafața analizată.

Adesea aceste instrumente sunt asociate cu aparate fotografice sau camere de luat vederi. Principalele instrumente optice folosite în acest scop sunt endoscoapele, în diverse soluții constructive.

Schemele de principiu ale unor endoscoape fixe sunt prezentate în figurile 1.14 și 1.15.

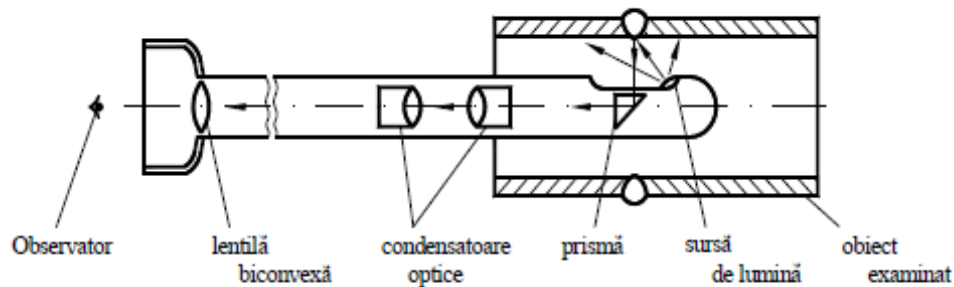


Fig. 1.14. Schema de principiu a unui endoscop.

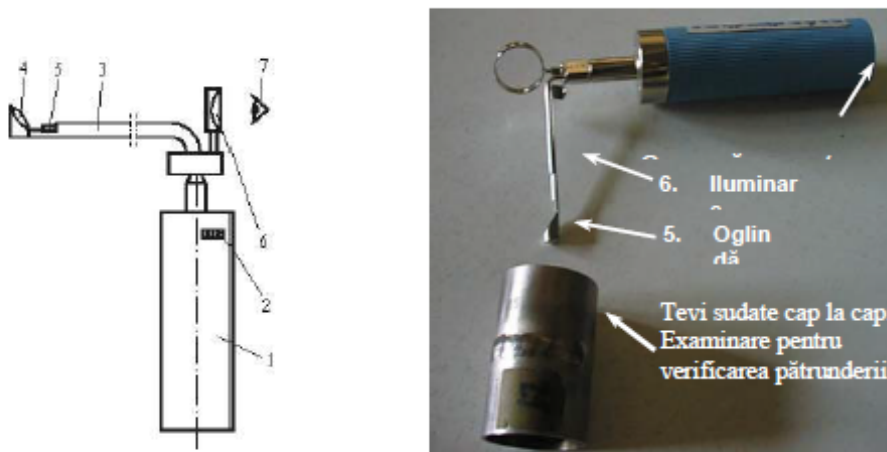


Fig. 1.15. Schema și fotografia unui endoscop (boroscop): 1 - mâner (suport baterii); 2 - întrerupător; 3 - tijă schimbabilă; 4 - oglindă; 5 - lampă cu halogen; 6 - lentilă schimbabilă; 7 - ochi.

Lumina reflectată de rădăcina unei cusături sudate este deviată de o prismă, care schimbă direcție de propagare a razelor de lumină din plan vertical, în plan orizontal. Razele deviate trec apoi succesiv printr-un ansamblu de elemente optice (condensatoare, filtre etc.), care au rolul de a împiedica împrăștierea fasciculului de lumină reflectat de obiectul de examinat, ajungând la observator.

12. Observații și recomandări

Normele actuale consideră că iluminarea este corespunzătoare atunci când are valori între 500 și 1000 lx. O iluminare sub 350 lx este nesatisfăcătoare, dar și o iluminare prea puternică, peste 2000 lx, conduce la rezultate slabe.

Practic, iluminarea necesară se realizează prin amplasarea unei lămpi cu incandescență de 100 W la o distanță de 0,2 m, respectiv un tub fluorescent de 80 W la o distanță de 1 m de suprafața iluminată. În acest fel se asigură o iluminare de 500...600 lx.

Pentru a examina optico-vizual o suprafață a unui obiect, este necesar să se ia următoarele măsuri:

- asigurarea accesului liber la suprafață prin îndepărtarea tuturor obiectelor care deranjează observarea; folosirea unei oglinzi poate ajuta la observarea unor zone greu accesibile;
- îndepărtarea materialelor care pot masca discontinuitățile: murdărie, rugină, zgură, cruste, arsură, stropi, urme de vopsea etc.

Din punct de vedere istoric, se poate afirma cu certitudine că prima metodă de examinare nedistructivă folosită de om a fost cea vizuală.

Examinarea vizuală se poate regăsi în aproape toate celelalte metode de examinare cum ar fi, de exemplu: examinarea radiografiilor în examinarea cu radiații penetrante, examinarea imaginilor date de pulberile magnetice sau a indicațiilor de defect oferite de lichidele penetrante.

Examinarea vizuală directă se caracterizează prin simplitate, cost relativ scăzut, ușurință în aplicare, dar necesită un nivel înalt de competență din partea operatorului, cunoștințe interdisciplinare care să permită interpretarea corectă a informațiilor vizuale.

Cauzele care au determinat un anumit grad de neglijare a acestei metode ar putea fi explicate prin câteva aspecte care, uneori au diminuat încrederea în rezultatele obținute, și anume:

- dependența rezultatelor, în mod adesea subiectiv, de operator și de nivelul de conștiințiozitate și de competență ale acestuia;
- o anumită modă a aparatelor;
- depedența deciziilor de acuitatea vizuală a operatorului, care variază de la o persoană la alta și la aceeași persoană, în funcție de vârstă;
- necesitatea unei curățări prealabile corespunzătoare a suprafeței obiectului care este supus examinării, suprafață ce trebuie, concomitent, să fie iluminată adecvat, în domeniul spectrului vizibil și să fie situată la o anumită distanță care să permită examinarea.

Controlul cu lichide penetrante

1. PARTICULARITĂȚI

Metoda de control cu lichide penetrante este cunoscută și aplicată sub formă rudimentară (de exemplu: petrol cu praf de carbonat de calciu în amestec cu alcool) de peste un secol. Tehnicile moderne, într-o manieră similară celor folosite astăzi, se cunosc din preajma celui de-al doilea război mondial. Perfecționările ulterioare își au originea în dezvoltarea aviației, construcției de rachete, a tehnicii nucleare și aerospațiale.

Controlul cu lichide penetrante pune în evidență orice discontinuitate (imperfecțiune) de suprafață. Se poate aplica la orice material, formă și dimensiuni de piesă în condiții de hală sau șantier pe suprafețe uscate, la temperaturi de peste $10 \div 15^{\circ}\text{C}$.

Metoda este productivă, ieftină, ușor de folosit, se pretează și la controlul pe suprafețe (lungimi) mari. Rezultatele sunt concludente, imediate și ușor de interpretat. Indicațiile provenite de la discontinuități sunt mărite prin absorbția penetrantului de câteva ori.

Controlul cu lichide penetrante implică curățirea chimică a suprafeței de impurități, operații de spălare postoperatorie, mai ales atunci când se aplică interfazic, în cursul depunerii succesive a straturilor de sudură. Limitări apar în anumite cazuri datorită faptului că unele rețete de lichide penetrante utilizează materiale inflamabile și toxice, care reclamă măsuri corespunzătoare de spălare și evacuare.

Probabilitatea de detectare a defectelor este cu atât mai mare cu cât gradul de prelucrare a suprafeței examinate este mai fin. Metoda de control este relevantă pentru discontinuități cuprinse în intervalul 0,1 - 5 mm. La nivelul performanțelor maxime, nivelul de detectabilitate ajunge până sub un micron. Controlul cu lichide penetrante trebuie considerat ca o perfecționare și extindere în același timp a examinării vizuale. Controlul cu lichide penetrante a îmbinătorilor sudate implică, ca și controlul cu pulberi magnetice, examinarea unor zone de minimum 20 - 30 mm de o parte și de alta în lungul sudurii, ceea ce prezintă avantajul de a evidenția și eventualele fisuri propagate în materialul de bază. El poate fi aplicat în diferite faze de execuție. Limitările în aplicarea metodei pot fi cauzate numai de temperatură, întrucât penetranții obișnuiți nu pot fi folosiți la temperaturi ce depășesc 50°C . Există și lichide penetrante speciale, cu punct de inflamabilitate de peste 250°C [22], care fac posibil controlul între straturi depuse la sudare sau placare.

Pentru controlul la temperaturi joase s-au elaborat penetranți aplicabili până la -35°C [10].

Controlul cu lichide penetrante se folosește cu rezultate bune și în cazul plăcărilor și al metalizărilor. Aria de întrebuintare nu este practic limitată de felul materialului, putând fi utilizat la toate tipurile de oțeluri, fonte, aliaje de aluminiu și magneziu și, în general la metalele neferoase, precum și la materiale amorfe, plastice, ceramice, sticlă etc.

Un domeniu de mare interes a metodei îl reprezintă controlul etanșității produselor.

2. PRINCIPIU ȘI METODE DE CONTROL

Controlul cu lichide penetrante constă în aplicarea pe suprafața supusă controlului a unui lichid cu bune calități de penetrare în discontinuitățile superficiale și evidențierea acestora prin contrast cu ajutorul unui dezvoltant (figura 1). Penetrarea în discontinuitățile cele mai fine - pori, fisuri ș.a. - se produce datorită fenomenului de capilaritate. Dezvoltarea penetrantului are loc datorită efectului de absorbție a dezvoltantului.

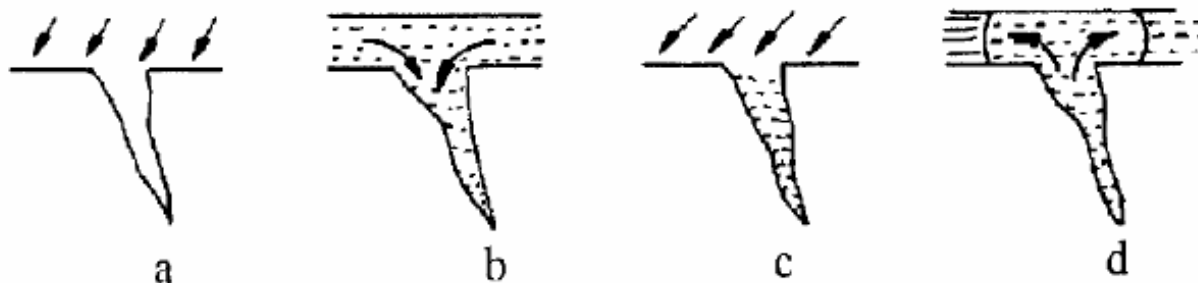


Fig 1. Principiul controlului cu lichide penetrante: a.- curățirea suprafeței; b.- aplicarea penetrantului și infiltrarea în discontinuitate; c. - îndepărtarea excesului de penetrant; d - aplicarea developantului și adsorbția penetrantului:

Controlul cu lichide penetrante pune în evidență în exclusivitate discontinuitățile deschise la suprafață, cum sunt: porii, fisurile, suprapunerile, lipsa de pătrundere îngust deschisă la suprafață, creștăturile marginale, exfolierile din materialul de bază, craterile. Relevante pentru controlul cu lichide penetrante sunt mai ales porii singulari și fisurile, fie ele termice, fie de oboseală, care în majoritatea cazurilor sunt dificil decelate la controlul vizual. Suprafețele poroase sau zonele cu densitate ridicată de pori sau foarte rugoase, nu pot fi controlate eficient datorită dificultăților de interpretare a indicațiilor relevate. În principiu, piesele se supun controlului înaintea aplicării tratamentelor termice sau a prelucrărilor prin așchiere întrucât, mai ales cele din urmă, pot masca sau chiar închide discontinuitățile mai fine.

Principalele metode de control cu lichide penetrante sunt următoarele:

a) Metoda colorării la care contrastul pentru relevarea discontinuităților este unul de culoare, de obicei roșu pe fond alb, este cea mai frecvent utilizată;

b) Metoda fluorescență la care contrastul pentru relevarea discontinuităților este obținut prin strălucirea observată în lumină ultravioletă și câmp de examinare negru; contrastul este de regulă galben - verde pe fond violet închis;

c) Metoda activării cu ultrasunete unde surplusul de energie de infiltrare a penetrantului folosit este asigurat cu ajutorul vibrațiilor ultrasonore și emisia undelor elastice în mediul de penetrare sau de postemulsionare. O frecvență mai joasă mărește capacitatea de pătrundere dar poate avea efecte perturbatorii sub 20 kHz.

Activarea cu ultrasunete se aplică mai ales în cazul controlului etanșeității produselor contribuind la învingerea forței de aderență și forțarea procesului de infiltrare a penetrantului. Cu bune rezultate se folosește la spălarea suprafețelor capilare de materiale contaminate. Vibrațiile contribuie de asemenea la minimizarea duratei de penetrare.

d) Metoda cu trasor radioactiv, unde evidențierea discontinuităților se realizează prin impresionarea unui film radiografic aplicat în stare lichidă, de către substanțe radioactive conținute în mediul de penetrare.

Indiferent de felul penetrantului sau a developantului, controlul cu lichide penetrante comportă următoarele operații:

1. pregătirea suprafeței;
2. aplicarea penetrantului;
3. îndepărtarea excesului de penetrant;
4. aplicarea revelatorului;
5. examinarea suprafeței și interpretarea rezultatelor;
6. marcarea pe piesă a locurilor defecte.

În cazul folosirii penetranților cu postemulsionare este necesară o fază suplimentară de adăugare a agentului emulgator după epuizarea timpului de pătrundere a penetrantului.

Componentele se livrează în seturi de flacoane de 250 - 500 ml. Consumul de soluții este de aproximativ un flacon de 350 cm³ la 50 - 100 m cusătură sudată. Proporția consumului între degresant - penetrant - developant este funcție de starea suprafeței, în general în limitele de 2-

2,5:1,2:1. Pentru aplicații diferite de cea prin pulverizare, componentele se livrează la bidoane speciale.

3. CAPILARITATE ȘI FACTORI DE INFLUENȚĂ

3.1. Teoria tensiunii superficiale

Între moleculele stării lichide se exercită forțe de atracție, cunoscute sub denumirea de coeziune. Moleculele aflate la interfața lichid-solid (LS), respectiv la interfața lichid - gaz (LG), sunt supuse unui câmp de atracție asimetric, care tinde să micșoreze suprafața limită de separație. Ansamblul forțelor superficiale de atracție moleculară care se exercită pe unitatea de lungime a stratului limită dă naștere tensiunii superficiale.

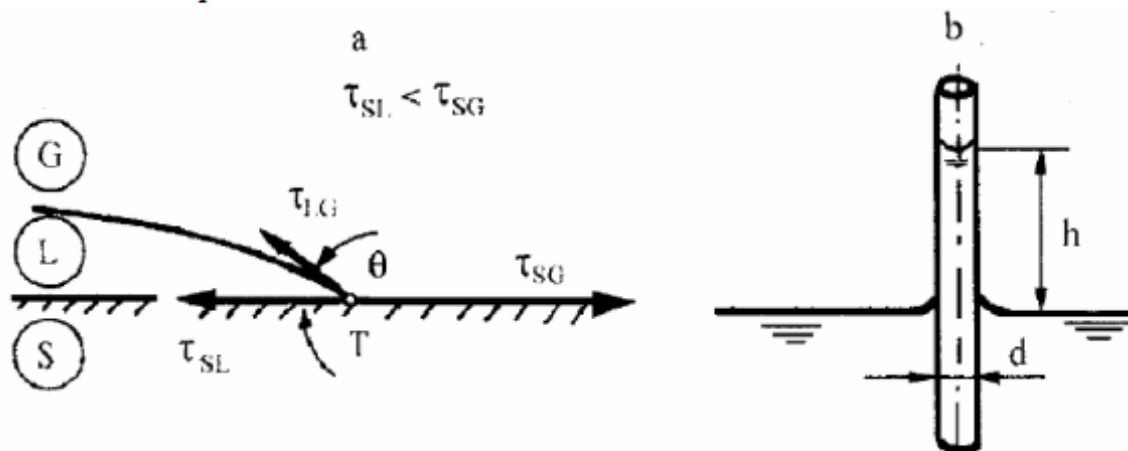


Fig. 2. Condiții de capilaritate ale lichidelor tensioactive:

a. -echilibrul tensiunilor superficiale la tripla interfață:

b. - ridicarea lichidului în tubul capilar:

Asupra moleculelor aflate la interfața lichid - solid se exercită, pe de o parte forțele de coeziune intermoleculară proprii, iar pe de altă parte, forțele coeziionale de atracție a mediului solid de contact. Acest joc al forțelor moleculare determină adeziunea lichidului pe suprafața solidului, care depinde de natura celor două substanțe și în principal de tensiunile lor superficiale.

După cum rezultă din figura 2a, lichidele cu tensiune superficială τ_{LG} mică, așa numite tensioactive, posedă o mare capacitate de umectare (întindere pe suprafață) și un unghi mic de contact, θ . Pentru producerea umectării una din condițiile esențiale este ca între tensiunile superficiale ale straturilor limită solid - gaz (τ_{SG}), respectiv solid - lichid (τ_{SL}), să se satisfacă inegalitatea:

$$\tau_{SG} > \tau_{SL} \quad (1)$$

La limita de separație a celor trei medii (punctul triplu T) din condiția de echilibru a tensiunilor superficiale rezultă:

$$\tau_{LG} \cdot \cos \theta = \tau_{SG} - \tau_{SL} \quad (2)$$

unde unghiul θ este cuprins între 0 și 10°.

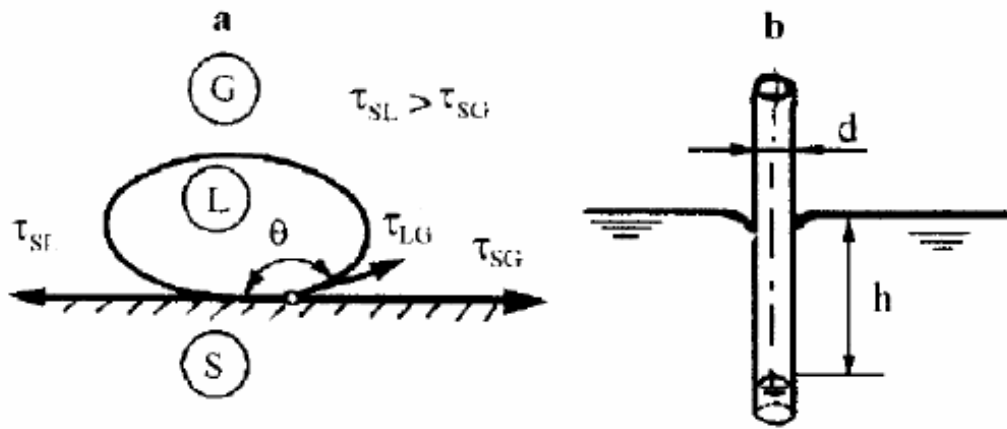


Fig. 3. Condiții de capilaritate ale lichidelor tensioinactive:
 a. - echilibrul terisiunilor superficiale la tripla interfață;
 b. -coborârea lichidului în tubul capilar.

Pe de altă parte, datorită faptului că adeziunea la aceste lichide este superioară propriei coeziuni, ele posedă bune însușiri de capilaritate (capacitatea de urcare în tuburi subțiri și menisc concav), figura 2b. Înălțimea coloanei capilare variază invers proporțional cu diametrul, respectiv deschiderea discontinuității. Astfel, în cazul apei $h = 30/d$.

Lichidele cu tensiune superficială τ_{LG} mare, nu sunt umectabile și formează în punctul triplu un unghi mare de contact ($\theta > 90^\circ$), care poate ajunge până la 170° , figura 3. În tubul capilar, coloana cu menisc convex se lasă sub nivelul lichidului în care este introdus tubul.

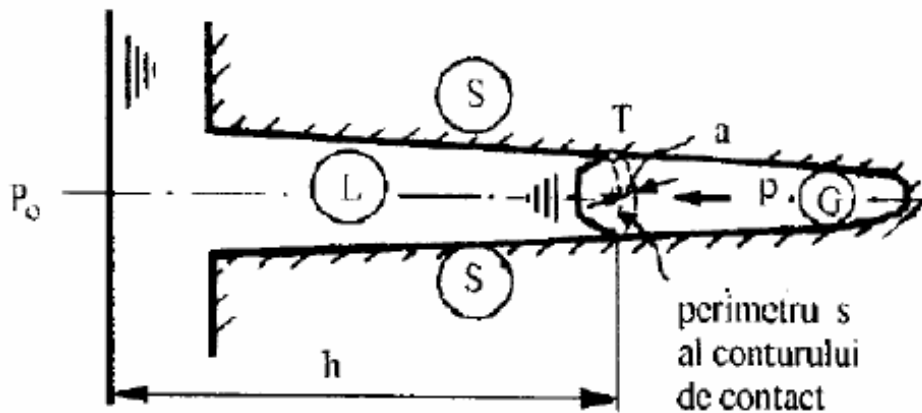


Fig 4. Pătrunderea lichidului tensioactiv în defect

În cazul unei discontinuități lichidul tensioactiv (L) pătrunde prin capilaritate și comprimă gazul (G) din interiorul său, figura 4. Adâncimea de pătrundere h este determinată de egalitatea dintre forța de înaintare provenită din tensiunea sa superficială și cea a forței care se opune înaintării prin mărirea presiunii interioare de la presiunea atmosferică p_0 la p . Ecuația de echilibru dintre cele două forțe poate fi scrisă sub forma:

$$(\tau_{SG} - \tau_{SL})ds - (p - p_0)a \cdot dh = 0 \quad (3)$$

unde p este presiunea finală a gazului din vârful discontinuității, ds lungimea unui element de contur situat la tripla interfață la suprafața discontinuității, iar a , grosimea elementului de contur. Intrucât presiunea capilară:

$$p_c = p - p_0 = \rho \cdot g \cdot h \quad (4)$$

se poate scrie:

$$\tau_{LG} \cdot \cos\theta \cdot ds = p_c \cdot a \cdot dh \quad (5)$$

Dacă în continuare raportul ds/dh poate fi considerat constant (K), fiind în funcție de configurația discontinuității în care a pătruns lichidul tensioactiv, se poate stabili limita dimensiunii discontinuității minim detectabile:

$$a = \frac{K \cdot \tau_{LG} \cdot \cos\theta}{p_c} \quad (6)$$

Rezultă că adâncimea minimă detectabilă este invers proporțională cu presiunea capilară și direct proporțională cu tensiunea superficială a lichidului penetrant.

Analiza relației (6) permite concluzii pertinente privind condițiile obținerii unei înalte sensibilități de detectare a defectelor cu lichide penetrante și anume:

- utilizarea unor penetranți cu tensiune superficială cât mai mică, $\tau_{LG} \leq 0,1 \text{ N/m}$;
- capacitate mare de umectare ($\theta \approx 0$; $\cos \theta \approx 1$);
- presiune capilară cât mai ridicată, ($p_c \approx 2 \cdot 10^5 \text{ N/m}^2$); ea nu depășește în general presiunea atmosferică mai mult de două ori;
- coeficient de formă cât mai mic ($K = 2 \div 3,14$ pentru forme care variază de la fisură la incluziune de gaz sferoidală).

Înlocuind valorile cele mai favorabile în relația (6), rezultă că teoretic discontinuitatea minim detectabilă este de aproximativ 2 - 3 microni, ceea ce corespunde limitei de sensibilitate stabilită și experimental.

3.2. Factori de influență asupra capilarității

Din examinarea relațiilor (4), (5) și (6) rezultă că posibilitățile de infiltrare a lichidelor penetrante în discontinuități fine depind în principal de următorii factori:

1. tensiunea superficială a lichidului penetrant;
2. factorul de formă a discontinuității;
3. presiunea capilară;
4. temperatura suprafeței și a lichidului penetrant, care afectează vâscozitatea și tensiunea superficială;
5. presiunea atmosferică.

Capacitatea de infiltrare a lichidelor penetrante este influențată suplimentar și de câțiva factori de natură mecanică și chimică. Dintre aceștia rugozitatea suprafeței interioare a discontinuității și/sau obturarea mecanică a secțiunii capilare produc o mărire a unghiului de contact θ și ca urmare micșorarea forței de infiltrare.

Straturile interioare de oxizi, având o energie superficială mai mare decât metalul curat $\tau_{OG} > \tau_{SG}$ micșorează unghiul de contact, deoarece relația (2) este înlocuită de relația:

$$\tau_{LG} \cos\theta_0 = \tau_{OG} - \tau_{OL} \quad (7)$$

și cum $\cos\theta_0$ trebuie să fie mai mare decât $\cos\theta$, rezultă $\theta_0 < \theta$. Așadar, dacă nu se produce o obstrucție mecanică cu modificarea secțiunii și a coeficientului de formă K , suprafața oxidată în interior ajută la pătrunderea capilară.

În cazul contaminării suprafeței interioare a discontinuității cu lichide rezultă o mărire a tensiunii superficiale și a unghiului de contact θ , a amestecului ce se formează între penetrant și lichidul respectiv. Urmarea directă este micșorarea capacității de pătrundere a penetrantului. Apa conținută

în penetrant sau absorbită din aer, apa folosită la îndepărtarea excesului de penetrant solubil în apă, precum și emulsificatorul utilizat în sistemele cu post-emulsionare, produc același efect defavorabil. Penetrantul contaminat cu praf și particule coloidale, își pierde din capacitatea de infiltrare tot datorită măririi unghiului de contact.

Reducerea tensiunii superficiale a lichidului penetrant se obține și prin aditivare cu agenți superficiali activi și se exprimă prin relația:

$$\Delta\tau = \tau_{LS} - nkT \quad (8)$$

de unde rezultă că eficiența respectivă este influențată pe de o parte de concentrația superficială n a substanței absorbite și de temperatura absolută T , k fiind constanta lui Boltzmann egală cu $1,38 \cdot 10^{-23}$ J/°K. O altă sursă serioasă de contaminare a penetrantului o reprezintă substanțele organice, de exemplu uleiurile, grăsimea și vopseaua, frecvent dispuse pe suprafața pieselor. Ele provoacă serioase neajunsuri dacă nu se degresează în mod corespunzător, deoarece pot obtura discontinuitățile. Cum majoritatea lor se dizolvă în lichidul penetrant, rezultă o mărire a vâscozității acestuia, o reducere a contrastului și o deteriorare a sistemului de emulsionare în cazul folosirii penetranților cu postemulsionare.

4. CARACTERISTICILE LICHIDELOR PENETRANTE

Lichidele penetrante se clasifică după următoarele criterii:

a) după contrast - se cunosc:

- penetranți colorați;
- penetranți fluorescenți;
- penetranți combinați colorați și fluorescenți;
- penetranți radioactivi.

b) după solubilitate - se cunosc:

- penetranți solubili în apă (PSA), de tip 1, după normele ASTM [2];
- penetranți solubili în solvenți organici (PSO), de tip 3, după normele ASTM [2];
- penetranți cu postemulsionare (PPE), de tip 2, după normele ASTM [2].

Cel mai frecvent sunt utilizați penetranții colorați și fluorescenți solubili în apă.

Se menționează însă că penetranții solubili în solvenți organici sunt calitativ superiori celor solubili în apă. Penetranții fluorescenți sunt recomandați în cazul observării unor discontinuități liniare foarte fine deschise datorită contrastului superior creat prin strălucirea în câmp întunecat. Strălucirea este însă negativ influențată prin expunere îndelungată în lumină naturală sau la raze ultraviolete înainte de examinarea propriu-zisă, sau la temperaturi de peste 60°C.

Penetranții cu postemulsionare (PPE) sunt penetranții care pot fi spălați cu apă numai după adăugarea unui agent emulgator.

Compoziția lichidelor penetrante variază în limite largi. Penetranții au în componență un solvent organic clorurat sau neclorurat, un agent umectant și un colorant fluorescent sau roșu. Pentru a obține pe de o parte penetrabilitatea necesară, iar pe de altă parte o sensibilitate și o reproductibilitate superioară la examinarea suprafețelor, penetranții trebuie să posede o vâscozitate cinematică cât mai scăzută și cât mai puțin influențată de temperatură. Ei trebuie să asigure în același timp și condiții corespunzătoare de lavabilitate și de adeziune, spre a nu fi îndepărtați cu prea mare ușurință din locurile defecte. După [6], vâscozitatea dinamică optimă pentru satisfacerea celor două condiții este de 3 - 5 cP (centiPoise) la temperatura de 30°C pentru penetranții solubili în apă, iar după [27], de cca. 9,5 cP la temperatura de 38 - 40°C, la penetranții cu postemulsionare.

*UM-CGS - vâscozitate dinamică - poise - $1P = 0,1Pa \cdot s = 0,1 Ns/m$

**UM-CGS - vâscozitate cinematică - stokes - $1 St = 10^{-4} m^2/s$

Vâscozitatea cinematică a lichidelor este influențată în principal de temperatură, scăzând exponențial odată cu creșterea acesteia. La temperaturi sub 10-15°C nu se mai asigură o capilaritate

corespunzătoare, iar la temperaturi de peste 60-70°C componentele volatile ale penetranților obișnuiți se evaporă mărind astfel vâscozitatea, scăzând capacitatea de absorbție a dezvoltantului și modificând substanțial contrastul. Rezultatele optime ale controlului se obțin în domeniul de temperatură 25 - 40°C.

Dependența de temperatură a vâscozității cinematice la principalii penetranți pe bază de petrol utilizați în defectoscopie este de formă exponențială, fiind prezentată după [11] în figura 5.

Alături de condițiile de vâscozitate se subliniază și importanța posedării unei tensiuni superficiale cât mai mici pentru a facilita pătrunderea prin efect de capilaritate în cele mai fine discontinuități de material. Totodată penetrantul trebuie să asigure bune însușiri de contrast, stabilitate la lumina zilei, respectiv la raze ultraviolete.

Cantitatea de apă tolerată în penetranți PSA este în funcție de tipul penetrantului, fiind de regulă sub 5%, cu toate că există și soluții la care cantitatea tolerată ajunge la 20%. Mărirea cantității de apă provoacă micșorarea vâscozității, a concentrației și contrastului dezvoltantului. Efectele se fac simțite prin condensul format din atmosferă. Așa se explică necesitatea limitării temperaturii minime de folosire a penetranților.

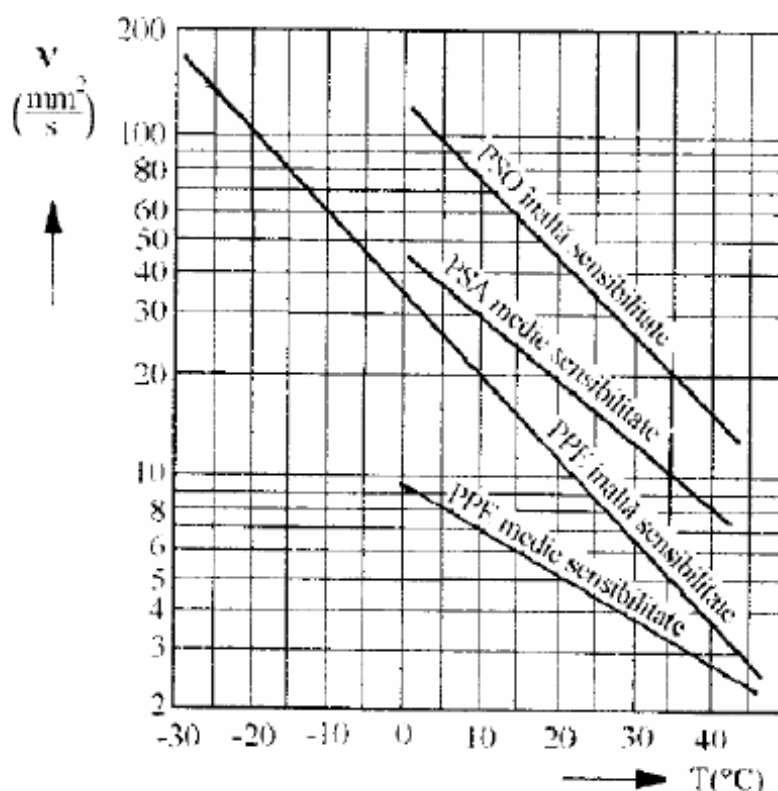


Fig 5. Variația vâscozității cinematice a lichidelor penetrante cu temperatura.

Atât penetranții, cât și dezvoltanții trebuie să îndeplinescă condiția de a nu fi acide sau bazice, spre a evita reacții chimice cu materialul de bază. De asemenea, trebuie să prezinte un punct de inflamabilitate cât mai ridicat, și anume la cei folosiți pentru controlul la temperaturi normale de minimum 80 - 90°C. Astăzi se livrează în mod curent penetranți cu punct de inflamabilitate situat la 150°C, lipsiți de halogeni și sulf. Calitatea substanțelor întrebuințate se verifică după reguli precizate în [30], atât la recepție, cât și în timpul folosirii lor.

La controlul oțelurilor inoxidabile austenitice, respectiv a aliajelor de nichel, este obligatorie limitarea conținutului de sulf și de halogeni a penetranților și dezvoltanților la 0,5% [1].

Conținuturi de halogeni peste această limită și mai ales în clor, pot cauza coroziunea sub tensiune a metalelor respective. Conținuturile mari de sulf sunt dăunătoare în special oțelurilor aliate cu nichel, putând cauza reacții cu eliberare de hidrogen, ceea ce provoacă mărirea susceptibilității la fragilizare.

5. MECANISMUL FORMĂRII ZONEI INSOLUBILE ȘI A PENETRANTULUI CAPTIV

După pătrunderea prin mecanismul de capilaritate a lichidului penetrant în discontinuitățile superficiale, urmează operația de spălare și îndepărtare de pe suprafața piesei a surplusului de penetrant, iar în cazul penetranților cu postemulsificare, depunerea agentului emulgator. În aceste condiții, dacă se analizează efectele produse în interiorul discontinuității se constată formarea a trei zone distincte prezentate în figura 6.

Zona (a) de pătrundere a lichidului penetrant prin capilaritate, zona (b) de infiltrare a agentului emulgator care reacționează cu penetrantul pe o anumită adâncime, în care se produce și difuzia penetrantului în emulgător, și zona (c) de pătrundere a apei provenite de la spălarea excesului de penetrant solubil în apă în care este inclusă și o subzonă de aglomerare a amestecurilor de substanțe. Zona de reacție a penetrantului captiv cu lichidul de postemulsionare formează zona insolubilă.

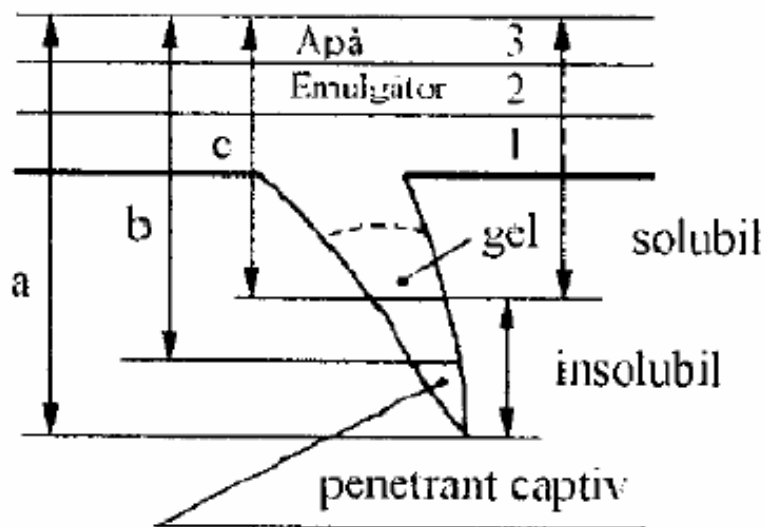


Fig. 6. Zone distincte formate la suprafața și în interiorul unei discontinuități examinate cu lichide penetrante cu post-emulsionare;

Formarea și stabilitatea zonei insolubile este esențială pentru metoda de examinare cu lichide penetrante, deoarece în lipsa ei nu s-ar mai putea obține indicații de defect prin mecanismul de absorbție a penetrantului captiv de către dezvoltant. Extinderea sau grosimea stratului lichid al penetrantului captiv și a zonei insolubile este considerat ca unul din parametrii de performanță. Ea depinde de raportul dintre vâscozitatea penetrantului și indicele de emulsificare.

Rezultă că penetranții greu emulsificabili având indicii de emulsificare $1 \div 1,1$ sunt cei mai eficienți. Dintre aceștia fac parte penetranții conținând rășini macromoleculare siliconice, poliesterice sau vinilice, precum și cei care conțin alchilfenoli și derivați ai acestora.

În cazul penetranților conținând agent emulsificabil, folosiți cel mai frecvent în tehnicile de control, extinderea zonei de penetrant captiv în discontinuitate, figura 7, depinde de intensitatea procesului de difuzie a solventului în cazul întrebuițării de penetrant solubil în solvent organic (figura 7a), respectiv de gradul procesului de difuzie a apei, dacă pentru penetrare se întrebuițează penetrant solubil în apă (figura 7b).

Pentranții sub formă de spray-uri conțin și inhibitori de dizolvare în substanțele fotosite la spălare - îndepărtare a excesului de penetrant cu solvenți organici. Acest lucru se realizează prin utilizarea unui solvent slab și prin utilizarea unor soluții mutual miscibile.

Pentranții sub formă de spray-uri solubili în apă folosesc pentru micșorarea solubilității modificarea sinergică a raportului hidrofilice/lipofilice, prin reducerea componentei hidrofilice, micșorarea solubilității prin evaporarea solventului sau/și prin mărirea cantității de gel.

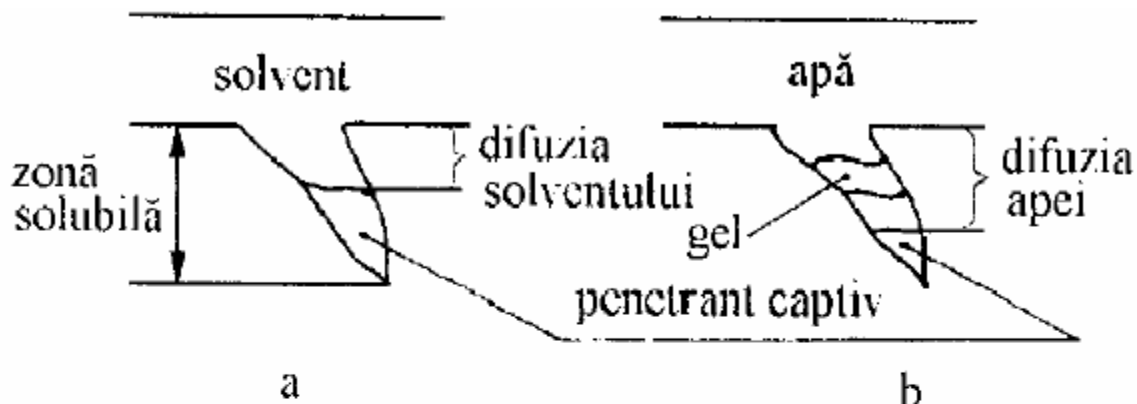


Fig. 7. Formarea zonei de penetrant captiv la examinarea cu penetranți autoemulsificabili:
 a. - solubili în solvent organic;
 b. - solubili în apă;

6. MECANISMUL DE DEZVOLTARE A PENETRANTULUI

Lichidul penetrant rămas în discontinuități după îndepărtarea excesului de pe suprafața piesei examinate trebuie absorbit la suprafață pentru a obține prin contrast de culoare sau contrast fluorescent, indicația de defect. Acest rol îl îndeplinește dezvoltantul, care asigură următoarele funcții (figura 8):

1. absorbția restului de penetrant captiv în discontinuități;
2. fixarea penetrantului și lățirea indicației pe măsura măririi grosimii stratului;
3. formarea și îmbunătățirea contrastului dintre penetrant și dezvoltant.

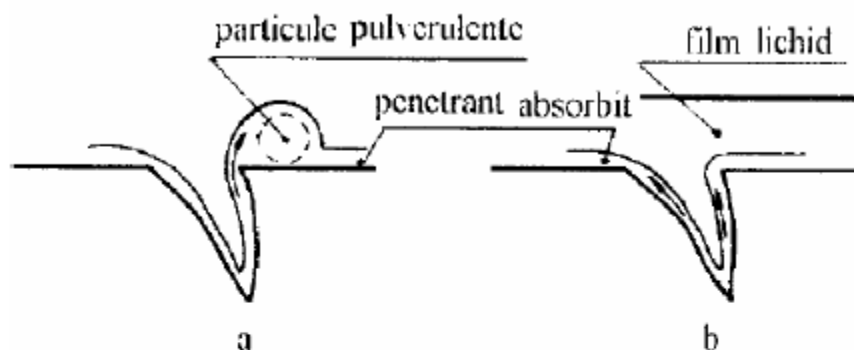


Fig. 8 Dezvoltarea penetrantului:
 a. cu dezvoltant conținând particule pulverulente;
 b. cu dezvoltant lichid;

Pentru ca absorbția să aibă loc, presiunea de absorbție trebuie să depășească presiunea capilară cu o cantitate necesară punerii în mișcare a lichidului. Presiunea de adeziune a penetrantului la dezvoltant p_D poate fi exprimată de relația presiunii capilare:

$$p_D = K_D \cdot \tau_{LS} \cdot \cos \theta_D / d_D \quad (9)$$

unde d_D este diametrul particulelor dezvoltantului. Admitând o formă sferică $K_D = \pi \cdot d_D$ și ca urmare:

$$p_D = \pi \cdot \tau_{LS} \cdot \cos \theta_D \quad (10)$$

de unde se concluzionează că acțiunea developantului depinde de unghiul său de contact θ_D cu materialul examinat. Cum presiunea de adeziune trebuie să fie cât mai mare ca penetrantul să exudă din discontinuitate, este necesar ca $\theta_D < \theta$, iar $\tau_{LD} > \tau_{LS}$.

Scriind relația:

$$\tau_{LS}(1 + \cos\theta_D) = \tau_{LS} \cos\theta_D \cdot ds/dh \quad (11)$$

rezultă:

$$(1 + \cos\theta_D)/\cos\theta_D = ds/dh - K_D = \pi d_D \quad (12)$$

Punând condiția $\theta_D = 0^\circ$ se obține diametrul optim al particulelor developantului:

$$d_D = 2/\pi \cong 0,6 \mu\text{m} \quad (13)$$

Experimentări comparative cu diferite substanțe developante au scos în evidență performanțele developanților cu silicați pirolitici sub formă de particule sferice neporoase, de dimensiuni submicroscopice, care absorb cantități foarte mici de lichid penetrant pe întreaga suprafață exterioară a acestor particule.

Acțiunea de absorbție a penetrantului captiv din discontinuități a căror suprafață interioară este acoperită cu o crustă având o energie superficială apropiată sau mai mare decât a developantului, de exemplu stratul de penetrant neîndepărtat provenit de la o examinare anterioară, este mult diminuată. Presiunea acestei cruste la care se adaugă presiunea capilară pot să excedă presiunea developantului blocând formarea indicației de defect. În același fel influențează suprafețele oxidate, carburate sau nitrurate, deși după cum s-a văzut factorii respectivi facilitează infiltrarea penetrantului.

7. CARACTERISTICILE DEVELOPANTULUI

Developanții sunt de trei feluri:

- developanți pulbere uscată care se aplică prin pulverizare;
- developanți suspensie în apă sau în solvenți;
- developanți de soluții apoase.

Cel mai frecvent sunt utilizați developanții de suspensie în solvent clorurat, cu toate că developanții pulbere uscată oferă o sensibilitate superioară de detectare a discontinuităților [6]. Toti developanții obișnuiți au o rezistență foarte mică la spălare, ceea ce reclamă mănuierea îngrijită a piesei înainte de observarea discontinuităților și interpretare.

Developanții trebuie să asigure pe cât posibil modificarea proprietăților de absorbție într-un timp relativ scurt [1], pentru a inhiba lățirea exagerată a indicației de discontinuitate și a o contura în consecință cât mai exact. Trebuie să asigure totodată contrastul pe alb, să posede o densitate corespunzătoare și o distribuție uniformă a particulelor în suspensie, precum și rezistență la contaminarea cu penetranți.

În funcție de concentrația developantului, strălucirea penetrantului absorbit crește exponențial în domeniul $10 \div 1000 \text{ Cd/m}^2$, [11].

8. TEHNOLOGIA CONTROLULUI

Controlul cu lichide penetrante presupune parcurgerea unei succesiuni de operații relativ simple de a căror acuratețe însă depinde rezultatul și mai ales capacitatea de interpretare a indicațiilor de discontinuitate (defect).

8.1. Curățirea suprafeței. Surse de contaminare a indicațiilor

Sursele de contaminare a suprafeței piesei la examinarea cu lichide penetrante sunt:

- a) prezența stratului de substanță organică - ulei, grăsimi;

- b) straturi protectoare de vopsea;
- c) pelicula de apă sau condens;
- d) crustă de oxizi, exfolieri, zgură;
- e) resturi active de acizi sau baze;
- f) resturi de lichide penetrante rămase din examinări anterioare;
- g) tratamente superficiale de fosfatate, cromare, brunare etc.;
- b) suprafețe reliefate și/sau având o rugozitate excesivă.

Efectele constau în acoperirea discontinuităților, în cazul surselor de sub b, d și g, reducerea concluziei indicațiilor de discontinuitate, în cazul surselor c și e, micșorarea efectului de fluorescență în cazul surselor de tip e, falsificarea efectului menționat în cazul surselor de tip a, obținerea unor indicații false, în cazul surselor d și h, etc. Prezența apei în discontinuități provoacă mărirea tensiunii superficiale și prin aceasta reducerea capacității de infiltrare a penetrantului. Același efect este produs în prezența lichidelor post-emulsificatoare neîndepărtate corespunzător.

Suprafața de contact trebuie să fie uscată și curățită de oxizi, zgură, nisip, șpan, grăsimi, uleiuri, vopsea și alte impurități. Suprafețele oxidate cu zgură sau nisip favorizează indicațiile false. Suprafețele acoperite cu grăsimi, uleiuri, vopsele nu permit sau îngreunează pătrunderea penetrantului în defecte, iar suprafețele umede diluează lichidul penetrant. Controlul este neconcludent dacă suprafața de examinare nu este uniformă și prezintă oxizi, exfolieri, rizuri etc. [28]. În vederea prevenirii închiderii discontinuităților se recomandă evitarea curățirii mecanice și sablarea.

Metodele cele mai propice de curățire sunt:

- insuflarea cu aer sub presiune, și/sau
- spălarea cu jet de apă pentru îndepărtarea impurităților mecanice;
- spălarea cu solvenți organici pentru îndepărtarea impurităților organice (grăsimi, uleiuri, vopsele);
- spălarea cu detergenți, care nu reacționează cu materialul controlat, pentru îndepărtarea impurităților organice;
- decaparea cu baze încălzite sau acizi; această operație se va evita în cazul controlului cu penetranți fluorescenți, întrucât soluțiile decapante influențează luminescența.

După spălare se recomandă uscarea suprafețelor cu jet de aer cald, deoarece solvenții rămași în discontinuități obturează, respectiv influențează pătrunderea penetrantului. Firmele furnizoare livrează de obicei seturi de flacoane, care pe lângă penetranți și dezvoltanți conțin și solvenții necesari pentru spălare - degresare.

8.2. Aplicarea penetrantului

Penetrantul poate fi aplicat prin pulverizare mecanică la înaltă presiune cu aer comprimat sau cu spray-uri, imersare cu pensula sau prin pulverizare electrostatică.

Prima metodă este cea mai economică și asigură o depunere uniformă. Pulverizarea electrostatică asigură cel mai subțire film de penetrant, ceea ce determină o acuratețe superioară în aplicarea metodei. Temperatura suprafeței trebuie să fie de minimum $5 \pm 15^\circ\text{C}$. Sensibilitatea examinării poate fi mărită dacă suprafața este încălzită la cel mult $50 \pm 60^\circ\text{C}$, întrucât discontinuitățile se dilată, iar presiunea din interiorul lor scade, favorizând capilaritatea.

Dacă temperatura suprafeței controlate este cuprinsă în intervalul $5 \pm 15^\circ\text{C}$, durata de pătrundere trebuie să crească de 2 - 3 ori, în cazuri punctuale se reglează tehnologia potrivit indicațiilor de la paragraful 9. Controlul la temperaturi sub 5°C trebuie evitat, [28].

Piesele de controlat se vor poziționa astfel încât să se minimalizeze scurgerile.

Timpul de penetrare este în funcție de: calitatea penetrantului, materialul examinat și temperatură, iar la temperatura ambiantă este cuprins în general între 5 și 20 de minute. La materialele plastice, ceramice, sticlă, timpul de penetrare este la limita inferioară: la materialele

metalice, piese turnate, forjate sau laminate, la limita superioară. În cazul oțelurilor austenitice crom-nichel, timpul de penetrare va fi de $1 \div 2$ ore.

Penetrații cu postemulsionare folosesc două tipuri de agenți emulgatori, care fac posibilă îndepărtarea ulterioară a excesului de penetrant de pe suprafața controlată și anume: emulgator hidrofîl, pe bază de apă și/sau emulgator lipofil, pe baza de ulei. Emulgatorii lipofili difuzează în penetrantul pe bază de solvent organic. Viteza de difuzie este funcție de vîscozitate. Emulgatorii cu o vîscozitate ridicată, încadrată în limitele $60 \div 100$ cSt, au nevoie de o durată de difuzie de cea. 3 - 4 min.

Emulgatorii de mică vîscozitate cuprinsă în limitele $30 \div 50$ cSt, necesită durate de difuzie de pînă la cel mult 2 min.

Emulgatorii hidrofîlici practic difuzează nesemnificativ în penetrant. Moleculele de detergent ale acestora acționează la suprafața piesei curățînd progresiv prin acțiunea lor cinetică. Eficiența reacției este ridicată, ca urmare durata de penetrare foarte mică. Diluția în apă este de aproximativ $1 \div 250$.

Emulgatorii se aplică după durata de penetrare peste pelicula de penetrant.

8.3. Îndepărtarea excesului de penetrant

Îndepărtarea stratului de penetrant în exces este o operație delicată, deoarece o spălare intensă conduce la scoaterea penetrantului din discontinuități falsificând rezultatul controlului, pe cîtă vreme o spălare insuficientă face să rămână penetrant pe suprafață. Penetrații solubili în apă și cei cu postemulsionare se îndepărtează cu apă, prin clătire ușoară sau pulverizare oblică, pînă la dispariția fondului colorat sau fluorescent. Se recomandă folosirea apei calde de maximum 50°C și ștergerea prin tamponare curată fără scame.

Penetrații solubili în solvenți organici se îndepărtează prin operații succesive de ștergere cu tampoane curate. Suprafața se usucă prin evaporare naturală sau accelerată prin insuflare de aer cald.

8.4. Aplicarea developantului

Developanții pulbere se aplică prin presărare, pulverizare sau electrostatic, urmărindu-se obținerea unui strat cît mai fin și mai uniform. **Developanții suspensie** se aplică prin pulverizare, imersare sau cu pensula. Se atrage atenția asupra faptului că depunerea unor straturi prea groase poate prejudicia procesul de dezvoltare în special în cazul discontinuităților foarte mici. Înainte de aplicare se recomandă agitarea pentru uniformizarea conținutului.

Timpul de dezvoltare este aproximativ 50% din timpul prescris pentru penetrare, fiind indicat, ca și timpul de penetrare, de către firma producătoare. În cazul în care se dorește fixarea imaginii prin fotografiere, se recomandă folosirea unui developant special, rezistent la spălare. Dacă developantul nu este solubil în apă suprafața trebuie bine curățită și uscată, operație care se consideră la fel de importantă în aplicarea unei tehnologii de calitate. Pentru a nu diminua fluorescența penetrantului absorbit, temperatura de uscare nu va depăși 60°C .

8.5. Examinarea suprafețelor și interpretarea indicațiilor

Examinarea suprafeței trebuie să înceapă din momentul aplicării developantului pentru a se evita indicațiile neconcludente datorate unei absorbții excesive a penetrantului la suprafața piesei. Totodată, trebuie excluse indicațiile false de defect provenite, fie din lipsa de experiență, fie din neglijență în aplicarea corectă a tehnologiei. În caz de dubiu, suprafața trebuie spălată cu grijă și se repetă întregul ciclu.

8.5.1. Condiții de iluminare și de adaptare

Suprafețele controlate cu **penetranți colorați** se examinează în lumină difuză, asigurându-se o iluminare de 300 - 500 lx, prin folosirea unui tub fluorescent de 80 - 100 W la distanță de cca. 1 m. În cazuri speciale iluminarea poate ajunge la 1000 lx.

Suprafețele controlate cu **penetranți fluorescenți** se examinează în lumină ultravioletă sau lumină neagră de lungime de undă 320 - 400 nm în încăperi slab luminate sau întunecate. Sursele de lumină neagră sunt: lampa incandescentă, lampa fluorescentă, lampa cu arc metalic sau de carbon și lampa cu vapori de mercur, cel mai frecvent folosită. Masa de examinare și fondul trebuie să fie de culoare neagră.

Iluminarea obișnuită este de 10 - 20 lx și rareori întrece 30 lx [28]. Valorile indicate oferă cel mai favorabil raport al luminiscentei penetrantului fluorescent. Examinarea în lumină ultravioletă nu pune probleme deosebite de protecție, totuși, dacă durata contactului cu lumina ultravioletă este de câteva ore, partea expusă trebuie protejată cu mănuși sau prin ungere cu cremă.

Eliminarea factorilor subiectivi umani la examinarea suprafeței controlate și la interpretarea defectelor impune respectarea următoarelor reguli referitoare la condițiile de control și de observare vizuală:

- timpul de adaptare la controlul cu penetranți fluorescenți în încăperi întunecate trebuie să fie de cel puțin 10 minute;
- distanța de examinare se recomandă să fie 0,4 - 0,5 m;
- cel puțin un ochi trebuie să asigure o vedere normală în câmp apropiat, apreciată la valoarea 1,0 cu ajutorul ortotipului și o valoare de minimum 0,8 în câmp mijlociu (0,4 - 5 m) și îndepărtat, [24];
- anomalii de distingere a culorii determinate la anomaloscop trebuie să se încadreze, după [25], în limitele $1,4 > Ac > 0,7$;
- capacitatea de adaptare la întuneric, capacitatea de menținere a acuității vizuale fără oboseală prematură, precum și sensibilitatea la orbire trebuie să se situeze la niveluri normale.

Instrucțiuni de lucru pt controlul cu lichide penetrante conform standard EN 571
Prezentele instrucțiuni se referă la sudura circulară în teava Ø89 x 3 mm material oțel. Lampa cu lumină albă – la nevoie. Luxmetru. Materiale: Spray penetrant roșu, solubil în apă, Spray penetrant removal, Spray dezvoltant
Temperatura de lucru va fi între 15 - 40°C Se va verifica starea suprafeței, care va trebui să fie curată și uscată, lipsită de zgură, rugina, stropi de sudură, creștături sau zgărieturi, ulei, grăsimi, murdărie, vopsea etc. În caz contrar suprafața va fi curățată în mod corespunzător folosind mijloace mecanice sau chimice. Curățirea va trebui să fie efectuată atât pe sudură cât și 50 mm de o parte și de alta a sudurii. Se va efectua și inspecția vizuală preliminară pt a observa. După curățarea suprafeței va trebui să fie uscată. În situația în care temperatura nu este în limitele de mai sus, va fi efectuat test pentru verificarea eficacității penetrantului la temperatura de lucru. Examinarea va fi efectuată la lumina zilei. Se verifică iluminarea la nivelul suprafeței de examinat iar în cazul în care este sub 500lx va fi folosită o lampa cu lumină albă auxiliara, la o distanță potrivită în așa fel încât iluminarea să fie de cel puțin 500lx. Se va identifica în mod corespunzător sudura notându-se poziția sudurii și id-ul sudurii. Se va agita tubul de penetrant și se va aplica un strat suficient de penetrant pe sudură și în ZIT, având în vedere că să fie complet acoperită toată zona de interes. Se va aștepta timpul de penetrare urmărind că să nu se usuce penetrantul, mai ales în cazul temperaturilor ridicate și nici să nu se scurgă de pe piesă. Dacă este necesar va fi aplicat un nou strat de penetrant, fără a fi necesară prelungirea timpului de penetrare. Odată încheiat timpul de penetrare, va fi îndepărtat excesul de penetrant cu o carpa curată, apoi va fi utilizată o altă carpa curată, umezită în apă sau în pe care s-a sprayat solventul, până când va fi îndepărtat complet excesul de penetrant și piesa nu va prezenta nici o urmă vizibilă de penetrant. Timpul de îndepărtare a excesului de penetrant nu trebuie să fie exagerat de mare pentru a se evita uscarea penetrantului din discontinuități. Acest lucru va fi avut în vedere în momentul în care se vor inspecta mai multe suduri în același timp. Odată excesul de penetrant îndepărtat se va aplica prin pulverizare un strat uniform și subțire de dezvoltant de la o distanță de ~ 20 cm. În prealabil chiar înainte de aplicarea dezvoltantului acesta va fi energic agitat pentru a fi omogenizat

suspensia. Suprafata va fi inspectata preliminar ,chiar dintimpul uscarii developantului , pentru a observa momentul aparitiei indicatiilor si forma acestora- incazul discontinuitatilor cu deschidere mare la suprafata.Timpul de developare va incepe imediat dupa uscarea developantului.Dupa trecerea timpului de developare va fi efectuata interpretarea finala notandu-se pozitia, tipul(liniar, rotunjit, grupat) si dimensiunile indicatiilor relevante.Evaluarea finala si incadrarea in criteriile de acceptabilitate va fi efectuata de operator nivelul 2.Discontinuitatile neacceptabile vor fi marcate cu marker permanent in vederea repararii ulterioare.In legatura cu timpul de penetrare si cel de developare , tipic acestea sunt ~ 10 min penetrare si 20 mindevelopare insa vor fi respectate indicatiile producatorului cu prioritate.Pe langa datele privind discontinuitatile , in vederea emiterii buletinului vor fi inregistrate id-ul sudurii,dimensiunea, material,starea suprafetei, faza de fabricatie, tpol penetrantului folosit, producatorul ,lotul de fabricatie, data si locul testului , numele si semnatura operatorului.Daca se cere in specificatia produsului, se va proceda la curatarea post inspectie pentru a indepartadevelopantul de pe piesa

8.5.2. Indicații de discontinuitate

Prezenta unei cantități de penetrant pe fondul developantului indică posibilitatea existenței unei discontinuități, figura 9.

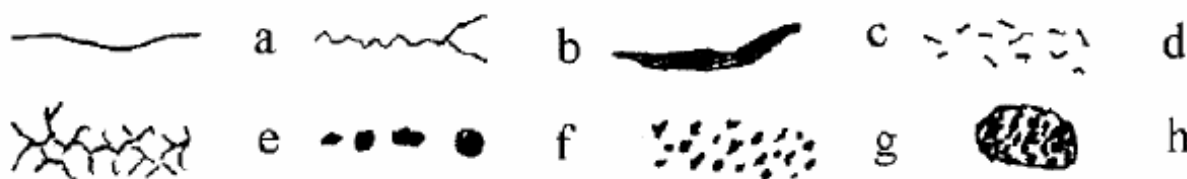


Fig. 9. Tipuri de indicații relevante pentru caracterizarea naturii discontinuităților

Indicațiile relevante se grupează în două categorii:

- indicații liniare;
- indicații rotunde sau eliptice;

Defectele liniare, cum sunt unele fisuri, suprapunerile și lipsa de pătrundere, apar sub formă de linie continuă, care se lățește în timp (figura 9a și c). Fisurile termice fine apar sub formă de linie ramificată (figura 9b). Fisurile foarte fine, de oboesală, fisurile la rece, apar sub formă de linie fină continuă sau întreruptă (figura 9a).

Fisurile provenite în urma polizării apar scurte și grupate pe o suprafață mică (figura 9d). Fisurile determinate de fenomenul de coroziune sub tensiune sunt grupate formând o rețea (figura 9e). Porii apar sub formă de puncte (figura 9f), grupare de puncte (figura 9g), sub formă de cuib (figura 9h) sau tentă de culoare. Discontinuitățile superficiale larg deschise sunt dificil de decelat pentru că în aceste cazuri fenomenul de capilaritate este estompat, obținându-se tente și nuanțe de culoare. Mărimea discontinuității poate fi aproximată numai imediat după aplicarea developantului, recomandându-se însă evaluarea după curățirea piesei. Culoarea contrastului este în legătură cu adâncimea și deschiderea discontinuității. Un contrast de roșu închis indică prezența unei discontinuități adânci și mai larg deschise.

Dimpotrivă, un contrast de roșu spălăcit, indică o discontinuitate superficială, fină.

După marcarea poziției discontinuității urmează examinarea vizuală în vederea stabilirii naturii sale, iar apoi curățirea suprafețelor de penetrant și developant.

Examinarea vizuală este necesară și pentru evitarea interpretării eronate a unor indicații false provenite dintr-o aplicare necorespunzătoare a tehnologiei de curățire a suprafeței și de relevare.

8.5.3. Influența prelucrărilor mecanice asupra indicațiilor de discontinuitate

Prelucrările mecanice de suprafață exercită un rol deosebit la controlul cu lichide penetrante. Influența lor este diferită și depinde în cea mai mare măsură de felul materialului. Operația de

sablare cu nisip maschează unele indicații la oțelurile slab aliate pentru construcția de mașini. Urmările sunt însă mult mai grave la semifabricatele din titan unde există pericolul mascării totale a discontinuităților superficiale. Împroșcarea cu alicie maschează integral discontinuitățile, atât la oțelurile pentru construcții mecanice, cât și la titan.

Rectificarea cu piatră reduce din contrastul indicațiilor la oțelurile cu conținut mai scăzut de carbon și le maschează aproape total la cele destinate construcțiilor mecanice.

Șlefuirea cu hârtie abrazivă de granulație 100 - 180, maschează parțial discontinuitățile la semifabricate din aluminiu și reduce contrastul indicațiilor la oțeluri slab aliate pentru construcții mecanice.

9. SENSIBILITATEA METODEI

Sensibilitatea metodei de control cu lichide penetrante poate fi definită, în funcție de factorul de amplificare a deschiderii discontinuității:

$$f_m = \frac{l_i}{l_d} \quad (14)$$

unde l_i este lățimea indicației dezvoltate iar l_d la deschiderea reală a discontinuității, respectiv în funcție de factorul de amplificare a strălucirii indicației:

$$f_s = \frac{s_i}{s_f} \quad (15)$$

unde s_i este strălucirea indicației iar s_f este strălucirea fondului incintei de examinare.

Astfel, sensibilitatea geometrică este dată de relația:

$$s_g = \frac{f_m - 1}{f_m} \quad (16)$$

iar sensibilitatea optică, de relația:

$$s_0 = \frac{f_s - 1}{f_s} \quad (17)$$

Cum $f_s > f_m$, rezultă $s_0 > s_g$.

Sensibilitatea metodei de control cu lichide penetrante este suficientă pentru a putea detecta cu certitudine discontinuități cu deschideri de 0,1 - 5 mm. Folosind penetranți tixotropici de înaltă sensibilitate detectabilitatea poate ajunge până în domeniul 5 - 10 μm . Dacă cantitatea de dezvoltant depusă pe suprafața de controlat este prea mare, este posibilă diluarea excesivă a penetrantului și ca urmare o lipsă de contrast. Indicațiile de culori deschise, improprii penetrantului, denotă o curățire necorespunzătoare a suprafeței sau o spălare excesivă a penetrantului. În cazul unor indicații neconcludente, zona respectivă se degresează și se supune din nou controlului. Dispersia în ce privește relevarea indicațiilor de defect datorită abaterilor tehnologice poate merge până la 40%. Sensibilități superioare se obțin cu ajutorul penetranților fluorescenți și în special cu penetranți tixotropici de înaltă sensibilitate, unde, în condiții speciale gradul de decelabilitate ajunge la 0,25 μm , [22].

Conform standardelor actuale sunt definite patru nivele de sensibilitate: minimă, medie, înaltă și foarte înaltă.

Probabilitatea de detectare a fisurilor este funcție de adâncimea defectului și de starea de prelucrare a suprafeței. Diferențele de probabilitate de detectare a defectelor pe suprafețe neprelucrate și suprafețe prelucrate prin așchiere sunt semnificative și în detrimentul suprafețelor neprelucrate pe tot intervalul 0 ÷ 5 mm, dar în același timp deosebit de pronunțate la discontinuitățile superficiale a căror adâncime nu depășește 1 - 2 mm.

Interpretarea corectă a naturii discontinuității presupune îndepărtarea developantului și examinarea locului defect cu lupa. Indicațiile relevante se măsoară și se marchează pe piesa examinată.

În cazul în care controlul se efectuează pe suprafețe având o temperatură în afara domeniului 15 - 50°C, este necesară etalonarea procedurii la temperatura respectivă. Etalonarea urmărește determinarea duratei de penetrare și developare, care să permită prin comparație obținerea unor indicații similare cu cele obținute la temperaturi normale. În acest scop se folosește corpul de control ASME [17], figura 10, din aliaj de aluminiu laminat de tip 2024, [17].

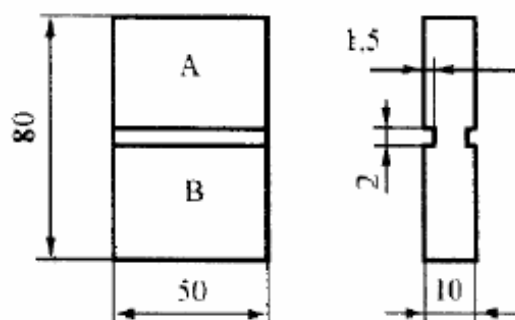


Fig 10. Bloc de comparație cu fisuri termice tip

Pe fiecare suprafață a corpului se va marca cu creion termocrom pentru 510°C o zonă de \varnothing 25 mm. Cele două suprafețe se vor încălzi cu flacăra la 510 - 520°C, de pe partea opusă, după care piesa se va răci brusc în apă pentru a se genera fisuri. Apoi, se prelucrează canalul de 2 x 1,5 mm pentru a delimita zonele A și B. În continuare, corpul se va fotosi după cum urmează. Dacă temperatura suprafeței de examinat este peste 50°C, se încălzește zona B a corpului la temperatura respectivă și se aplică tehnologia de control. În paralel, zona A se controlează la temperatura de 15 ± 30°C. Dacă temperatura suprafeței de examinat este sub 15°C, se răcește zona B a corpului și soluțiile folosite la temperatura respectivă și se procedează în continuare ca în cazul precedent. Dacă, prin comparație, indicațiile de discontinuitate din zona A sunt similare cu cele din zona B, procedeele poate fi aplicat la temperatura respectivă în condiții identice.

Varianta superioară și totodată mai simplă pentru stabilirea sensibilității controlului cu lichide penetrante, [1], [2], constă în folosirea unei plăcuțe din oțel inoxidabil având dimensiunile de 120 x 25 x 3 mm, figura 11, cromată dur pe una din suprafețele rectificată, cu un strat de cca 150 μ m.

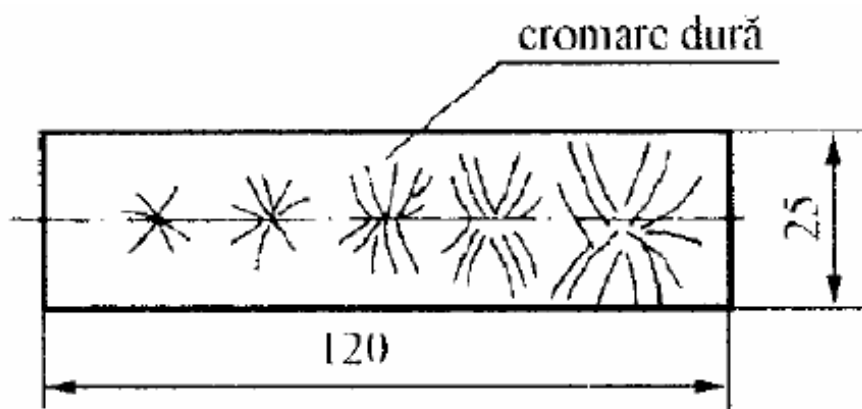


Fig 11. Plăcuță de comparație cu fisuri produse prin deformație plastică

Fisurile se amorsează prin deformarea plastică la rece a suprafeței cromate ca urmare a imprimării unei bile la aparatul de - duritate Brinell pe suprafața opusă celei cromate. În vederea obținerii unei variații de lățime și de lungime a fisurilor amorstate, imprimarea se efectuează cu sarcini diferite, și

anume: 2, 3, 4, 5 și 6 kN. Astfel, în zonele corespunzătoare de pe suprafața cromată se generează fisuri cu lățimea variind între $1 \div 2 \mu\text{m}$ la nivelul sarcinii inferioare și $8 \div 10 \mu\text{m}$ la sarcina maximă de imprimare. Orientativ, lățimea fisurilor poate fi măsurată la microscop la fiecare etalon, în vederea stabilirii cât mai precise a sensibilității metodei. Pentru determinări comparative sau concomitente se recomandă utilizarea unui etalon similar de lungime dublă (240 mm) cu două șiruri de imprimări dispuse simetric.

Etaloanele de control se folosesc de asemenea, la verificarea calității (omogenității) loturilor de penetranți sau la compararea diferitelor soluții.

După DIN [26] corpul de control necesar stabilirii sensibilității de lucru a sistemului de control este confecționat dintr-o placă de oțel inoxidabil de $2,5 \times 50 \times 150 \text{ mm}$ prevăzută cu un orificiu de $\varnothing 5 \text{ mm}$, la distanța de 10 mm față de margine.

Placa este cromată dur pe o parte pe o lungime de 100 mm cu un strat de $65 - 75 \mu\text{m}$, duritatea ajungând la cca. 1000 HV. Cromarea are loc într-o baie semiacidă cu o densitate de curent de 20 A/dm^2 timp de 3,5 ore. În vederea amorsării fisurilor pe suprafața cromată, pe suprafața opusă prelucrată la un $R_a \approx 2,5 \mu\text{m}$, se aplică 5 amprente Brinell cu penetrator de 5 mm la distanța de 20 mm. Amprentarea se realizează cu sarcini diferite, corpul fiind sprijinit pe partea cromată pe plăci inelare intermediare, cu orificii diferite conform datelor cuprinse în tabelul 1, [26]. Protejarea părții cromate se realizează cu o garnitură intermediară din cauciuc de 2 mm grosime.

Astfel se obțin fisuri în rețea de formă stelară având diametrul cuprins între cca. 1,5 și cca. 4,5 mm, conform datelor din tabel. Măsurarea deschiderii fisurilor se realizează în lumină ultravioletă de $10 \pm 1 \text{ W/m}^2$, într-un câmp luminos de $50 \pm 20 \text{ lx}$. Pe baza măsurătorilor se poate stabili clasa de sensibilitate.

Tabelul 1

Amprenta nr.	Diametrul orificiului de pe inelul de sprijin (mm)	Forța de amprentare (daN)	Diametrul zonei de fisuri (mm) $\pm 0,5 \text{ mm}$
1	7	170	1,6
2	6	200	2,3
3	5	280	2,8
4	4	450	3,5
5	3	510	4,4

Cercetări experimentale [14], folosind corpul de etalonare au pus în evidență influența exercitată pe de o parte de temperatură, iar pe de altă parte de lățimea fisurii asupra sensibilității controlului.

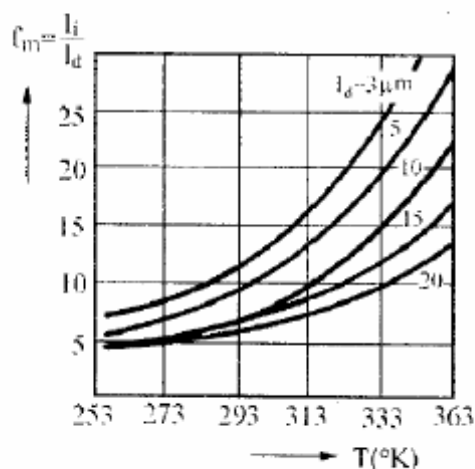


Fig. 12. Dependenta de temperatură a

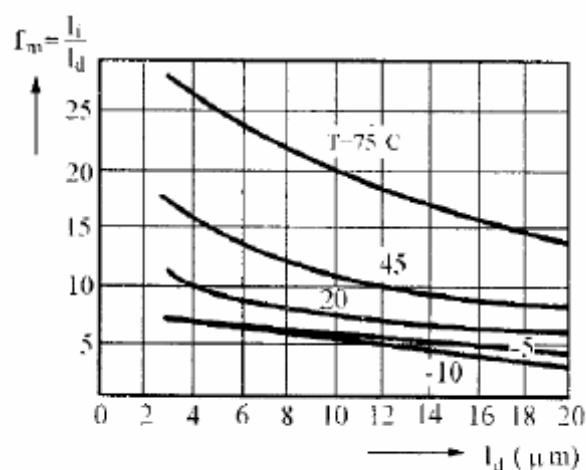


Fig. 13. Dependenta factorului de mărire a

factorului de mărire a fisurii;

fisurii de deschiderea (lățimea) defectului;

Așa cum rezultă din figura 12, se constată o dependență exponențială a lui f_m în funcție de temperatură. Ea este mai accentuată la temperaturi mai mari de 20°C și cu atât mai substanțială cu cât discontinuitatea are o lățime mai mică. Rezultatul este confirmat prin reprezentarea datelor într-un sistem de coordonate $f_m - l_d$, ilustrat în figura 13.

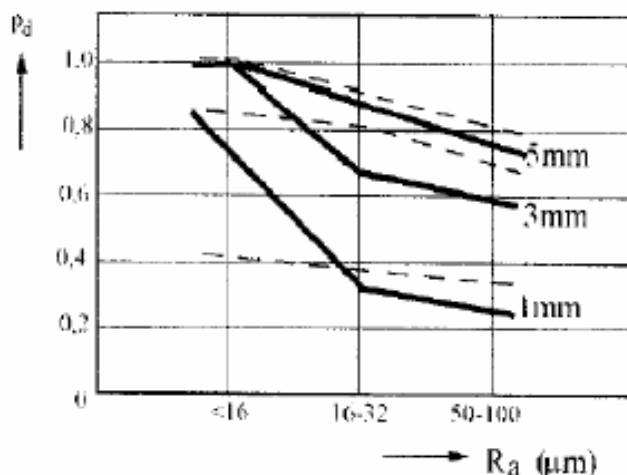


Fig. 13. Influența rugozității suprafeței și a adâncimii discontinuității asupra probabilității de detectare (linie plină: contrast culoare, linie întreruptă: contrast fluorescent)

Se evidențiază astfel că, dacă în domeniul de temperaturi $253 - 293 \text{ }^\circ\text{K}$, factorul de mărire este cuprins între 5 și 10, la temperaturi mai mari de 50°C , acesta variază în limite mult mai largi, cu valori situate între 10 și 25. Pe de altă parte, rezultă că modificările cele mai mari ale factorului de mărire se înregistrează în cazul deschiderilor de fisuri fine, mai mici de $10 \text{ } \mu\text{m}$, ceea ce este desigur benefic procesului de examinare.

Influența adâncimii discontinuității asupra sensibilității metodei ca și asupra probabilității de detectare a fost studiată în [8]. Așa cum rezultă și din figura 14 prelucrată după [8] probabilitatea de detectare depinde atât de gradul de prelucrare a suprafeței cât și de adâncimea discontinuității. Se observă de exemplu că și în cazul discontinuităților de adâncime 3 - 5 mm, probabilitatea de detectare este cel puțin dublă față de cea corespunzătoare adâncimilor sub 1 mm. Din punctul de vedere al gradului de rugozitate, exprimat prin mărimea medie a înălțimii microneregularităților R_a se relevă faptul că sub intervalul $R_a = 16 - 32 \text{ } \mu\text{m}$ are loc o modificare substanțială a pantei de variație a dependenței mărime R_a - probabilitate de detectare, în sensul obținerii unei relevanțe superioare.

9. PRELUCRAREA AUTOMATĂ A INDICAȚIILOR

Recunoașterea optică a formei discontinuităților folosește o tehnică mixtă care are la bază folosirea unei camere video și a unui calculator.

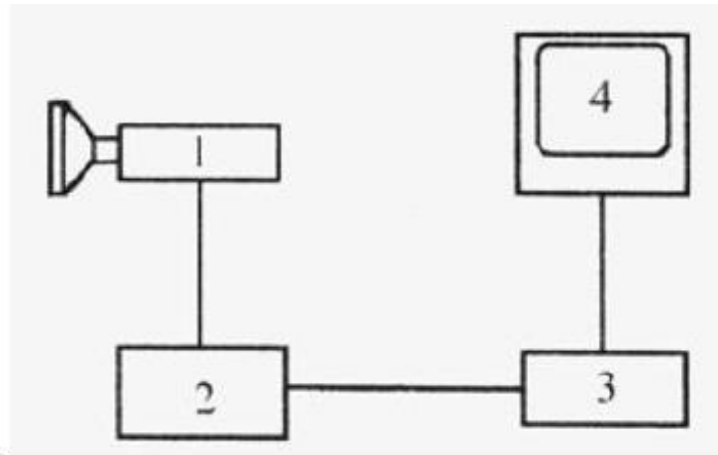


Fig. 15. Schema de achiziție a indicațiilor de defecte:
1. camera video; 2. convertor analog – digital; 3. unitate de stocare a imaginii; 4. calculator:

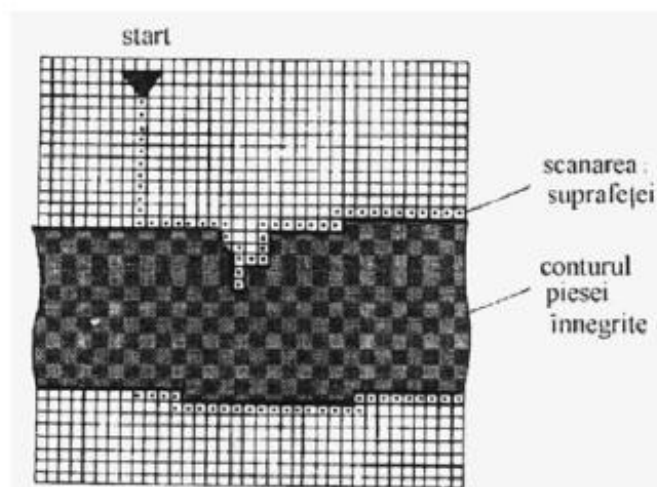


Fig 16. Principiul scanării suprafeței conturului piesei cu ajutorul calculatorului

O cameră CCD - tip matrice de achiziție are ca principiu reținerea unei imagini folosind o rețea dintr-un număr foarte mare de elemente fotosensibile. Cu ajutorul unui convertor analog-digital având o capacitate de stocare de 512 x 512 puncte se obțin informații despre intensitatea luminoasă a suprafeței vizate de camera CCD corespunzător celor 262.144 fotocelule. Treptele de intensitate în număr de 255 departajează fin gradul de înnegrire de la 0 corespunzător negrului, la 255 pentru alb.

Schema instalației de urmărire și prelucrare - redare a indicațiilor preluate de pe suprafața examinată este prezentată în figura 15.

Calculatorul adresează fiecare unitate de memorie, citește informația alb/negru, analizează contururi, forme și distanțe, în câmp iluminat după principiul redat în figura 16. Astfel discontinuitatea (defectul) se poate măsura în puncte, care sunt convertite în unități de lungime. Gradul de rezoluție a sistemului depinde de densitatea pixelilor.

Contrastul imaginii discontinuității poate fi îmbunătățit dacă mișcarea camerei video în raport cu suprafața observată se realizează într-un câmp iluminat oblic la 45°. Având în vedere ca gradul de reflexie a stratului dezvoltator alb este foarte ridicat vor trebui folosite filtre de câmp negru sau de infraroșu, cu ajutorul cărora se obține o mărire substanțială a contrastului indicației utile.

11. APLICAȚII LA CONTROLUL ETANȘEITĂȚII

11.1. Condiții generale

Controlul etanșeității produselor în general este prescris prin norme de supraveghere tehnică și documentații de execuție la toate vasele, recipientele, conductele și instalațiile sub presiune sudate, nou construite sau repuse în funcțiune, precum și periodic după o anumită durată de exploatare. Controlul se pretinde și altor categorii de produse la care circumstanțele de funcționare reclamă o verificare mai riguroasă a condiției de etanșare. El se execută în urma tratamentului termic și examinării nedistructive a îmbinărilor sudate. După încercarea la presiune-etanșare se interzice orice intervenție care ar putea influența materialul, rezistența sau etanșitatea produsului. Având în vedere suprapresiunea de încercare, se recomandă un control nedistructiv final al îmbinărilor sudate, în special în zonele în care s-au efectuat remedieri, sau în locurile în care s-au relevat defecte.

La produsele deschise accesibile din ambele părți, se pot aplica în principiu două metode de încercare. Prima metodă constă în presurizarea uneia din părți și scăparea la presiune atmosferică. Cea de-a doua metodă constă în depresurizarea sau vidarea uneia din părți și examinarea scurgerilor în zona vidată.

11.2. Calculul scapărilor prin neetanșități de tipul discontinuități - defecte

Pierderile prin neetanșități de tipul orificiilor mici, denumite și scăpări sau scurgeri, pot fi calculate pe baza relației generale a debitului de scurgeri.

$$q_s = \mu \cdot \omega (2\Delta p / \rho)^{1/2} \quad (18)$$

în care: μ reprezintă coeficientul de debit, e - secțiunea neetanșității, Δp - diferența de presiune, ρ - densitatea mediului de scurgere. Coeficientul de debit variază în funcție de presiune și valoarea numărului Reynolds: valorile uzuale pentru orificii sunt cuprinse în intervalul $\mu = 0,59 \div 0,64$, iar pentru fante (fisuri) în limitele $\mu = 0,66 - 0,78$. Dacă se măsoară q_s , secțiunea de scurgeri se calculează cu relația:

$$\omega = \frac{q_s}{\mu \sqrt{2}} \cdot (\rho / \Delta p)^{-1/2} \quad (19)$$

În cazul gazelor care debușează prin orificii de secțiune ω dintr-o incintă de secțiune ω_0 se recomandă folosirea relației:

$$q_s = \mu \cdot \omega (2\Delta p / \rho)^{1/2} \left[1 - (\mu \omega / \omega_0)^2 \right]^{1/2} \quad (20)$$

Cantitatea sau debitul de scurgeri se exprimă în subunități de debit propriu-zis, cm^3/s (ml/s), sau în subunități de debit energetic, adică în $\text{bar} \cdot \text{cm}^3/\text{s}$. De asemenea, el poate fi exprimat prin raportare la debitul de scurgeri calibrate printr-un dispozitiv, care furnizează un flux cunoscut de lichid sau gaz în condiții date de diferență de presiune, având ordinul de mărime al celui ce se verifică.

11.3. Determinarea scăpărilor admisibile

La stabilirea scăpărilor admisibile se iau în considerație, în ordine, după caz: pericolul de explozie, pericolul de incendiu, pericolul de intoxicație, precum și efectul economic al pierderii de medii. Calculul se face ținând seama de limitele concentrațiilor admise în aer după normativele în vigoare. Având concentrația admisă C_a (% volum aer), în vederea evitării fenomenelor menționate, volumul incintei în care se produc scăpările V (m^3) și durata maximă între două controale Δt_{max} (s), rezultă debitul admis de scăpări:

$$q_{\text{sa}} = \frac{V \cdot C_a \cdot 10^6}{c \cdot \Delta t_{\text{max}}} \quad (21)$$

Valcarea coeficientului de siguranță $c \geq 1$ se alege în funcție de gradul de periculozitate a scăpărilor, ecartul dintre limita inferioară și superioară de explozivitate, respectiv toxicitate, precum și de influența temperaturii și presiunii asupra acestor limite.

11. 4. Particularități ale tehnicilor de control

La controlul etanșeității se folosesc în exclusivitate penetranți autoemulsificatori, dintre operațiile prevăzute la par. 2 fiind excluse îndepărtarea excesului de penetrant și postemulsionarea. La controlul etanșeității recipientelor și tubulaturilor cu acces de pe ambele părți se folosește tehnica examinării cu penetranți de contrast colorat, solubili în solvenți organici. Aplicarea penetrantului se efectuează cu pistol de stropit la presiune ridicată de $100 \div 160$ bar de pe partea ce urmează să fie supusă la presiune (suprapresiune) iar aplicarea developantului pe partea opusă de joasă presiune.

Timpul de penetrare va fi de 10 - 30 minute, în cazul recipientelor cu pereți groși se recomandă aplicarea penetrantului în două - trei rate. Penetrantul fluorescent este recomandat numai la examinarea produselor de serie, unde observarea se poate realiza în spații întunecate în lumină ultravioletă. În cazuri deosebite se recomandă activarea penetrării cu ultrasunete.

Având în vedere că în timpul probei de suprapresiune a recipientelor, și presiunea capilară se modifică substanțial, facilitând astfel infiltrarea penetrantului, aplicarea developantului pe suprafața de examinare are loc în momentul atingerii presiunii de încercare.

Interpretarea indicațiilor în discontinuități sau defecte se face după criteriile descrise la par. 8.5.

Sensibilitatea de detectare a scăpărilor prin discontinuități și defecte cu lichide penetrante întrece cu două - trei ordine de mărime sensibilitatea asigurată la examinarea prin metoda imersivă, și poate ajunge la nivelul de 10^{-5} bar·cm³/s.

12. CONTROLUL CU PENETRANȚI GAZOȘI

Metoda a fost lansată cu deosebit succes la verificarea paletelor de turbină la suprafața cărora s-au manifestat fenomene de nucleere și de coalescență a microfisurilor încă din domeniul de solicitare la oboseală oligociclică [13].

Ca substanță de penetrare se folosește kriptonul, care spre deosebire de lichide, difuzează intens și nu poate fi absorbit de suprafețele umede. Astfel, kriptonul accesează ușor și rapid cele mai fine microfisuri și chiar rețeaua de oxizi. Potrivit teoriei cinetice coeficientul de difuzie este direct proporțional cu vâscozitatea și cu temperatura $T^{3/2}$ și invers proporțional cu radicalul masei moleculare a gazului. Astfel, gazele reale au coeficienți de difuzie de $0,1 \div 1$ cm²/s soluțiile lichide de $10^4 \div 10^5$ ori mai mici, de aproximativ 1 cm²/24h.

Gazul folosit ca penetrant constă dintr-un amestec de 95% kripton inert, stabil, K_{78}^{36} și 5% kripton K_{85}^{36} care eliberează cuante de radiații beta și gama (două nivele energetice), având o perioadă de înjumătățire de 4,4 ore. După xenon este cel mai greu gaz inert, de 3,5 ori mai greu decât aerul, are numărul de masă 78 și se găsește în aer într-o concentrație de cca. 5 ori mai mică decât heliul. Diametrul atomului de kripton este puțin peste 0,1 nm. Sensibilitatea de detectare a microdiscontinuităților este foarte mare fiind cuprinsă în intervalul $1 - 10^{-4}$ mm, interval învecinat la limita inferioară cu mărimea nucleelor de fisuri. Comparativ cu capacitatea de detectare a discontinuităților la controlul cu lichide penetrante, metoda cu kripton se situează la diferențe de până la trei ordine de mărime. Ca urmare metoda de control folosind ca penetrant amestecul de kripton se recomandă la examinarea microdiscontinuităților superficiale.

Operațiile de control cu kripton sunt asemănătoare celor utilizate la controlul cu lichide penetrante și se succed astfel, figura 17:

- curățirea mecanică și chimică a suprafeței supuse examinării;
- introducerea piesei într-o încălț de vacuum și vidarea ei. Vidarea asigură îndepărtarea aerului și, mai ales, accelerarea procesului de difuzie a moleculelor de kripton, atât ca transport, cât și ca durată, cunoscându-se faptul că gradul de difuzie a gazelor este invers proporțional cu presiunea;

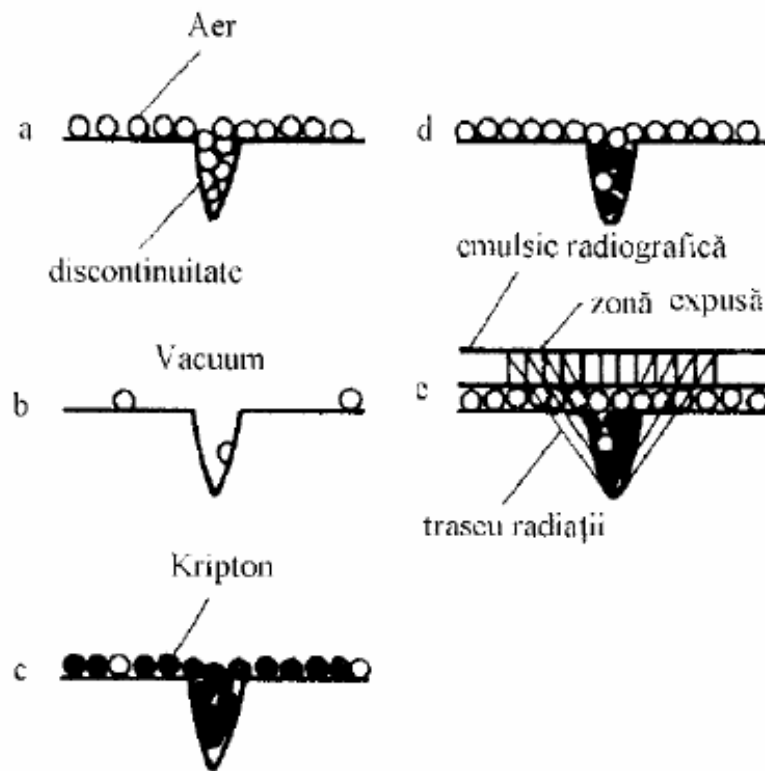


Fig. 17. Fazele controlului cu penetranți gazoși

c). expunerea piesei unui jet de amestec de kripton, care pătrunde prin greutate și prin proces de difuzie în cele mai fine discontinuități de la suprafață;

d). îndepărtarea amestecului de kripton prin admiterea aerului în incintă și refacerea presiunii. Kriptonul fiind mult mai greu decât aerul rămâne captiv în interiorul discontinuităților;

e). aplicarea prin pulverizare a unei pelicule de emulsie fotosensibilă utilizată la filmele radiografice ca strat absorbant, pe care amprenta discontinuității se imprimă sub formă înnegrită ca urmare a efectelor emisiei de radiații beta și gama din componenta Kr_{85}^{36} , blocată în interiorul discontinuității. Având în vedere că depunerea unei pelicule omogene de grosime constantă reprezintă unul din factorii principali în obținerea rezultatelor scontate, finețea prelucrării suprafeței este esențială. Pelicula radiografică, purtând amprentele discontinuităților se desprinde de pe suprafața piesei ca un film și se evaluează cantitativ cu senzori electronici de măsurare. Datorită rapidității fenomenului de difuzie se elimină durata de penetrare necesară absorbției penetrantului la controlul cu lichide penetrante. Traseul particulelor beta și gama din Kr_{85} , urmare a puterii de pătrundere prin material, excede conturul propriu-zis al discontinuității, astfel încât imaginea obținută pe pelicula de emulsie radiografică este dilatată de cca. 10 ori față de mărimea reală a discontinuității.

13. MĂSURI DE PROTECȚIE

În vederea eludării efectelor nocive asupra personalului de deservire se recomandă respectarea cu strictețe a unor măsuri minimale de protecție individuală și socială. Astfel, se va evita respirarea directă deasupra zonei de lucru, unde se degajă vapori ai diferitelor componente folosite. La un contact îndelungat se impune folosirea măștilor și filtrelor și întreținerea zonelor de piele expuse iritării cu cremă. Totodată se reclamă aerisirea intensivă a zonei de lucru și a încăperii. Cum în majoritatea tehnologiilor de control aplicarea componentelor de curățire, penetrare sau dezvoltare se realizează prin pulverizare, se recomandă evitarea contactului inutil cu pielea prin folosirea mănușilor și sorturilor precum și protejarea ochilor. Deoarece materialele de lucru sunt inflamabile,

toxice și otrăvitoare se interzice fumatul și degustarea în încăperea de lucru. De asemenea, datorită temperaturii de inflamabilitate coborâte, se interzice activitatea și depozitarea trusei de componente lângă surse de căldură și chiar expunerea la soare. Componenta cea mai periculoasă este curățitorul, mai ales dacă are la bază triclorețan sau triclorețilenă pură, datorită gradului ridicat de contaminare a apei, având influențe negative și asupra stratului de ozon. Se citează cu un litru de astfel de substanță este suficient să contamineze cca. 40 mil. litri de apă potabilă. Ca urmare, se recomandă folosirea curățitorilor pe bază de alcooli sau amestecuri, cu toate că sunt ușor inflamabili.

Cu excepția hidrocarburi amintite, îndepărtarea materialelor utilizate în cantități mai mici se face cu apă industrială întrucât ele sunt biodegradabile. În cazul controlului de serie, unde se folosesc cantități relativ mari de substanțe, reziduurile se trec prin site moleculare de ultrafiltrare.

Examinarea nedistructivă cu pulberi magnetice

1. *Denumirea metodei*: EXAMINAREA CU PULBERI MAGNETICE
(*MT - magnetig testing*)

2. *Tipul de examinare*: magnetic.

3. *Agentul de investigare*: câmpul magnetic.

4. *Fenomenul fizic de bază*: producerea câmpurilor de scăpări (de dispersie) atunci când liniile câmpului magnetic întâlnesc o discontinuitate a materialului.

5. *Modul de aplicare*: se magnetizează obiectul controlat. Se împrăștie pulbere magnetică pe suprafața obiectului. Se produc aglomerări de pulbere în dreptul discontinuităților, marcându-le astfel prezența.

6. *Domeniul de utilizare*: detectarea discontinuităților de suprafață sau situate în preajma acesteia.

7. *Indicația de defect*: pete colorate (roșu, albastru, verde, galben) pe fondul suprafeței (în lumină albă) sau pete luminoase (galben, galben - verzui) pe fondul luminos albastru - violet (în lumină ultravioletă).

8. *Materialul obiectului controlat*: numai feromagnetice (oțel carbon, fontă, oțel slab aliat, nichel, cobalt și unele aliaje ale acestora).

9. *Particularități*: prin aceasta metodă, pot fi controlate doar piese și semifabricate confecționate din materiale care se magnetizează, cum ar fi: oțel carbon și slab aliat, fontă, unele oțeluri aliate, cobalt, nichel și unele aliaje ale lor. *Materialele feromagnetice* sunt materiale metalice cu permeabilitatea magnetică relativă μ_r , mult mai mare decât 1. Aceste materiale sunt atrase foarte puternic de un câmp magnetic. Exemple: fier, nichel, cobalt, magnetită – Fe_3O_4 .

Câmpul magnetic de dispersie este neomogen și are energie mare. Tendința câmpului de a-și micșora energia până la o valoare minimă posibilă este satisfăcută prin atragerea unor particule feromagnetice depuse sub formă de pulbere pe suprafața piesei controlate; se formează astfel aglomerări de pulbere pe suprafața piesei, marcând prezența defectelor. Mărimea câmpului magnetic de scăpări depinde în mod direct de orientarea discontinuității în raport cu liniile de forță ale câmpului magnetizant și de adâncimea la care se găsește discontinuitatea.

10. *Scheme de principiu* - pulberea magnetică depusă pe obiectul magnetizat, se orientează după liniile de câmp. Defectele de tip 1 și 2 (fig. 1.16) produc câmpuri de dispersie (scăpări) sesizabile prin faptul că determină aglomerări de pulbere. Metoda asigură și detectarea defectelor din apropierea suprafeței, chiar dacă acestea nu comunică cu exteriorul, dacă perturbațiile produse se manifestă la suprafață. Magnetizarea se poate face prin introducerea piesei într-un câmp magnetic generat de magneți permanenți, electrozi de contact, bobine, sau prin trecerea curentului electric prin piesă.



- 1 - discontinuitate de suprafață, orientată perpendicular pe liniile de câmp;
- 2 - discontinuitate în apropierea suprafeței, orientată perpendicular pe liniile de câmp;
- 3 - discontinuitate de profunzime, orientată înclinat față de liniile de câmp;
- 4 - discontinuitate în apropierea suprafeței, orientată paralel cu liniile de câmp.

Fig. 1.16. Perturbarea liniilor de câmp de către discontinuități.

La alegerea tipului de magnetizare este necesar să se stabilească o corelație între defectele posibile și traseul liniilor de câmp (fig. 1.17).

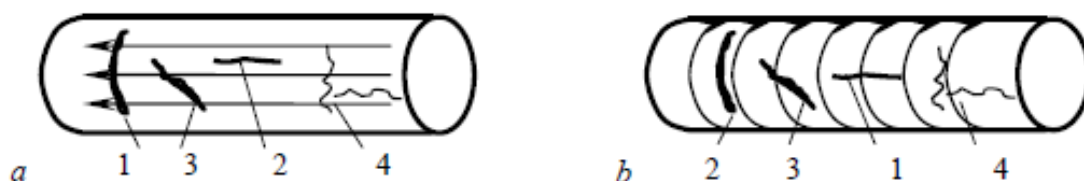


Fig. 1.17. Tipuri de magnetizare: *a* - longitudinală; *b* - circulară; 1 - indicație sigură; 2 - nu se obține indicație; de defect; 3 - indicație sigură; 4 - indicație parțial sigură.

8. Echipament de bază:

Echipamentul necesar la examinarea cu pulberi magnetice constă, în principal din: sursă de curent, dispozitiv de magnetizare, dispozitiv de împrăștiat pulberea pe suprafața piesei, lămpi de iluminare în domeniul vizibil sau în domeniul ultraviolet, pentru pulberea fluorescentă, sonde de verificare, consumabile: pulberi uscate sau lichide magnetice și blocuri etalon. Un exemplu de dispozitiv de magnetizare frecvent utilizat în practică este prezentat în figura 1.18 și anume magnetizarea cu jug magnetic.

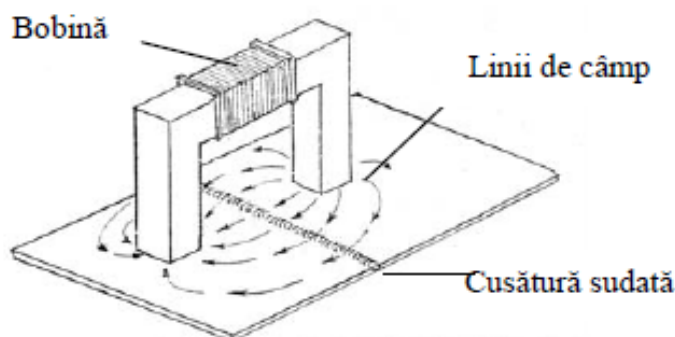


Fig. 1.18. Jug magnetic.

Verificarea magnetizării și a calității pulberii magnetice se face cu ajutorul unor mici dispozitive special construite denumite *indicatoare de flux magnetic* (fig. 1.19, *a*).



Fig. 1.19. Verificarea magnetizării: *a* - indicator de flux magnetic, 1 - segmente din oțel carbon brazate (8 buc.); 2 - mâner din material nemagnetic; 3 - articulații; 4 - suprafață de observare (0,20...0,25 mm) din cupru sau alamă; *b* - indicație caracteristică.

Indicatorul de flux magnetic se așează pe suprafața piesei cu suprafața de observare spre operator. Se magnetizează piesa și se aplică concomitent suspensia magnetică pe indicator, după care se observă formarea indicației (indicația caracteristică are aspectul literei X, tăiată de o linie transversală, fig. 1.19, *b*).

În figura 1.20 sunt prezentate câteva componente uzuale ale unui stand de examinare cu pulberi magnetice.



Fig. 1.20. Componente uzuale ale unui post de lucru cu pulberi magnetice.

Consumabile

Pulbere magnetică fluorescentă – pulbere magnetică ale cărei granule sunt acoperite cu o peliculă fluorescentă. Contrastul față de fond se obține prin diferența de strălucire la iluminarea cu radiații ultraviolete (UV).

Pulbere magnetică colorată – pulbere magnetică ale cărei granule sunt colorate prin depunere de pelicule sau prin atacare chimică. Contrastul față de fond se obține prin diferența de culoare.

Suspensie magnetică – suspensie de pulbere magnetică într-un mediu de dispersie (aer, apă, petrol, ulei). Sinonim: lichid magnetic, dacă mediul de dispersie este lichid.

12. Observații și recomandări

- În funcție de modul de utilizare a pulberii, tehnicile de examinare pot fi:
 - tehnici uscate, când pulberea este folosită în suspensie cu aer;
 - tehnici umede, când pulberea amestecată cu un lichid magnetic.

- Intensitatea curentului electric trebuie să fie suficient de mare pentru ca inducția magnetică din piesa magnetizată (în vecinătatea suprafeței), indiferent de metoda de magnetizare utilizată, să fie de minimum 0,72 T.
- Curentul electric folosit la alimentarea dispozitivelor de magnetizare poate fi: continuu, alternativ sau pulsant.

Curentul continuu – asigură o mai bună sensibilitate de detectare a discontinuităților în profunzime (de circa 7-8 ori mai bună decât la curentul alternativ), dar prezintă inconveniente legate de obținerea lui.

Curentul alternativ – asigură o bună sensibilitate de detectare a discontinuităților fine de suprafață (din cauza vibrării granulelor pulberii), se obține ușor, dar are o mică sensibilitate de detectare în profunzime (din cauza efectului pelicular).

Curentul pulsant – întrunește avantajele metodelor precedente dar se obține destul de dificil.

- Jugul magnetic îndeplinește condiția impusă de standard dacă asigură ridicarea numai cu ajutorul forței magnetice a unei piese din material feritic, având o masă de 18 kg, pentru alimentarea în curent continuu, respectiv 4,5 kg pentru alimentarea în curent alternativ.

Magnetizarea trebuie astfel realizată încât liniile de forță ale câmpului magnetic să cadă perpendicular pe discontinuitățile căutate.

- Sensibilitatea de detecție scade apreciabil dacă orientarea discontinuităților este deviată cu mai mult de 45° față de direcția optimă.
- La sfârșitul examină cu pulberi magnetice, trebuie inclusă o operație de demagnetizare a pieselor controlate, deoarece există situații în care magnetismul remanent apărut în urma controlului magnetic dăunează bunei funcționări a pieselor în exploatare sau la prelucrarea în continuare (sudare cu arc electric, vopsire în câmp electrostatic, montaj etc.).
- La examinarea cu pulberi magnetice discontinuitățile sunt semnalate prin aglomerări de pulbere, denumite *indicații*. Indicația este o aglomerare evidentă de pulbere magnetică. Prin *indicație relevantă* se înțelege o indicație care poate fi asociată cu existența unei discontinuități. O *indicație nerelevantă* este o indicație provocată de o altă cauză decât existența unei discontinuități. De obicei, se datorează unei tehnici de magnetizare incorecte sau configurației geometrice a piesei. Prin *indicație neconcludentă* se înțelege o indicație pe baza căreia nu se poate stabili existența unui defect sau nu se poate determina natura acestuia.
- Caracteristicile indicației formate pe dispozitivul de verificare oferă indicii referitoare la calitatea, magnetizării și a pulberii sau lichidului magnetic.
- Dispozitivul de verificare vizualizează orientarea liniilor de câmp ceea ce permite cunoașterea direcției în care dacă ar exista defecte acestea ar fi nedectabile (cele orientate paralel cu liniile de câmp).

13. PARTICULARITATI

Aplicațiile industriale ale defectoscopiei cu pulberi magnetice datează din jurul anului 1930, ajungând astăzi una dintre cele mai răspândite și eficiente metode de examinare. Ea are la bază analiza câmpurilor magnetice create prin magnetizarea piesei sau a zonei controlate.

Metoda poate fi aplicată facil materialelor feromagnetice formate din cca. 1000 de și aliaje, dintre care cele mai importante sunt: Fe, Co, Ni și aliajele acestora. La uri defectoscopia cu pulberi magnetice poate fi aplicată tuturor sortimentelor de structură a feritice, ferito-perlitice, ferito-martensitice și martensitice, și nu poate fi aplicată oțelurilor de structură δ , austenitice.

Principalele mărimi magnetice - forța coercitivă, magnetizația de saturație, permeabilitatea și inducția remanentă - depind de compoziția chimică, formele de cristalizare, tipul structurii, cantitatea de dislocații și de incluziuni etc. Forța coercitivă este influențată mai ales de structură și doar în mică măsură de compoziția chimică. Magnetizația de saturație este influențată de modificările elementelor de aliere, deci de compoziția chimică și în mai mică măsură de structură.

Modificările de permeabilitate magnetică superficială și subsuperficială provocate de prezența unor discontinuități conduc la modificarea liniilor de câmp magnetic, obligând ca acestea să se închidă la suprafața piesei. Astfel se formează fluxul magnetic de dispersie, ca element de bază al observării, examinării și înregistrării discontinuităților de la suprafața piesei controlate.

Multitudinea procedeeleor de magnetizare conferă metodei o bună adaptabilitate la complexitatea geometrică și dimensională a pieselor.

În ceea ce privește performanța de a pune în evidență discontinuitățile, se precizează că dacă la un control de rutină aceasta se situează în domeniul $0,5 \div 1$ mm, la un control optim coordonat se poate ajunge la detectarea unor discontinuități cu deschideri de până la 0,001 mm.

14. CARACTERIZAREA CÂMPULUI MAGNETIC ȘI TIPURI DE MATERIALE

În exteriorul corpurilor magnetizate, inclusiv în vid se definesc două mărimi vectoriale ale câmpului magnetic, intensitatea \vec{H} și inducția magnetică \vec{B} , legate între ele prin relația:

$$\vec{B} = \mu_0 \cdot \vec{H} \quad (T) \quad (1)$$

unde μ_0 este caracteristica de permeabilitate a vidului, care este o constantă numită și constanta de inducție, $\mu_0 = 4\pi \cdot 10^{-4}$ [H/m]. În tabelul 1 sunt prezentate unitățile de măsură în sistemul SI și CGS pentru principalele mărimi magnetice și electrice.

Intr-un corp magnetizat se definesc trei mărimi ale câmpului magnetic, primele două fiind H și B , iar cea de a treia, magnetizația M . Ele sunt legate prin relația:

$$\vec{B} = \mu_0 (\vec{H} + \vec{M}) \quad (2)$$

Magnetizația se definește pe baza relației:

$$\vec{M} = \lim_{\Delta v \rightarrow 0} \frac{\sum \vec{m}_k}{V} \quad (\text{A/m}) \quad (3)$$

unde $\sum \vec{m}_k$ a este suma vectorială a momentelor magnetice din volumul V.

Starea de magnetizație sau intensitatea de magnetizație a corpurilor poate să fie temporară, notată cu \vec{M}_t dacă se manifestă numai în prezența unui câmp magnetic exterior, sau permanentă, notată cu M_p , dacă este independentă de prezența câmpului magnetic exterior. Magnetizația temporară este dependentă de intensitatea câmpului magnetic, conform relației:

$$\vec{M}_t = \chi_m \cdot \vec{H} \quad (4)$$

în care: χ_m reprezintă susceptivitatea magnetică, o constantă de material, ce poate avea valori pozitive sau negative.

Referitor la magnetizația corpurilor, s-a observat că unele dintre acestea se magnetizează temporar, iar altele se magnetizează permanent. Din prima categorie fac parte așa-numitele materiale neferomagnetice, iar din a doua materialele feromagnetice.

Tabelul 1

Nr crt	Mărimea	Simbol	Dimensiune (LMTI)	SI	CGS	Relații
1	Intensitatea curentului electric	I	I	A	Bi	4Bi = 10 A
2	Tensiunea electrică	U	L ² MT ⁻³ I ⁻¹	V	10 ⁻⁸ V	-
3	Rezistența electrică	R	L ² MT ⁻³ I ⁻²		10 ⁻⁹ Ω	-
4	Intensitatea câmpului magnetic	\vec{H}	L ⁻¹ I	A/m	Oe	1 Oe = 79,6 A/m
5	Inducția magnetică	\vec{B}	MT ⁻² I ⁻¹	T (1 T = 1 Wb/m ²)	Gs	1 Gs = 10 ⁻⁴ T
6	Fluxul magnetic	Φ	L ² MT ⁻² I ⁻¹	Wb (1 Wb = 1 V·s)	Mx	1 Mx = 10 ⁻⁸ Wb
7	Magnetizația	M	L ⁻¹ , I	A/m	Bi/cm	1 Bi/cm = 10 ³ A/m
8	Tensiunea magnetică	U _m	I	A (As)	Gb	1 Gb = 0,0796 A
9	Reluctanța	R _m	L ⁻² M ⁻¹ T ² I ²	A/Wb	10 ⁹ /4πA/W	-
10	Inductivitatea	L	L ² MT ⁻² I ⁻²	H	10 ⁻⁹ H	1 H = 10 ⁹ Ωs
11	Permeabilitatea	μ	LMT ⁻² I ⁻³	H/m	4π·10 ⁻⁷ H/m	-

Materialele neferomagnetice sunt așa-numite materiale magnetice liniare, adică relația $B=B(H)$ este o funcție liniară.

Astfel:

$$\vec{B} = \mu_0(\vec{H} + \vec{M}) = \mu_0(\vec{H} + \chi_m \vec{H}) = \mu_0(1 + \chi_m)\vec{H} \quad (5)$$

în care:

$$\mu = \mu_0(1 + \chi_m) \quad (6)$$

se numește permeabilitatea magnetică absolută, iar

$$\mu_r = 1 + \chi_m \quad (7)$$

se numește permeabilitatea magnetică relativă a materialului.

Din punct de vedere al permeabilității relative (μ_r) și a susceptivității (χ_m), materialele neferomagnetice sau cu magnetizație liniară se împart în două categorii:

- Materiale diamagnetice (ex.: Cu, Zn, Ag, Pb), care se magnetizează în sens opus câmpului magnetic aplicat: $M \uparrow - \downarrow H$, având $\chi_m < 0$ și deci $\mu_r < 1$. Moleculele acestor materiale nu au inițial moment magnetic rezultat (materiale nepolare) ele căpătând, printr-un fenomen de inducție electromagnetică, un moment magnetic orbital, de sens opus câmpului exterior. La substanțele diamagnetice χ_m nu depinde de temperatură.
- Materialele paramagnetice (ex.: Al, Cr, O, aer) se magnetizează în sensul câmpului magnetic aplicat: $M \uparrow - \downarrow H$, având $\chi_m > 0$ și deci $\mu_r > 1$. Moleculele acestor materiale nu au un moment magnetic propriu spontan (materiale polare) din cauza orientării dezordonate, momentul magnetic macroscopic fiind nul. La aplicarea unui câmp magnetic exterior, momentele magnetice tind să se orienteze în direcția câmpului, ordonării opunându-se agitația termică. Rezultă o magnetizare pozitivă dependentă de temperatură prin susceptivitate:

$$\chi_m = \frac{k}{T} \quad (8)$$

unde: k este o constantă de material; T este temperatura absolută (°K). La materialele neferomagnetice μ_r este foarte apropiată de unitate, practic putându-se considera $\mu \approx 1$, iar permeabilitatea absolută se poate lua $\mu \approx \mu_0$.

La materialele dia și paramagnetice valorile lui χ_m sunt mici, de ordinul 10^{-5} - 10^{-3} . Materialele feromagnetice prezintă o clasă specială a materialelor cu molecule polare, care se magnetizează extrem de puternic, neliniar și ireversibil, prezentând histerezis și magnetizare permanentă. La aceste materiale (ex.: Fe, Co, Ni) permeabilitatea relativă are valori extrem de mari, de ordinul 10^2 - 10^5 , având $\chi_m > 0$. Datorită faptului că $B=B(H)$ este o funcție neliniară, aceste materiale intră în categoria materialelor magnetice neliniare. Dintre constituenții structurali, ferita are cea mai mare permeabilitate magnetică. Cementita secundară și martensita sunt feromagnetice, dar cu o permeabilitate mai slabă decât a feritei. Fierul γ sau austenita este paramagnetic.

Tratamentul de călire, ca de altfel creșterea conținutului de carbon, mangan și crom scade magnetismul remanent, magnetizația de saturație și permeabilitatea și mărește câmpul coercitiv. Recoacerea și revenirea au efecte contrare, ca și mărirea conținutului de siliciu și chiar de nichel.

Introducând un corp feromagnetic în câmpul magnetic al unui conductor, se observă că la o intensitate mică a câmpului se obține o inducție puternică. Această comportare se explică pe baza teoriei microscopice a fenomenelor electromagnetice.

După cum se știe, conform acestei teorii, magnetismul este produs de sarcini electrice elementare în mișcare. Electronii deplasându-se pe orbite în jurul nucleului în mișcare de precesie și concomitent în jurul propriei axe de rotație - spinul electronului - dau naștere unor momente cinetice și de spin, care, însumate, formează momentul magnetic al atomului. În prezența câmpului magnetic, momentele magnetice se orientează astfel încât se obțin așa-numitele domenii Weiss cu spini orientați.

Materialele din această categorie sunt feromagnetice, atingând magnetizația de saturație când toate domeniile ajung orientate.

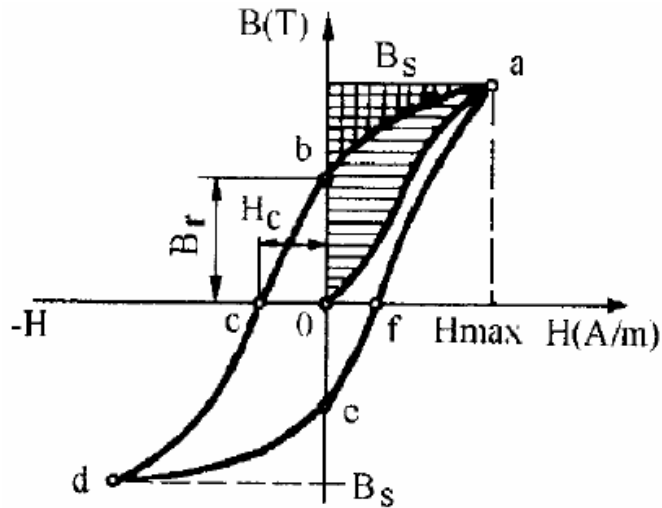


Fig. 1. Curba de magnetizare a materialelor feromagnetice

În prezența câmpului exterior, la aceste materiale are loc de fapt o orientare a domeniilor și o suprapunere între câmpul de excitație și câmpul magnetic propriu, deformarea câmpului uniform exterior și concentrarea în corpul din material feromagnetic. Odată cu creșterea câmpului H se mărește inducția B, în cazul primei magnetizări, după curba OA din figura 1, numită curbă de primă magnetizare.

Punctul a corespunde saturației magnetice a materialului, având semnificația limitării inducției magnetice, la valoarea de saturație B_s .

Dacă se micșorează intensitatea câmpului după atingerea saturației, inducția va scădea după curba a - c, determinând o inducție remanentă B_r la $H = 0$ (punctul b), corpul devenind astfel magnetizat permanent $M_r = B_r/\mu_0$. Schimbând sensul câmpului magnetic, inducția scade până la valoarea $B = 0$, definind în punctul e al curbei, câmpul necesar pentru anularea fluxului, numit câmp coercitiv sau forță coercitivă H_c . Mărind magnetizarea în sens opus, se ajunge la saturația negativă (punctul d), ca apoi, prin micșorarea câmpului negativ și schimbarea sa, inducția să crească din nou până la închiderea curbei în punctul a.

Bucla a, b, c, d, e, f, a, descrisă la variații ale câmpului H, poartă denumirea de buclă de histerezis. Dependenta $B=f(H)$ nu este liniară, deoarece permeabilitatea nu este constantă. Proprietățile magnetice ale materialelor pot fi descrise și mai simplu prin maximul lui μ_r respectiv μ_{rd} . Curbele de primă magnetizare la diferite materiale sunt indicate după [25] în figura 2. În figura 3 se prezintă caracteristicile complete de magnetizare ale oțelului foarte uzual OL37.

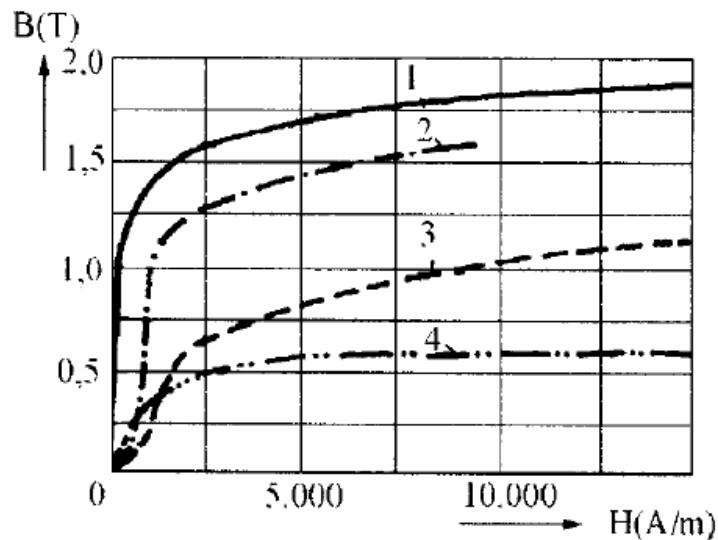


Fig. 2. Curbe de primă magnetizare ale unor materiale: 1 - tablă electrotehnică; 2 - oțel de scule; 3 - fontă cenușie; 4-nichel pur la 900°C

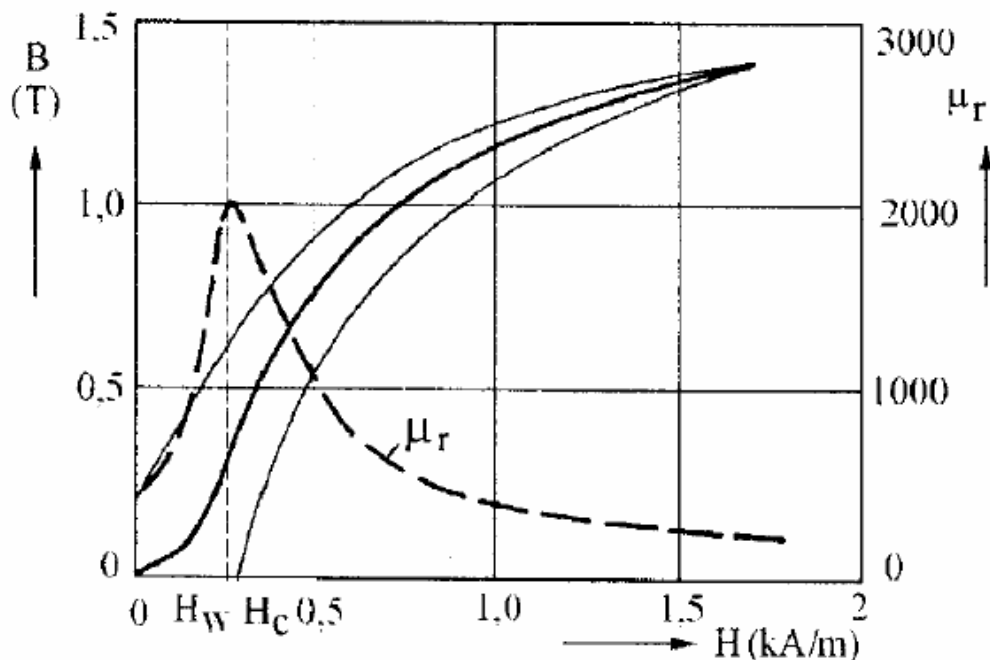


Fig. 3. Caracteristica de magnetizare a oțelului OL37

Proprietățile magnetice descrise, dispar dacă se depășește o anumită temperatură (punctul Curie), care la fier este 761°C, la nichel 360°C etc., materialul devenind paramagnetic. Suprafața delimitată de curba de primă magnetizare OA și inducția de saturație B_s (zonă hașurată simplu și dublu în figura 1), reprezintă energia specifică a unității de volum, consumată pentru producerea magnetizării:

$$W_v = H_{\max} \cdot B_s - \int_0^{H_{\max}} \bar{B} \cdot d\bar{H} = \eta \cdot B^{1,6} \quad (9)$$

unde η este un coeficient de material.

Din această energie, o parte este consumată prin căldură în circuit (zona simplu hașurată în figura 1).

$$W_{v_c} = H_{\max} \cdot B_r + \int_{H_{\max}}^0 (\bar{B} + \bar{B}_r) \cdot d\bar{H} - \int_0^{H_{\max}} \bar{B} \cdot d\bar{H} \quad (10)$$

iar o parte este redată circuitului la schimbarea polarității curentului de magnetizare (zona dublu hașurată din figura 1).

$$W_{v_r} = H_{\max} \cdot B_s - \int_{H_{\max}}^0 \bar{B} \cdot d\bar{H} \quad (11)$$

Pentru caracterizarea materialului, în jurul unei anumite stări, figura 4, corespunzătoare unei perechi de valori B și H , se definesc:

- Permeabilitatea magnetică relativă statică (totală)

$$\mu_r = \frac{B}{\mu_0 H} \quad (12)$$

care variază cu \bar{H} atingând un maxim pentru a scădea și a tinde către 1 pentru $H \rightarrow \infty$. Variația permeabilității relative în funcție de intensitatea câmpului H la o gamă largă de oțeluri este evidențiată grafic în figura 5. Se observă că la majoritatea oțelurilor curbele $\mu_r = f(H)$ prezintă câte un maxim în domeniul $H = 0,8 \div 1,5$ kA/m urmat de o scădere lentă spre valori mai ridicate ale câmpului H . Fac excepție oțelurile cu conținut scăzut de carbon precum și unele oțeluri slab aliate cu mangan.

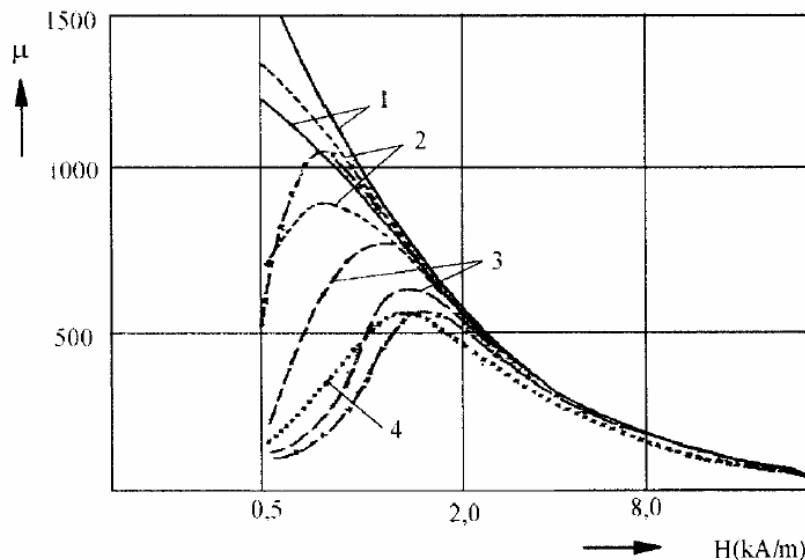


Fig. 5. Variația permeabilității relative în funcție de intensitatea câmpului magnetic:

1 - oțeluri cu C scăzut; 2 - oțeluri slab aliate C - Mn sau C -Mn – Mo; 3 - oțeluri aliate cu puțin Cr; 4 - oțeluri cu 13% Cr

- Permeabilitatea magnetică relativă diferențială (sau incrementală)

$$\mu_{rd} = \lim_{\Delta H \rightarrow 0} \left(\frac{\Delta B}{\mu_0 \Delta H} \right)_{\text{sens direct}} = \frac{1}{\mu_0} \left(\frac{dB}{dH} \right)_{\text{sens direct}} \quad (13)$$

care este proporțională cu panta curbei de magnetizare față de axa absciselor (coeficientul unghiular al tangentei în punctul dat P), la variația lui H în sens direct.

- Permeabilitatea magnetică reversibilă

$$\mu_{rev} = \lim_{\Delta H' \rightarrow 0} \left(\frac{\Delta B'}{\mu_0 \cdot \Delta H'} \right)_{\text{revenire}} \quad (14)$$

Dacă scade câmpul cu $\Delta H'$, în punctul P, înainte de a se atinge saturația și apoi se mărește din nou câmpul cu $\Delta H'$, se descrie un mic ciclu de histerezis, foarte turtit, care se poate confunda cu o dreaptă (numită dreaptă sau curbă de revenire), mai puțin înclinată față de abscisă decât tangenta în punctul P. Această transformare practic reversibilă este caracterizată de μ_{rev} . În general, μ_{rev} este mai mică decât μ_r și decât μ_{rd} . Această valoare atinge maximum pentru $B = 0$, când coincide cu permeabilitatea în origine a curbei de primă magnetizare, care se numește permeabilitate inițială:

$$\mu_{in} = \lim_{\Delta H \rightarrow 0} \left(\frac{\Delta B}{\mu_0 \cdot \Delta H} \right)_{H=0, B=0} \quad (15)$$

Materialele feromagnetice se împart în trei categorii distincte:

- Materiale magnetice moi, care au $H_c < 80 \text{ A}\cdot\text{s/m}$, deci un ciclu de histerezis îngust și permeabilități foarte mari. Cel mai caracteristic material de acest fel este fierul moale, cu 4% Si și permalloyul, cu 78,5% Ni și 21,5% Fe;
- Materiale magnetice dure, care au $H_c > 4000 \text{ A}\cdot\text{s/m}$, deci ciclu de histerezis lat și permeabilități mici. Cel mai caracteristic în acest sens este oțelul cu 1% C, aliajul Al-Ni-Co sau alnico cu 12% Al, 20% Ni, 5% Co și 63% Fe.

Diferențele de comportare dintre materialele feromagnetice moi și dure dispar dacă $H > 2 \div 3 \text{ kA/m}$;

- Feritele, care sunt o clasă specială de materiale feromagnetice, formate din combinații de oxizi de fier, Fe_2O_3 cu oxizi de metale bivalente MO. Feritele se caracterizează prin inducții B_s și B_r foarte mici (0,1 ... 0,4 T) și prin pierderi neînsemnate prin curenți turbionari, în special la frecvențe înalte.

În tabelul 2 se indică valorile principalelor mărimi magnetice la unele tipuri de oțeluri și fonte.

Coroborând datele din tabel cu cele rezultate din figura 2 se constată că pentru câmpuri de peste 2000 A/m se depășește punctul de saturație corespunzând permeabilității relative maxime, adică:

$$|B|_{\mu_r \max} = \mu_0 \mu_r \max |H|_{\mu_r \max} \leq 0,72 \text{ T} \quad (16)$$

Excepție fac unele oțeluri inoxidabile și fontele cenușii la care magnetizarea trebuie realizată cu valori mai ridicate ale mărimilor de câmp. După standarde, condițiile minime de magnetizare impuse la controlul cu pulberi magnetice [11], [57], sunt $B = 0,72$ T, respectiv $H_t = 2400$ A/m.

Tabelul 2

Nr. crt.	Tipul oțelului, respectiv a fontei	H coresp. unei inducții de 0,72 T (A/m)	Inducția (T)		Câmpul magnetic coercitiv H_c (A/m)
			B_r	B_s	
1.	Oțeluri cu $< 0,25\% C$	160 – 400	0,6 – 1,1	$> 2,07$	80 – 300
2.	Oțeluri cu $0,25 < C < 0,5\%$	480 – 1000	1,3 – 1,4	$> 2,04$	1100 – 1200
3.	Oțeluri C – Mn	900 – 1200	0,8 – 1,0	$> 2,05$	500 – 600
4.	Oțeluri slab aliate	1400 – 2000	0,8 – 1,5	$> 2,05$	900 – 2600
5.	Oțeluri inox 13% Cr normalizate	720 – 1200	0,8 – 1,2	1,6 – 1,8	300 – 750
6.	Oțeluri inox 13% Cr îmbunătățite	800 – 3200	0,6 – 1,1	-	1100 – 1500
7.	Oțeluri inox 15% Cr – 5% Ni în stare calită	3500 – 4000	-	-	-
8.	Oțeluri inox feritice	1600 – 2000	0,5 – 0,7	-	700 – 800
9.	Fonte cenușii	3200 – 4000	-	1,6 – 1,8	-
10.	Fonte maleabile	320 – 800	-	1,8 – 1,9	-
11.	Fonte cu grafit nodular – feritice	320 – 500	-	1,8 – 2,0	-
12.	Fonte cu grafit nodular – perlitice	800 – 1200	-	1,6 – 1,8	-

15. FORMAREA CÂMPULUI MAGNETIC DE DISPERSIE ÎN DISCONTINUITĂȚI

Un corp feromagnetic este străbătut de linii de forță sau de linii de câmp. Dacă continuitatea piesei este întreruptă de discontinuități, neomogenități sau defecte având o permeabilitate magnetică diferită de cea a corpului, are loc o modificare bruscă a direcției liniilor de câmp.

Pentru înțelegerea fenomenelor care au loc pe suprafața de separație între două medii diferite se face uz de două legi de bază.

- Legea fluxului magnetic care se scrie sub forma:

$$\Phi_{\Sigma} = \iint_{\Sigma} \vec{B} \cdot d\vec{A} = 0 \quad (17)$$

și exprimă faptul că fluxul vectorului inducție magnetică printr-o suprafață închisă Σ este nul indiferent de forma suprafeței. Elementul orientat de suprafață $d\vec{A}$ este:

$$d\vec{A} = \vec{n} dA \quad (18)$$

unde reprezintă vectorul unitate normal la suprafață. Din legea fluxului magnetic se deduce teorema conservării componente normale a vectorului inducție magnetică la trecerea dintr-un mediu (1) în alt mediu (2), adică:

$$B_{1n} = B_{2n} \quad (19)$$

• Legea circuitului magnetic, care într-un regim staționar se exprimă astfel:

$$U_{m\Gamma} = \Theta_{s\Gamma} + \frac{d\Psi_{s\Gamma}}{dt} \quad (20)$$

ceea ce indică că tensiunea magnetomotoare de-a lungul unei curbe închise de contur Γ este egală cu suma dintre solenația corespunzătoare curentului care străbate o suprafață deschisă, mărginită de conturul Γ și derivata fluxului electric prin această suprafață. Din legea circuitului magnetic rezultă teorema conservării componente tangențiale a vectorului intensitate de câmp magnetic la trecerea dintr-un mediu (1) în altul (2), adică vom avea:

$$H_{1t} = H_{2t} \quad (21)$$

Considerând suprafața de separație între două medii având permeabilitatea μ_1 respectiv μ_2 , unde presupunem $\mu_1 > \mu_2$, într-un punct considerat 0, intensitatea câmpului magnetic din planul de separație (H_t) și inducția, situată normal pe suprafața de separație (B_n), ca și componente ale vectorilor de câmp H și B (figura 6), se află în relațiile (19), respectiv (21).

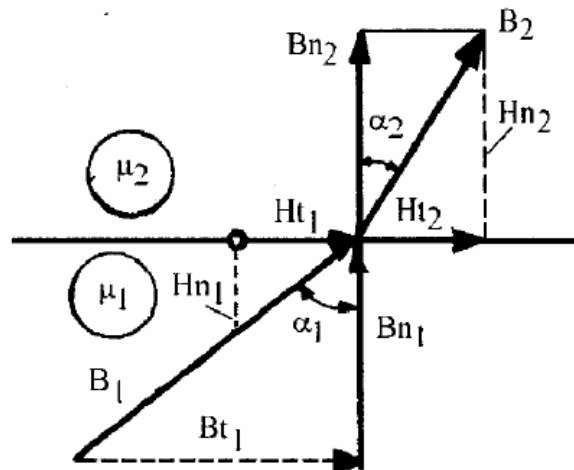


Fig. 6. Caracteristici ale câmpului magnetic la suprafața de separație între două medii având μ_1 , respectiv μ_2

Pe de altă parte:

$$B_{1t} = \mu_1 H_{1t} \quad \text{și} \quad (22)$$

$$B_{2t} = \mu_2 H_{2t}$$

de unde rezultă:

$$\frac{B_{1t}}{B_{2t}} = \frac{\mu_1}{\mu_2} \quad (23)$$

Dacă se notează unghiul de intrare din mediul 1 în mediul 2, α_1 și unghiul de ieșire (refracție) în mediul 2, α_2 , se poate scrie:

$$\operatorname{tg}\alpha_1 = \frac{B_{1t}}{B_{1n}} \quad \text{și} \quad \operatorname{tg}\alpha_2 = \frac{B_{2t}}{B_{2n}} \quad (24)$$

de unde prin folosirea relației (23) se obține legea refracției liniilor de câmp magnetic sub forma:

$$\frac{\operatorname{tg}\alpha_1}{\operatorname{tg}\alpha_2} = \frac{B_{1t}}{B_{2t}} = \frac{\mu_1}{\mu_2} \quad (25)$$

În cazul transferului liniilor de câmp din fier (indice Fe), în aer (indice A), având în vedere $\mu_{\text{Fe}} = 10^2 \div 10^3$ și $\mu_A = 1$, unghiul de refracție în aer va fi:

$$\operatorname{tg}\alpha_A = \frac{\operatorname{tg}\alpha_{\text{Fe}}}{\mu_{\text{Fe}}} \quad (26)$$

Dacă liniile de câmp în fier întâlnesc suprafața de separație cu aerul sub un unghi de $\alpha_{\text{Fe}} = 45^\circ$ și permeabilitatea $\mu_{\text{Fe}} = 100$, rezultă $\operatorname{tg}\alpha_A = 0,01$, ceea ce corespunde unui unghi de refracție $\alpha_A \approx 0,5^\circ$, adică ieșirea liniilor de câmp din piesă în aer se realizează practic perpendicular la suprafața respectivă. Aceeași lege guvernează și la transferul liniilor de câmp dintr-un spațiu în care are loc o distribuție omogenă, spre o piesă feromagnetică. În acest caz, se produce atât o deviere a liniilor în spațiul apropiat de piesa feromagnetică, cât și o concentrare a lor în interiorul acesteia.

Analizând traiectoria liniilor de câmp magnetic în zona unei discontinuități deschise la suprafață (de exemplu fisura), respectiv în zona unei discontinuități incluzionate în material în apropierea suprafeței, se pun în evidență modificări esențiale, figura 7.

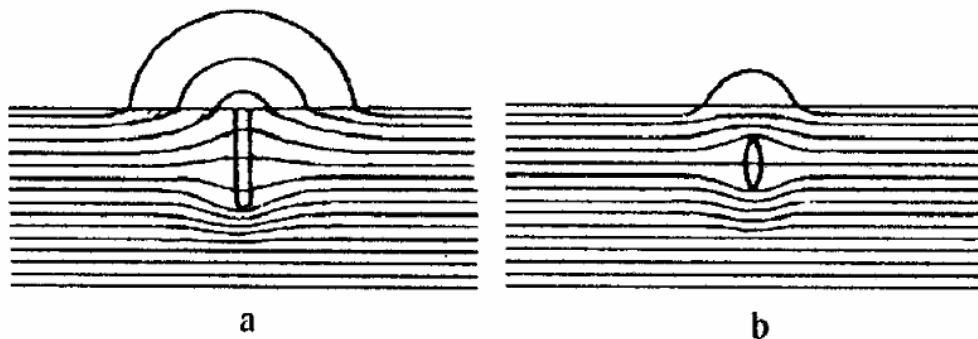


Fig. 7. Formarea câmpului magnetic de dispersie în jurul discontinuităților: a - deschise la suprafață; h - incluzionate în secțiune

Urmare a micșorării permeabilității $\mu_A \ll \mu_{Fe}$ are loc o mărire a rezistenței magnetice în discontinuitate. Intr-adevăr, dacă se consideră expresia tensiunii magnetice în axa unui tub de flux magnetic de lungime l suficient de subțire pentru a putea considera o repartiție uniformă a fluxului în secțiune și cum $\vec{B} \parallel \vec{H}$, se poate scrie:

$$U_m = \int_c \vec{H} \cdot d\vec{l} = \int_c \frac{\vec{B}}{\mu} d\vec{l} = \int_c \frac{\Phi}{A \cdot \mu} d\vec{l} = \Phi \int_c \frac{d\vec{l}}{\mu \cdot A} \quad (27)$$

unde reluctanța tubului de flux are expresia:

$$R_m = \int_c \frac{d\vec{l}}{\mu \cdot A} \quad (28)$$

- A fiind secțiunea transversală străbătută de fluxul Φ .

Dacă în secțiunea lipsită de discontinuitate fluxul magnetic este:

$$\Phi_1 = B_1 \cdot A \quad (29)$$

iar în secțiunea cu discontinuități fluxul magnetic este

$$\Phi_2 = B_2(A - a) \quad (30)$$

$$B_2 = \frac{B_1 \cdot A}{A - a} > B_1 \quad (31)$$

În această situație se disting două cazuri:

- intensitatea câmpului magnetic $H_2 < H_{\mu_{max}}$; în acest caz cu $B_2 > B_1$ pe curba $\mu = f(H)$ corespunde $\mu_2 > \mu_1$ și deci creșterea permeabilității compensează scăderea ariei efective $A - a$, de unde și $R_{m2} \approx R_{m1}$ astfel încât nu se formează un câmp magnetic de dispersie;
- intensitatea câmpului magnetic $H_2 > H_{\mu_{max}}$ în acest caz cu $B_2 > B_1$ îi corespunde pe curba $\mu = f(H)$ un $\mu_2 < \mu_1$ și deoarece și secțiunea A scade la $A - a$, reluctanța crește în mod substanțial. Liniile de flux vor ocoli discontinuitatea și vor fi obligate să se închidă prin aer.

În general liniile de câmp comportă următoarele modificări:

- cele aflate în interiorul piesei sunt obligate să ocolească discontinuitatea, provocând îndesirea în jurul vârfului acesteia;
- parte traversează spațiul dintre suprafețele fisurii;
- liniile aflate mai la suprafață ies din piesă și se închid prin aer și, potrivit legii refracției, ieșirea lor din piesa se produce aproape perpendicular pe suprafață.

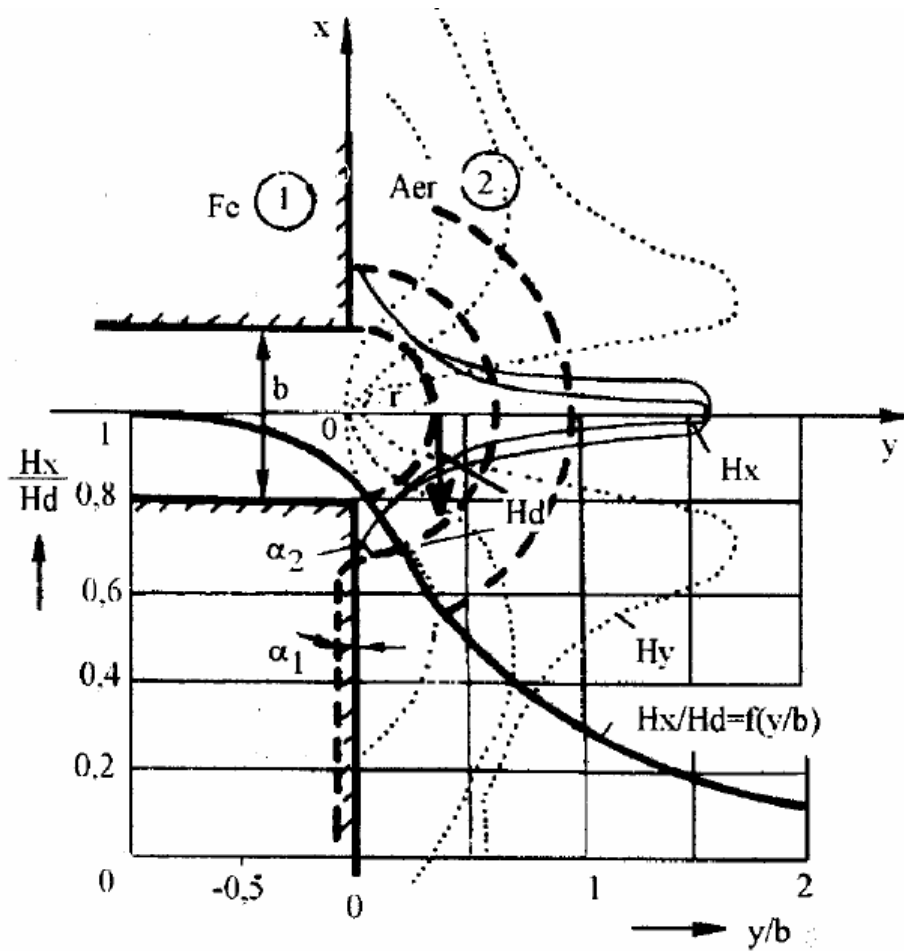


Fig. 8. Distribuția componentelor câmpului magnetic în jurul unei fisuri de adâncime nelimitată

Liniile din ultima categorie formează fluxul magnetic de dispersie. Cum spațiul de ocolire a discontinuității este incomparabil mai mare decât spațiul discontinuității propriu-zise, capacitatea de observare-indicare a defectelor este foarte ridicată.

Câmpul magnetic de dispersie într-o discontinuitate dreptunghiulară de lățime (deschidere) b și de adâncime infinită pe direcția y s-a calculat folosind relațiile de transformare Schwarz - Cristoffel ale reprezentării conforme. Modelul acestui câmp este reprezentat în figura 8.

Se relevă variația câmpului de dispersie din discontinuitate H_x în funcție de componentele sale H_s și H_y și de raportul y/b . Dacă pe adâncime până în stratul superficial $H_x = H_d = B_{Fe}$ din cauză că $\mu_A = 1$ pe direcțiile X și y , Valorile componentelor tangențiale și normale ale câmpului se calculează din relațiile

$$H_x = H_d \frac{b}{\pi} \cdot \frac{y}{x^2 + y^2} = \frac{H_d}{\pi} \cdot \frac{y/b}{(r/b)^2} \quad (32)$$

$$H_y = H_d \frac{b}{\pi} \cdot \frac{x}{x^2 + y^2} = \frac{H_d}{\pi} \cdot \frac{x/b}{(r/b)^2}$$

Rezultă că liniile câmpului de dispersie sunt semicercuri concentrice. În raport cu planul de simetrie a discontinuității, iar variațiile acestora prezintă singularități în axa de simetrie. Variația câmpului tangențial perpendicular pe discontinuitate se obține făcând $x = 0$ în relația (32):

$$\frac{H_{x \max}}{H_d} = \frac{b}{\pi} \cdot \frac{1}{y} = \frac{1}{\pi} \cdot \frac{1}{y/b} \quad (33)$$

Dependenta $H_x/H_d = f(y/b)$ este reprezentată cu linie plină în figura 8.

Lățimea câmpului de dispersie $b' > b$ ale unor discontinuități circulare cu diametrul d , este funcție de adâncimea h la care se află, conform relației demonstrate în lucrarea [14]:

$$b' = 0,7h + d \quad (34)$$

Acest efect de lupă permite decelarea facilă a discontinuităților situate chiar subsuperficial în interiorul piesei.

Câmpul de dispersie este maxim atunci când liniile de flux intercepțează perpendicular discontinuitatea. Pentru practică se consideră satisfăcător dacă unghiul format între liniile de câmp și direcția discontinuității este cuprins între 45° și 90° .

Dacă liniile de flux coincid cu direcția discontinuității nu se mai formează câmpul de dispersie și, ca urmare, defectul nu poate fi detectat.

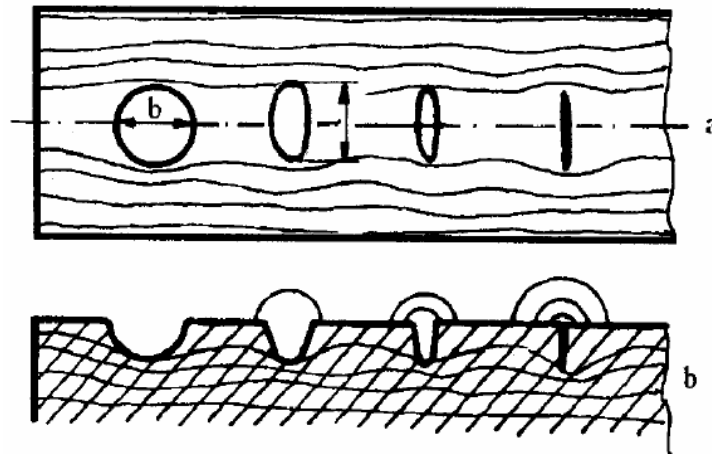


Fig. 9 Modificarea traiectoriei liniilor de câmp magnetic în jurul discontinuităților de forme diferite

Analizând modul de variație a inducției câmpului magnetic de dispersie într-un defect de tip fisură, precum și a permeabilității, cu creșterea intensității câmpului magnetic, se relevă următoarele: câmpul magnetic de dispersie H_d crește aproximativ liniar cu creșterea intensității câmpului până la valoarea corespunzătoare curbării bruște a curbei de primă magnetizare $B = f(H)$, după care rămâne aproximativ constant. Cum permeabilitatea μ corespunzătoare punctului de inflexiune a curbei de primă magnetizare, după un maxim începe să scadă, la valori ridicate ale magnetizării, tinzând la saturație spre valoarea 1, rezistența magnetică devine foarte mare. Aceasta are ca urmare formarea câmpului de dispersie la orice neregularitate a suprafeței și astfel îngreunează decelarea câmpului de dispersie provocat de defecte. De aceea se consideră că în funcție și de material există un domeniu optim de magnetizare plasat în intervalul 50 - 100 A/cm.

Pe baza experiențelor efectuate de Förster [17], asupra variației permeabilității la diferite forme ale discontinuității, sferice, eliptice, liniare (fisuri) s-a demonstrat importanța raportului dintre lungime (l) și lățime (b). Traseul liniilor de câmp este reprezentat în figura 9. La o inducție B_g , în material, intensitatea câmpului de dispersie în discontinuitate, depinde numai de raportul l/b și de permeabilitatea μ , conform relației:

$$H_d = B_{Fe} \frac{1 + \frac{l}{b}}{\mu + \frac{l}{b}} \quad (35)$$

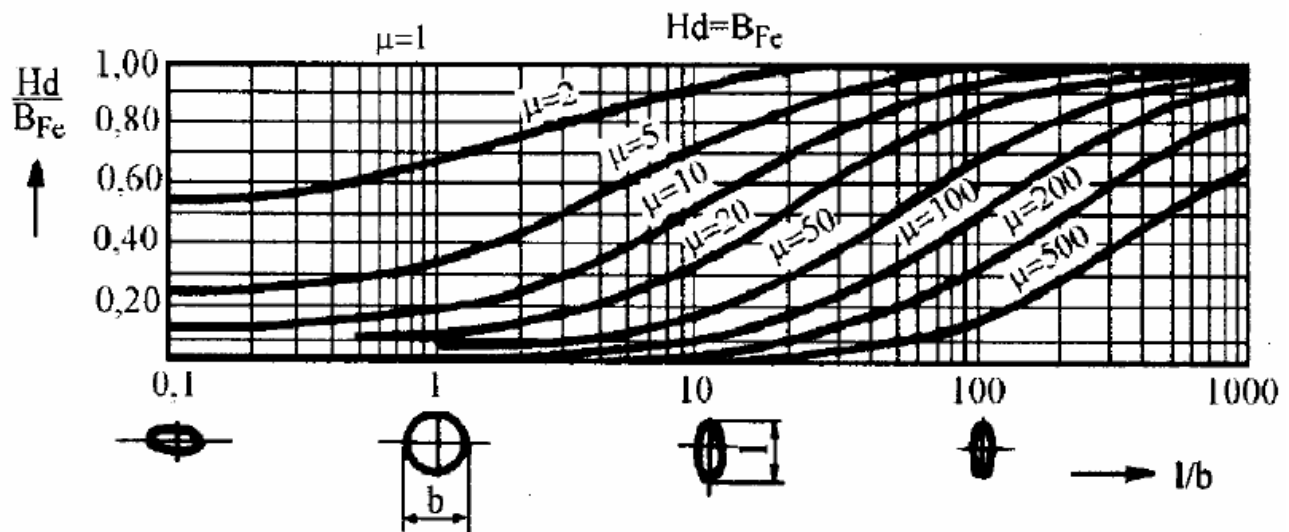


Fig. 10 Variația câmpului magnetic de dispersie la diferite forme de discontinuitate și la diferite valori ale permeabilității

Relația (35) este reprezentată grafic în figura 10 pentru un domeniu acoperitor pentru aplicații ale raportului l/b și valori ale permeabilității cuprinse în intervalului $\mu = 1 \div 500$. Se observă că la o anumită formă a discontinuității, odată cu scăderea permeabilității, intensitatea câmpului magnetic în

defect, câmpul magnetic de dispersie, se mărește. La o magnetizare foarte puternică, sau în cazul oțelurilor austenitice, permeabilitatea se apropie de valoarea 1. Astfel, câmpul magnetic din defect devine egal cu inducția din materialul feromagnetic $H_a = B_{Fe}$ și ca urmare liniile de câmp trec prin defect fără a fi deviate. În cazul unei permeabilități foarte mari, liniile de câmp ocolesc discontinuitatea, câmpul magnetic în discontinuitate devine nul și drept consecință nu se mai formează un câmp de dispersie.

La o permeabilitate constantă și deci la un anumit grad de magnetizare, câmpul magnetic din defect crește cu mărirea raportului $1/b$, ceea ce are ca urmare faptul că metoda se pretează în primul rând la detectarea discontinuităților de tipul fisurilor.

Dacă se ia, de exemplu, curba corespunzătoare valorii $\mu = 20$, din figura 10 se constată că pe câtă vreme la un defect circular câmpul magnetic de dispersie în defect este aproape nul, la un defect de tip fisură câmpul magnetic de dispersie este egal cu câmpul magnetic din materialul feromagnetic (H_a și B_r).

16. PULBERI MAGNETICE

Pulberea magnetică trebuie să îndeplinească următoarele condiții generale;

- să fie dintr-un material cu permeabilitate ridicată și câmp coercitiv cât mai mic (material feromagnetic moale);
- în funcție de procedeul de aplicare să asigure o granulație corespunzătoare și cât mai omogenă;
- să asigure un contrast corespunzător pe suprafețele aplicate.

16.1. Clasificarea pulberilor magnetice

Pulberile magnetice pentru defectoscopie se pot clasifica în funcție de:

1. destinație:
 - pentru metoda uscată;
 - pentru metoda umedă;
2. natura suportului magnetic:
 - cu suport magnetic pe bază de pulberi de fier;
 - cu suport magnetic pe baza de pulberi de oxizi de fier magnetici;
 - cu suport magnetic pe bază de pulberi din aliaje feromagnetice;
3. culoare, cu variantele:
 - pulberi colorate (roșii, albe, negre, galbene și fluorescente de culori diferite);
 - pulberi necolorate peliculizate;
4. granulație, dată de diametrul mediu al particulelor:
 - granulație fină - pentru fisuri fine, $d_g = 1 \div 15 \mu m$, granulație specifică pentru pulberile în suspensie;
 - granulație medie - pentru fisuri mai mari $d_g = 30 \div 100 \mu m$;

- granulație grosieră - pentru piese turnate și forjate, $d, = 100 \div 300 \mu\text{m}$, granulație specifică pulberilor uscate.

16.2. Proprietățile pulberilor magnetice

Pulberile magnetice pentru controlului defectoscopic sunt produse solide, granulație pe dimensiuni, colorate, necolorate sau luminifore.

În afară de dimensiuni, culoare, densitate, umiditate, puterea de acoperire, unghi de taluz ale particulelor, interesează, în primul rând, Proprietățile magnetice ale acestor pulberi.

Mărimea particulelor are deosebită importanță pentru sensibilitatea metodei.

Particulele cu dimensiuni mai mici asigură o sensibilitate mare cu condiția îndeplinirii unei permeabilități magnetice corespunzătoare. Pentru obținerea granulației particulelor în concordanță cu destinația urmărită se pot influența condițiile de lucru astfel ca să se obțină predominant particule cu dimensiunile dorite.

Granulația pulberii, așa cum rezultă și în continuare joacă un rol deosebit de important asupra relevării câmpului magnetic de dispersie. Se ia în considerație pe de o parte capacitatea de vizualizare a zonelor de discontinuitate, iar pe de altă parte pragul de sensibilitate. Funcția densității de probabilitate I și funcția de repartiție 2 a diametrului echivalent al pulberilor utilizate în procedeul umed sunt prezentate după [50], [57], în figura 11. Intersecția funcției de repartiție cu probabilitățile $p=90\%$, $p=50\%$ și $p=10\%$, determină valorile minime, medii și maxime ale diametrului echivalent. Din punct de vedere al aspectului microscopic granulația pulberii poate fi deosebit de variată. În micro-fotografiile electronice Foto 1 și Foto 2, realizate la o mărire de 5.000 ori sunt arătate două forme tipice de granulație: granulație globulară obținută la o pulbere de trioxid de fier (Foto 1), respectiv o granulație sub formă de bastonașe, obținută la o pulbere fluorescentă (Foto 2).

Culoarea are importanță specială asigurând un contrast cât mai mare între suprafața piesei controlate și pulberea respectiva. Practic, pentru piese de culoare gri sau piese strălucitoare se folosesc pulberi roșii, iar pentru piese de culoare roșie oxidate sau acoperite electrolitic se folosesc pulberi negre.

Puterea de acoperire a pulberii magnetice este dată de capacitatea acesteia de a se dispersa pe o anumită suprafață și se exprimă în cm^2/g . Este de dorit ca această putere de acoperire să fie cât mai mare, dar ea este strâns corelată cu granulația pulberii. Astfel, cu cât granulația este mai mică (pulberea mai fină) puterea de acoperire este mai mare.

Pentru o anumită pulbere unghiul de taluz reprezintă o caracteristică bine determinată. El depinde de mărimea particulelor, forma, densitatea lor, coeficientul de frecare particulă - particulă.

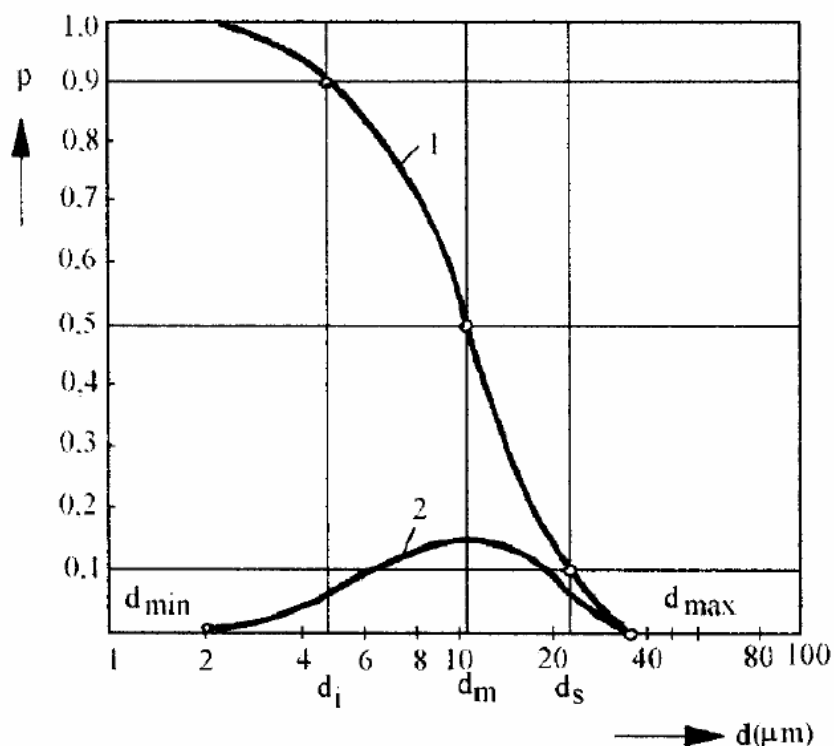
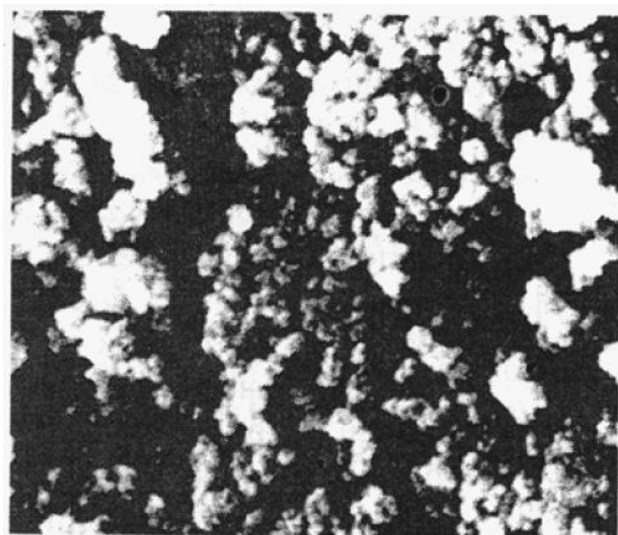
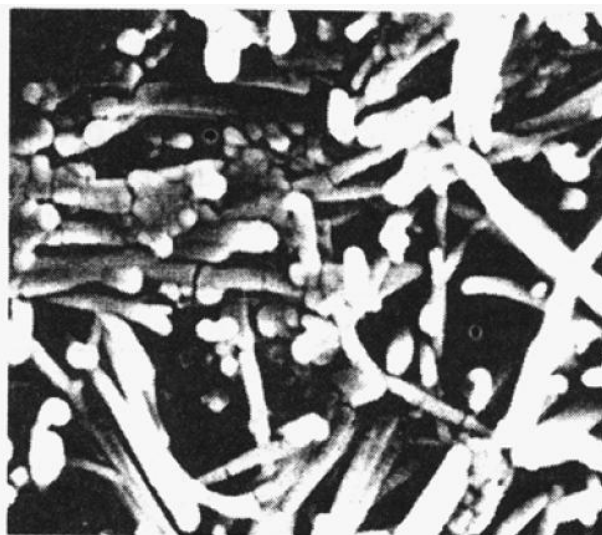


Fig. 11. Funcțiile densității de probabilitate, respectiv de repartiție ale mărimii pulberilor magnetice



globulare la pulberea $\gamma\text{-Fe}_2\text{O}_3 \times 500$



Cu aspect de bastonașe a pulberii fluorescente

Microfotografia electronică a granulației

Proprietățile magnetice ale pulberilor magnetice colorate au importanță deosebită asupra aprecierii calitative a acestora.

Variația inducției magnetice (B) în funcție de câmpul aplicat (H), rezultă din studiul curbei de magnetizare. Între pulberea magnetică uscată și suspensia magnetică colorată sau fluorescentă există diferențe semnificative din acest punct de vedere.

Astfel, la suspensiile magnetice permeabilitatea este sub jumătate din cea obținută la pulberile uscate cenușii. În timp ce câmpul coercitiv H_c și inducția remanentă B_r , sunt superioare, diferențele respective

depind. în mod esențial de mărimea câmpului de magnetizare. Acestea rezultă în mod concludent din variația raportului B_r/B_s . redat după [20] pe tipuri de pulberi, în tabelul 3.

Tabelul 3

Felul substanței	B_r/B_s	
	$H = 400 \text{ A/cm}$	$H = 40 \text{ A/cm}$
Pulbere uscată cenușie	0,031	0,064
Suspensie neagră	0,381	0,044
Suspensie fluorescentă	0,310	0,048

Concentrația pulberii magnetice în suspensie este diferită în funcție de parametri de magnetizare, tipul pulberii, pigmentului și felul lichidului purtător. Pentru a conferi o calitate corespunzătoare, suspensia trebuie să conțină și un antispumant și un anticoroziv. De regulă, ea se încadrează în limitele $0,5 \div 3 \text{ gA}$ pentru pulberea fluorescentă și $1 \div 10 \text{ g/l}$ pentru pulberea obișnuită [1]. Cercetări experimentale, [55], au demonstrat că cu cât concentrația este mai mare, curentul necesar este mai mic.

Densitatea pulberii magnetice influențează calitatea acesteia și depinde în bună parte de natura suportului magnetic și de cantitatea de liant și pigment folosită. Este de dorit ca pentru o anumită granulație, densitatea să fie cât mai mică, dacă celelalte Proprietăți fizice și magnetice rămân constante.

16.3. Materii prime și auxiliare folosite pentru preparare

Ca suport magnetic pentru pulberile granulate se folosesc: magnetită, Fe_3O_4 , trioxid de fier, $\gamma - \text{Fe}_2\text{O}_3$ și pulbere de fier.

Magnetita - Fe_3O_4 - este de culoare neagră și se prezintă sub formă de pulbere foarte fină, care se orientează rapid în câmpului magnetic al defectoscopului.

Pulberea de magnetită se obține din sulfat feros $\text{FeSO}_4 \cdot 7\text{H}_2\text{O}$ prin precipitare cu bicarbonat de amoniu. Există și alte metode de obținere a acestei pulberi, dar magnetizările produse cu pulberile astfel obținute sunt superioare.

Trioxidul de fier - $\alpha - \text{Fe}_2\text{O}_3$ este de culoare maro, are o magnetizare cu 10 - 15% mai mică decât magnetita și este foarte reactiv din punct de vedere chimic. Trioxidul de fier - $\gamma - \text{Fe}_2\text{O}_3$ se obține în condiții de laborator prin calcinarea magnetitei.

Pulberea de fier se obține prin reducerea trioxidului de fier forma altropă $\alpha - \text{Fe}_2\text{O}_3$, prin procedee specifice pulberilor metalice sau în urma prelucrărilor mecanice, ca produs secundar.

Lianții sunt substanțe anorganice sau organice incolore compatibile cu pulberea și pigmentul și trebuie să asigure o granulare ușoară și un coeficient mic de frecare pe suprafața piesei.

Un contrast superior se obține prin folosirea amestecului de pulbere magnetică cu particule fluorescente. Ca luminofori se folosesc tetraclorura de carbon, antracenu sau dibenzantracenu cu amestec de pigment alb litopon, oxinatul de zinc, oxinatul de magneziu, respectiv de cadmiu. Oxinatul de zinc produce o intensitate maximă a spectrului de emisie la lungimi de undă de 520 nm [7], ceea ce corespunde culorilor verde deschis - galben-verde.

Suspensia folosește, în principal, următoarele lichide purtătoare: petrol, ulei mineral, cu vâscozitate sub $1 - 2^\circ \text{E}$, amestecuri de petrol cu ulei mineral, sau amestecuri de apă cu anticoroziv și detergent pentru evitarea efectelor nocive de corodare, emulsionare și pentru micșorarea tensiunii superficiale.

16.4. Forțe de interacțiune asupra pulberii magnetice

Asupra pulberii magnetice, dispuse pe suprafață prin procedeul umed, acționează următorul sistem de forțe, figura 12:

- forța de orientare a câmpului de dispersie produs de discontinuitate;
- forța de rezistență hidraulică la deplasarea particulei în suspensie;
- forța de frecare pe stratul limită la suprafața piesei;
- forța gravitațională.

Forța de orientare a câmpului produce deplasarea particulelor din suspensia magnetică în locurile de concentrație maximă a liniilor de flux, apropiindu-le de locul discontinuității. Forța de atracție depinde de dimensiunile particulei, de Proprietățile magnetice ale acesteia, de intensitatea câmpului H_d și mai ales de variația acestuia pe direcția fluxului:

$$F_c = \chi \cdot V_0 \bar{H}_d \frac{d\bar{H}_d}{dx} \quad (36)$$

unde: V_0 este volumul particulei; dH_d/dx gradientul câmpului pe lungimea particulei; $\chi = \mu_r - 1$ susceptivitatea magnetică.

Pentru un material dat și un câmp determinat, relația poate fi scrisă în funcție de dimensiunea medie d , a particulelor feromagnetice:

$$F_c = a \cdot d_g^3 \quad (37)$$

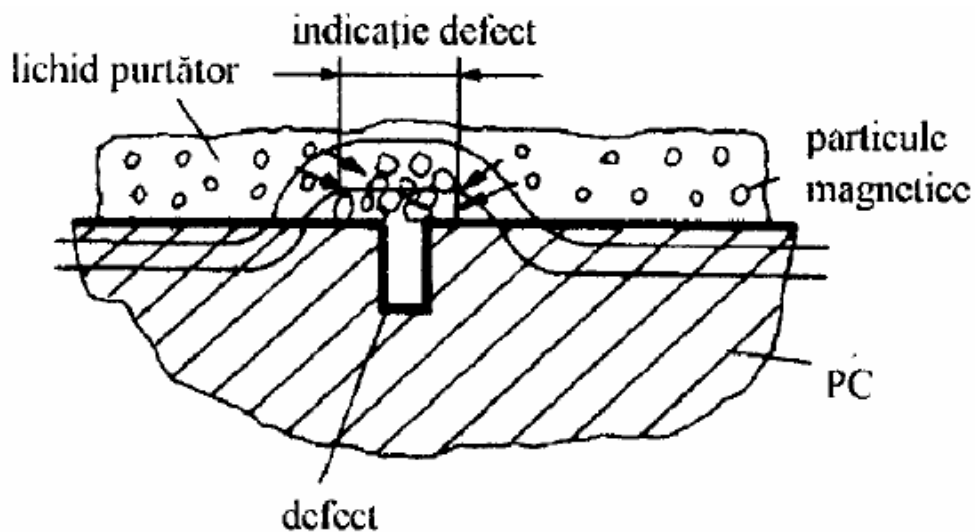


Fig. 12. Mișcarea pulberilor în câmpul magnetic de dispersie a discontinuităților

Forța de rezistență hidraulică la deplasarea particulelor în lichidul în care se găsește în suspensie este proporțională cu suprafața acestora:

$$F_h = b \cdot d_g^2 \quad (38)$$

Forța de frecare pe suprafața piesei este proporțională cu greutatea particulei:

$$F_f = c \cdot d_g^3 \quad (39)$$

Ca urmare, forța rezultantă, care acționează asupra particulei în apropierea unei discontinuități este:

$$F_r = F_c - (F_h + F_f) = \left(a - c - \frac{b}{d} \right) \cdot d_g^3 \quad (40)$$

Dacă se ține seama și de expresia forței de atracție magnetică, se observă că, în funcție de dimensiunile discontinuității, există o granulație optimă a particulelor pentru care forțele perturbatoare sunt minime și ca urmare sensibilitatea metodei, maximă. La stabilirea granulației optime a particulelor feromagnetice se consideră modelul câmpului de dispersie format în jurul unei fisuri infinite de lățime b , figura 13. Variația câmpului magnetic în valoare absolută, curba (H_d) , indică maxime în dreptul polilor (+) și (-). Gradientul câmpului variază ca derivata acestuia conform curbei (dH/dx) , trasată cu linie întreruptă, iar forța de atracție F , potrivit liniei întrerupte subțiri. Se evidențiază astfel că forța de atracție în câmpul magnetic de dispersie scade pe măsura măririi distanței față de poli cu o iuțeală mai mare decât însuși câmpul H_d . În această situație, particulele în suspensie se vor orienta din punct de vedere magnetic și vor fi atrase dacă dimensional este satisfăcută condiția $d_g < b/4$. Forța gravitațională se manifestă când examinarea se face în plan înclinat, sau când examinarea se face peste cap. Forța gravitațională acționează în sens opus forței de atracție magnetică micșorând sensibilitatea de detectare a defectelor.

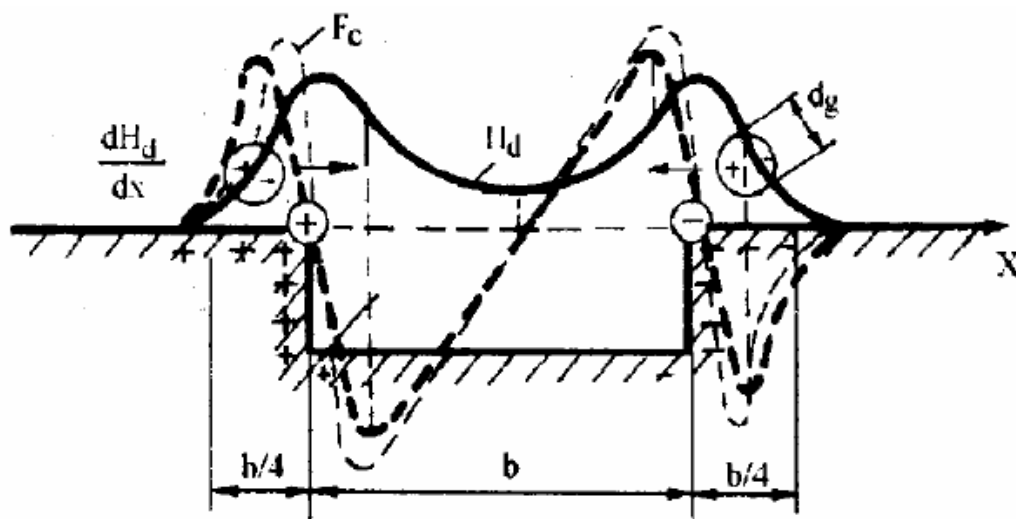


Fig. 13 Distribuția câmpului de dispersie, variația transversală a acestuia și forțele de câmp în zona discontinuității

16. 5. PROCEDEE DE MAGNETIZARE

Magnetizarea piesei reprezintă o fază indispensabilă examinării cu pulberi magnetice și urmărește producerea unei inducții magnetice suficiente la suprafața piesei. Posibilitățile de magnetizare fiind foarte largi, se impune o selectare judicioasă în funcție de forma și dimensiunile piesei, precum și de tipul defecțiunilor urmărite.

În tabelul 4 sunt prezentate principalele 17 metode folosite în mod curent în tehnologia controlului. Procedeele de magnetizare se împart după modul de orientare a câmpului magnetic din piesa, în:

- 1) magnetizare polară sau longitudinală;
- 2) magnetizare circulară sau transversală;
- 3) magnetizare mixtă.

Tabelul 4

Procedeu de magnetizare	Variante de obținere a câmpului magnetic	Tip de curent	Simbol
Polară (Longitudinală)	Cu jug magnetic	Magnet permanent	PJMP
		Curent continuu	PJCC
		Curent alternativ	PJCA
		Impulsuri de curent	PJIC
	Cu bobină de magnetizare	Curent continuu	PBCC
		Curent alternativ	PBCA
Impulsuri de curent		PBIC	
Circulară (Transversală)	Electrozi de contact	Curent continuu	CECC
		Curent alternativ	CECA
		Impulsuri de curent	CEIC
	Conductor interior	Curent continuu	CCCC
		Curent alternativ	CCCA
		Impulsuri de curent	CCIC
	Prin inducție	Curent alternativ	CICA
		Impulsuri de curent	CIIC
	Mixtă	Jug magnetic și electrozi de contact	Curent continuu
Curent alternativ			MJEA

Aparatele utilizate la detectarea defectelor se numesc defectoscoape. Ca tipuri constructive se deosebesc defectoscoapele universale Axe cu facilități mai largi de magnetizare (magnetizare mixtă), reglare, de așezare a piesei și de demagnetizare etc. și defectoscoape specializate pentru un anumit tip de piese. La piesele mari se folosește magnetizarea parțială cu ajutorul defectoscoapelor portabile, în cel puțin două direcții pentru a detecta discontinuitățile, indiferent de orientarea lor.

16.5.1. Criterii de alegere a curentului de magnetizare

Tipurile de curent întrebuințate de diferitele procedee de magnetizare, schemele de redresare, valoarea și variația în timp sunt prezentate în tabelul 5.

Curentul continuu - C.c. - se alege atunci Când se dorește obținerea unui efect de adâncime. Pe baza unor experimentări sistematice efectuate asupra unei piese cu orificii cu diametrul de 2 mm, plasate la diferite adâncimi, [53], rezultă că prin utilizarea c.c., adâncimea de detectare a câmpului de dispersie este de 8 ori mai mare decât în cazul curentului alternativ. Inducția realizată este invers proporțională cu suprafața secțiunii transversale a piesei. Se pretează în bună măsură la controlul pieselor lungi și de mari dimensiuni.

Curentul alternativ. Dacă magnetizarea se produce într-un câmp variabil în material se induc curenți turbionari. Câmpul magnetic al acestora acționează contrar câmpului aplicat din exterior. Pe de altă parte curentul alternativ provoacă efectul pelicular de distribuție neomogenă a acestuia în secțiune. Inducția produsă la suprafață este invers proporțională cu perimetrul secțiunii piesei. Urmarea directă este obținerea unei magnetizării maxime la suprafața piesei. Adâncimea de pătrundere a (mm) este definită ca distanță de la suprafața conductorului la care amplitudinea câmpului electromagnetic scade la 1/e din valoarea înregistrată la suprafață. Ea depinde esențial de frecvență și se calculează cu relația:

$$a = \frac{503}{\sqrt{\mu_r \cdot f \cdot \lambda}} \quad (41)$$

unde f - este frecvența curentului (Hz), μ_r - permeabilitatea relativă a materialului (H/m) iar A - conductivitatea electrică (m/R mm²)

Folosirea c.a. este optimă când se dorește detectarea unor discontinuități foarte fine de la suprafața piesei, respectiv controlului de serie a unor piese mici și mijlocii. În schimb, nu este convenabil în cazul pieselor lungi.

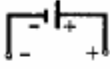
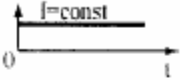
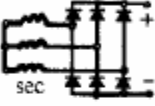
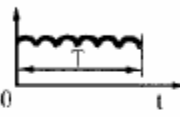
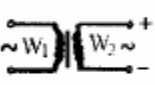
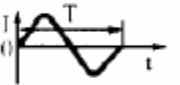
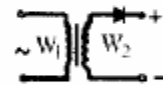
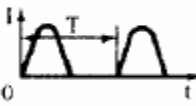

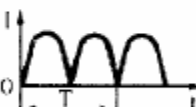

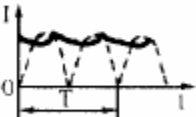
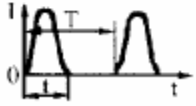
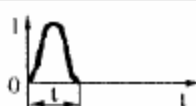
Alimentarea în curent alternativ prezintă și avantajul unei soluționări simple a demagnetizării, chiar în instalația de magnetizare, prin scăderea curentului la zero.

Curentul pulsat combină în fapt avantajele celor două cazuri anterioare. Experimentări comparative cu cele descrise au demonstrat că adâncimea de detectare poate ajunge de 7 ori mai mare decât în cazul alimentării în c.a. Coeficientul de umplere al curentului pulsat reprezintă un factor important în detecția defectelor, deoarece deplasarea pulberii în câmpul magnetic depinde atât de intensitatea câmpului, cât și de durată. În cazul în care curentul este întrerupt o anumită durată, valoarea efectivă a curentului este influențată, potrivit relației:

$$I_{ef} = \sqrt{\frac{1}{T} \int_0^T i^2 dt} \quad (42)$$

unde $i(t)$ - este valoarea instantanee a curentului în perioada T .

Tabelul 5

Felul curentului	Tipul redresării	Simbol	Valoare	Schemă de redresare	Variația curentului în timp
Curent continuu	Fără	c.c.	$I_{ef} = I_{max}$		
	Redresare în punte trifazăată	c.c.	$I_{2\ ef} = \frac{\sqrt{2}}{\sqrt{3}} I_c$ $I_c = 1,12 I_{2\ ef}$		
Curent alternativ	-	c.a.	$I_{ef} = 0,7 I_{max}$ $I_{max} = 1,41 I_{ef}$		
Curent redresat fără filtrare	Monofazăată simplă	M	$I_c = 0,45 I_{2\ ef}$		
	Monofazăată în punte	B	$I_{ef} = 0,7 I_{max}$ $I_c = 0,9 I_{2\ ef}$		
Curent redresat cu filtrare	Monofazăată în punte cu filtre	F	$I_c = f(I_{2\ ef}; C; L)$		
Impulsuri periodice de curent	-	P	I_{ef} I_{max}		
Impuls singular de curent	-	S	I_{ef} I_{max}		

16.5.2. Magnetizarea longitudinală sau polară

Magnetizarea longitudinală sau polară poate fi realizată, fie cu ajutorul unui magnet permanent sau a unui electromagnet reprezentat în figura 14, alimentat în c.c. sau c.a., care introduce fluxul în piesa de controlat prin capetele polare, fie cu ajutorul unei bobine, figura 15, în care se introduce piesa de controlat. În ambele cazuri, câmpul magnetic străbate piesa în lungime, fiind avantajos orientat pentru decelarea cu predilecție a discontinuităților orientate transversal în piesă.

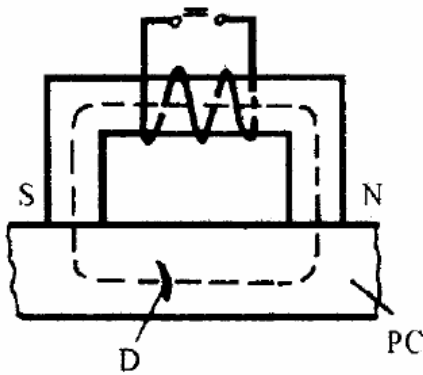


Fig. 14 Magnetizare polară cu jug
PC-piesă magnetic, PC-piesă de controlat; de controlat: D-defect

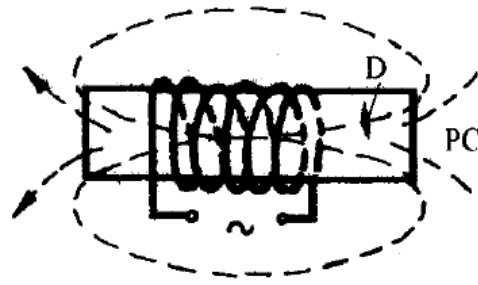


Fig. 15 Magnetizare polară cu bobină.
PC-piesă magnetic, PC-piesă de controlat; de controlat: D-defect

16.5.2.1. Magnetizare cu magnet permanent

Magnetizarea cu ajutorul magnetului permanent este frecvent utilizată în cazul pieselor mai mici sau în cazul construcțiilor realizate din semifabricate subțiri. Principalul dezavantaj al magnetizării cu magnet permanent constă în faptul că nivelul de magnetizare al piesei nu poate fi reglat și/sau controlat. De aceea, pentru verificarea câmpului magnetic se determină forța portantă sau forța necesară desprinderii unei piese feromagnetice de pol. Ea se calculează cu relația:

$$F = \frac{B^2 \cdot A}{2\mu_0} \quad (43)$$

unde B este componenta inducției magnetice în vecinătatea polului și dirijată perpendicular pe suprafața transversală a acestuia (T), A - secțiunea polului (m^2) μ_0 - permeabilitatea magnetică a vidului (H/m). Un magnet permanent corespunzător prezintă în zona polului o inducție $B = 1,5T$. La piese mici și subțiri, datorită suprafeței limitate de răspândire a fluxului magnetic se obține inducția minimă necesară efectuării controlului de $0,72T$. La piesele groase, inducția este scăzută, la suprafața acestora neîndeplinindu-se condiția menționată.

În absența unui criteriu riguros controlabil se consideră cu magnetizarea este corespunzătoare dacă forța portantă este suficientă pentru a ridica cu magnetul permanent o piesa feromagnetică în greutate de 18 kg.

16.5.2.2. Magnetizare cu jug electromagnetic

În cazul magnetizării polare cu jug electromagnetic portabil, adaptarea la suprafețele de contact aflate în planuri diferite se asigură prin folosirea polilor rabatabili. Fluxul magnetic se închide între doi poli ai electromagnetului, între capetele mobile ale jugului, iar zona controlată se consideră cuprinsă în cercul

înscris între poli. Datorită dispersiei, fluxul ϕ , care străbate piesa în secțiunea polară, este mai mic decât fluxul ϕ_m produs în jugul magnetic. Legătura dintre câmpul magnetic transversal H_t și fluxul Q este liniară, dependentă de: permeabilitatea piesei controlate, reluctanța jugului, magnetizația și rostul sau distanța dintre suprafețele în contact pol - piesă. Cu creșterea distanței polare și mai ales prin folosirea polilor rabatabili, ca urmare a măririi reluctanței jugului magnetic, are loc o scădere a fluxului magnetic și o micșorare a coeficientului de regresie a dreptei $H_t = f(Q)$, astfel încât magnetizația scade aproximativ proporțional cu distanța polară, iar fluxul magnetic într-o măsură sensibil mai mică. Având în vedere dependența liniară $H_t = f(\phi)$, pentru ridicarea caracteristicii (curba 1 din figura 16) sunt necesare două puncte. După [45] o pereche de valori H_t și Q se măsoară după așezarea defectoscopului pe o placă din oțel nealiat de 500 x 500 x 10 mm lăsând un spațiu între suprafețele de așezare a polilor și suprafața plăcii de 0,5 mm. Cea de-a doua pereche de valori se măsoară direct în aer, unde se poate considera $Q = 0$. Caracteristica defectoscoapelor portabile electromagnetice cu spații între jug și placă este indicată după [47] de curba 2 din în figura 16.

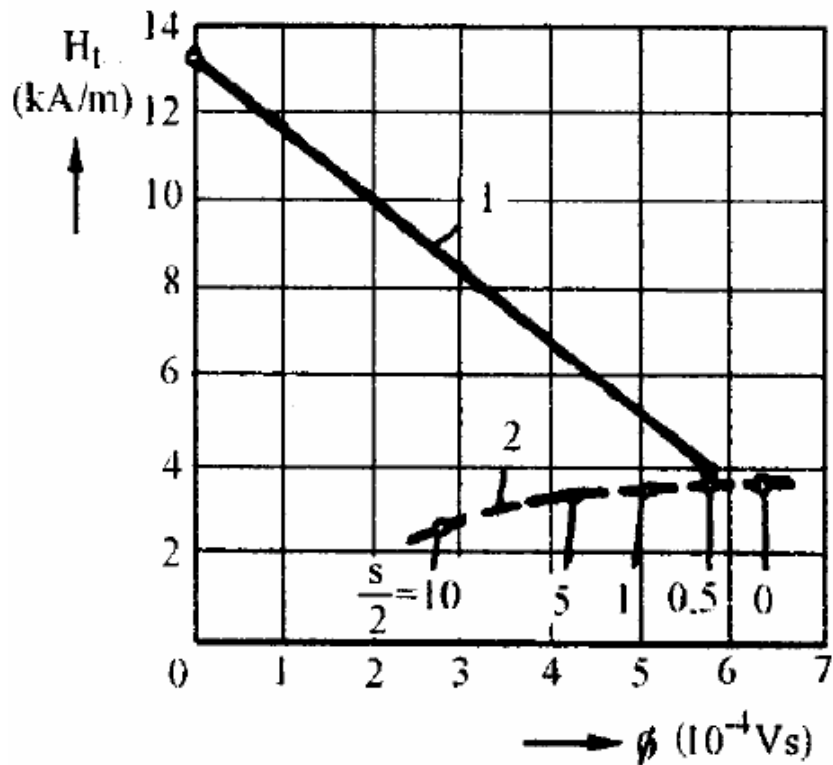


Fig. 16 Caracteristica $H_t = f(\phi)$ a defectoscopului cu jug electromagnetic

Jugul magnetic cu bobină de c.a. este alimentat direct de la rețea. Condiția de magnetizare minimă se exprimă de asemenea prin forța de ridicare a unei piese de 4,5 kg greutate. Forța de ridicare a electromagnetului alimentat în c.a. este sensibil inferioară forței portante a magnetului permanent, la aceeași valoare a inducției ($F_s = -F_e$). Cu toate acestea datorită efectului pelicular, inducția la suprafața piesei atinge valoarea de 0,72 T. Distanța dintre polii jugului electromagnetic (1) este impusă după anumite norme la 200 mm sau la 300 mm. Considerând că zona controlată reprezintă cercul înscris între poli, care de diametru 1, inducția la suprafața piesei va fi:

$$B_m = \frac{\Phi_m}{\pi l \cdot a} = \frac{A \cdot B_0}{\pi l \cdot a} \quad (44)$$

unde B_0 este inducția în jugul electromagnetic, care corespunde inducției de saturație a materialului jugului $B_0 = 2.2T$, A este suprafața polului, l - distanța dintre poli, iar a - adâncimea de pătrundere a câmpului magnetic.

Un alt reper de orientare în alegerea curentului de magnetizare îl reprezintă recomandarea unei valori de 200 - 300 A pentru 1 cm grosime a piesei. Dacă curentul de magnetizare se aplică direct pe suprafața piesei, el poate fi micșorat de 2 ÷ 3 ori.

În vederea obținerii unor efecte maxime la controlul îmbinărilor sudate unghiul format de linia polilor și axa longitudinală a îmbinării va fi pe cât posibil de 90° , nu mai mic însă de 50° , [47].

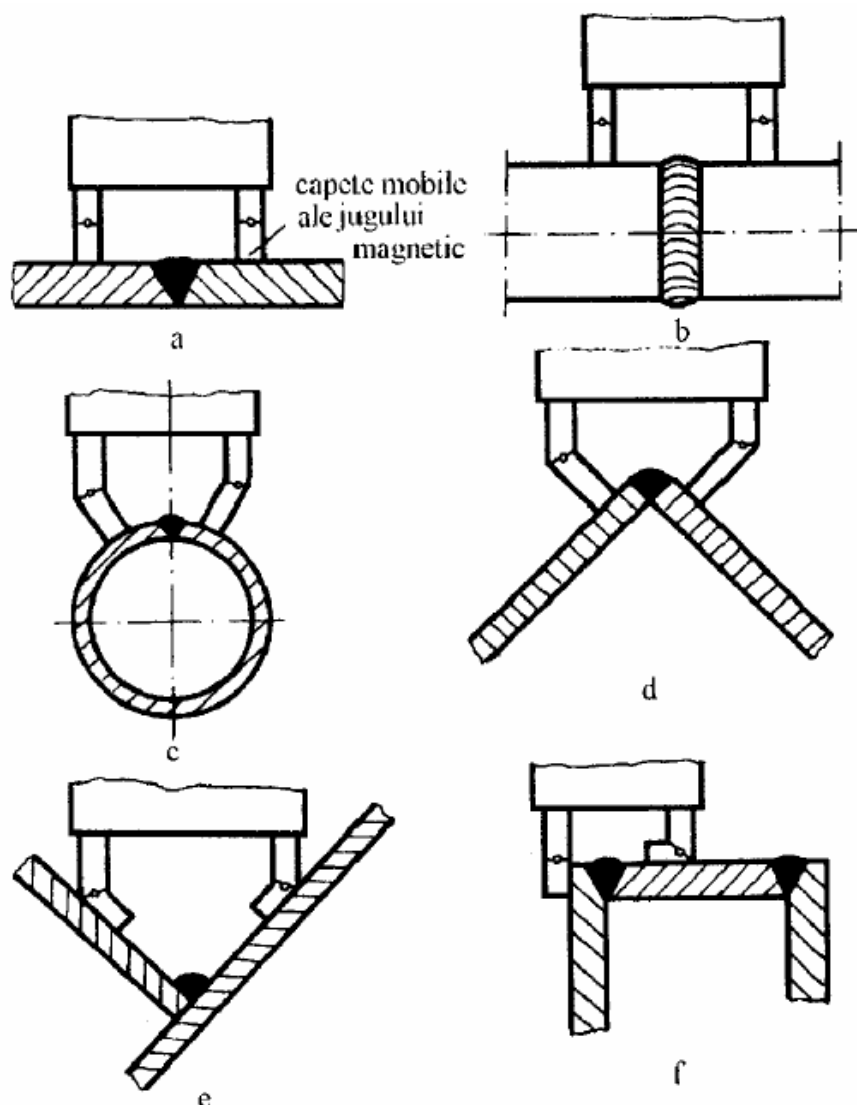


Fig. 17 Scheme de control a îmbinărilor sudate cu jug electromagnetic: a - îmbinare cap la cap; b - îmbinare cap la cap circulară; c - îmbinare cap la cap pe generatoare; d - îmbinare de colț în capete; e - îmbinare de cal f nepătrunsă în T; f - îmbinare de e of f pătrunsă la profile cheson

Pentru demagnetizarea piesei, între poli se interpune o bară din material feromagnetic moale, care are rolul de scurtcircuitare a câmpului.

Marele dezavantaj al electromagnetului portabil constă în imposibilitatea reglării câmpului funcție de dimensiunile piesei, grevând astfel și asupra sensibilității de examinare. Pentru magnetizarea longitudinală a pieselor lungi de revoluție s-au construit electromagneți inelari, care permit mișcarea relativă de rotație și de translație a piesei față de electromagnet.

Varietatea constructivă a defectoscoapelor portabile cu jug electromagnetic este deosebit de mare [8], [48], [60], [6]]. Majoritatea sunt construite cu distanța polară de $10 \div 170$ mm și asigură un câmp magnetic de $3 \div 9$ KA/m.

Unele aplicații ale examinării cu jug electromagnetic portabil, cu poli ficși, suplimentari de 45° , sau rabatabili, la construcții sudate, sunt prezentate în figura 17.

16.5.2.3. Magnetizare polară cu bobină

Magnetizarea cu ajutorul bobinei se pretează la controlul unor piese lungi și alimentării în curent alternativ. Având în vedere că în acest caz câmpul magnetic este deschis la capetele pieselor, magnetizația este deosebit de mare. Pentru evitarea acestui neajuns, în cursul controlului, fie piesa, fie bobina se deplasează de-a lungul axei proprii. Dezavantajul bobinei constă în obturarea suprafeței controlate și plasarea mai dificilă pe piesă. În cazul unor piese de forme mai complexe, în locul bobinei se pot folosi cabluri flexibile străbătute de curenți mari, care se înfășoară în jurul piesei, în zona de examinare.

Câmpul magnetic al bobinei străbătute de un curent alternativ

Dacă pentru magnetizare se folosește o bobină parcursă de un curent alternativ, atunci câmpul H și inducția magnetică B , variază periodic cu aceeași frecvență ca și tensiunea u și intensitatea curentului I . Potrivit legii lui Faraday, într-un conductor circular străbătut de un flux magnetic, prin variația în timp a fluxului, se induce o tensiune numită tensiune electromotoare indusă e . Pornind de la tensiunea electromotoare, ca integrală pe un contur închis se obține:

$$e = \oint_{\Gamma} \vec{E} \cdot d\vec{l} = - \frac{d}{dt} \iint_{\Sigma} \vec{B} \cdot d\vec{s} = - \frac{d\Phi}{dt} = - \frac{d(n\phi)}{dt} = -n \frac{d\phi}{dt} \quad (45)$$

unde: ϕ este fluxul total al bobinei, prin suprafața E de contur T , ϕ este fluxul elementar al unei spire a bobinei, iar n este numărul de spire al bobinei. Deci, tensiunea electromotoare indusă depinde de numărul spirelor bobinei și de viteza de variație a fluxului prin bobină. Semnul minus indică faptul că tensiunea indusă e , este invers orientată față de tensiunea u , sau cu alte cuvinte fluxul indus se opune variației fluxului inductor și ca urmare:

$$u + e = 0 \quad (46)$$

Fluxul variabil poate fi produs pe mai multe căi:

- prin mișcarea relativă a unui miez magnetic față de spira străbătută de curent;

- prin variația curentului dintr-un circuit vecin, inductor;
- prin variația curentului electric din însăși spira indusă, care joacă rolul de inductor. În ipoteza unui circuit magnetic liniar, cu un flux magnetic omogen și uniform printr-o bobină, tensiunea electromotoare a circuitului se calculează astfel:

$$e = -n \frac{d\Phi}{dt} = -\frac{d}{dt}(BS) = -n \frac{d}{dt}(\mu HS) = -n\mu S \frac{dH}{dt} = -n\mu_0\mu_r S \frac{d}{dt}\left(\frac{nI}{l}\right) = -\frac{n^2\mu_0\mu_r S}{l} \cdot \frac{dI}{dt} \quad (47)$$

Inductivitatea proprie a unui circuit se definește ca fiind raportul pozitiv dintre fluxul total Φ , prin circuit, și curentul i al aceluși circuit.

$$L = \frac{\Phi}{I} > 0 \quad (48)$$

Astfel, tensiunea electromotoare se mai poate exprima:

$$e = -\frac{d\Phi}{dt} = -\frac{d}{dt}(LI) = -L \frac{dI}{dt} \quad (49)$$

Identificând relațiile (47) și (49), se obține relația de calcul a inductivității unei bobine:

$$L = \frac{n^2\mu_0\mu_r S}{l} \quad (50)$$

Având în vedere tensiunea electromotoare, cât și căderea de tensiune pe rezistența înfășurării, într-o bobină are loc o cădere de tensiune rezistivă și o cădere de tensiune inductivă. Deci, căderea de tensiune într-o bobină este:

$$u = I \cdot R + L \frac{dI}{dt} \quad (51)$$

Tensiunea alternativă este descrisă de relația sinusoidală:

$$u = u_0 \cdot \sin \varphi \quad (52)$$

în care e este unghiul de fază:

$$\varphi = \omega \cdot t = 2\pi f \cdot t \quad (53)$$

Autoinducția provoacă defazarea în urma a curentului cu un unghi α , astfel încât:

$$I = I_0 \cdot \sin(\varphi - \alpha) \quad (54)$$

Trecându-se la reprezentarea complexă a mărimilor respective, se poate scrie:

$$\begin{aligned} u &= |u| \cdot e^{j\omega t} = u\sqrt{2} \cdot e^{j\omega t} \\ I &= |I| \cdot e^{j(\omega t - \alpha)} = I\sqrt{2} \cdot e^{j(\omega t - \alpha)} \end{aligned} \quad (55)$$

unde: U, respectiv I, sunt valori efective; UU, respectiv IU, sunt valori maxime.

Prin introducerea expresiilor (55) în relația (51) se obține relația:

$$\frac{U}{I} e^{j\alpha} = R + j\omega L = Z \quad (56)$$

unde Z reprezintă impedanța complexă a bobinei:

$$Z = |Z| \cdot e^{j\alpha}; \quad |Z| = \sqrt{R^2 + \omega^2 L^2} \quad (57)$$

În planul impedanței, se poate separa rezistența ohmică R ca parte reală, de rezistența inductivă ωL , ca parte imaginară. Diferența de fază dintre curent și tensiune se calculează din relația:

$$\operatorname{tg}\alpha = \frac{\omega L}{R} \quad (58)$$

și este cu atât mai mare cu cât rezistența inductivă este mai mare în comparație cu rezistența ohmică. Dacă $R = 0$, $\alpha = 90^\circ$, ceea ce înseamnă că defazajul maxim de $\pi/2$ între tensiune și curent se obține într-un circuit pur inductiv.

Considerând mărimile de câmp magnetic \vec{H} și \vec{B} în interiorul miezului magnetic al unei bobine parcurse de curent alternativ, are loc o variație în același ritm a câmpului magnetic, astfel încât intensitatea câmpului magnetic se poate exprima prin mărime complexă:

$$\vec{H} = |\vec{H}| \cdot e^{j\omega t} \quad (59)$$

Inducția magnetică alternativă are o defazare în raport cu câmpul magnetic, astfel încât prin similitudine se poate scrie:

$$\vec{B} = |\vec{B}| \cdot e^{j(\omega t - \delta)} \quad (60)$$

unde: δ este diferența de fază dintre \vec{B} și \vec{H} . Astfel, rezultă că permeabilitatea magnetică în curent alternativ este și ea o mărime complexă:

$$\mu = \frac{\vec{B}}{\vec{H}} = \frac{|\vec{B}| \cdot e^{j(\omega t - \delta)}}{|\vec{H}| \cdot e^{j\omega t}} = \frac{B\sqrt{2}}{H\sqrt{2}} e^{-j\delta} = \frac{B}{H} e^{-j\delta} = |\mu| \cdot e^{-j\delta} = \mu \sqrt{2} e^{-j\delta} \quad (61)$$

micșorată însă în comparație cu cea de la magnetizarea în curent continuu. Această comportare își găsește explicația prin faptul că în curent alternativ, pe baza efectului pelicular, materialul se comportă ca și când numai stratul exterior ar fi feromagnetic.

Dacă se compară caracteristicile magnetice în mediul discontinuității (mediul 1) și în mediul piesei feromagnetice (mediul 2) se observă următoarele. În mediul 1 ($p = 0$; $\mu_r = 1$), intensitatea câmpului magnetic este $|H_0|$, iar în mediul 2 de rezistivitate p și permeabilitate μ_r , intensitatea câmpului este $|H|$ și variază după relația

$$|\mathbf{H}| = |\mathbf{H}_0| \cdot e^{-x/a} \quad (62)$$

Densitatea de curent $|\mathbf{J}|$ se poate exprima funcție de intensitatea de câmp și conductivitatea electrică, cu relația:

$$|\mathbf{J}| = \frac{\mathbf{H}_0}{\lambda} \cdot e^{-x/a} \quad (63)$$

Permeabilitatea în curent alternativ se calculează din cele două componente ale permeabilității inductive ca parte imaginară și ale permeabilității rezistive ca parte reală, pe baza relației de compunere:

$$\mu = \sqrt{\mu_L^2 + \mu_R^2} \quad (64)$$

și este o mărime fizică fundamentală.

- Curentul de magnetizare

Magnetizația din piesă depinde de un număr mare de factori: materialul, forma și poziția piesei în interiorul bobinei, geometria acesteia, curentul de magnetizare.

Intr-o ipoteză simplificatoare câmpul de magnetizare se poate exprima prin câmpul produs de bobină în absența piesei de controlat.

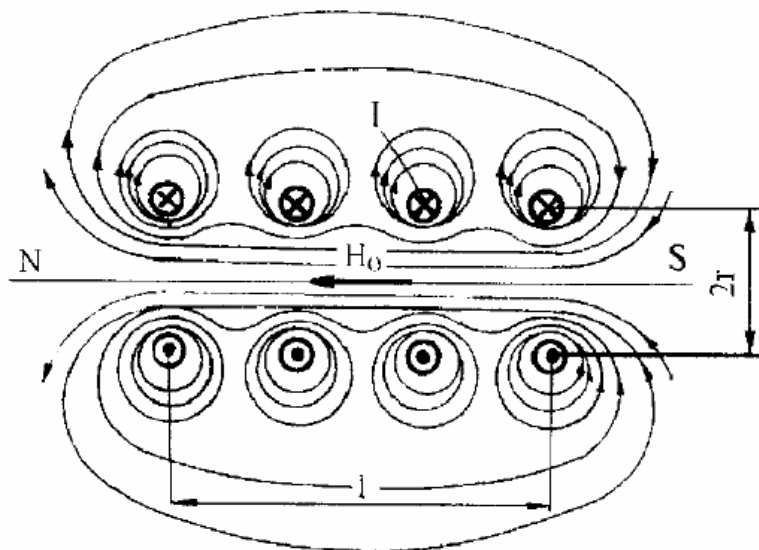


Fig. 18 Linii de câmp magnetic în jurul unei bobine polare străbătute de curentul I

Magnetizarea longitudinală utilizează bobine a căror caracteristică lungime raportată la diametru (figura 18) este cuprinsă în intervalul $5 < l/2r < 20$.

Intensitatea câmpului magnetic în interiorul bobinei circulare H_0 , depinde de solenație sau numărul de amperi - spire nI , raza bobinei, r și de poziția punctului considerat în raport cu axa bobinei. În axa bobinei câmpul magnetic este:

$$H_0 = \frac{nI}{\sqrt{4r^2 + l^2}} \quad (65)$$

Dacă bobina este lungă $l \gg 2r$, se obține:

$$H_0 = \frac{nI}{l} \quad (66)$$

iar dacă bobina este plată:

$$H_0 = \frac{nI}{l} \quad (66)$$

În ipoteza în care diametrul piesei cilindrice de controlat D este mic față de raza bobinei:

$$H_0 = \frac{k nI}{D} \quad (68)$$

unde $k \approx 0,24$, este o constantă. Rezultă că inducția în piesă va fi:

$$B = \frac{5 \frac{l}{2r} \cdot \mu_0 \cdot knI}{D} \quad (69)$$

de unde impunând $B = 0,72T$, se obține în cazul alimentării în curent continuu:

$$nI = \frac{32000}{L/D} \quad (\text{A.s}) \quad (70)$$

iar pentru o inducție $B = 1,08T$, se obține:

$$nI = \frac{45000}{L/D} \quad (\text{A.s}) \quad (71)$$

L - fiind lungimea piesei, D - diametrul acesteia.

Relațiile (70) și (71) se modifică atunci când alimentarea se face în curent alternativ, astfel:

$$nI_{ef} = \frac{22000}{L/D} \quad (\text{A.s}) \quad (72)$$

I_{ef} - reprezentând valoarea efectivă a c.a. sau valoarea medie a unui curent redresat monofazat în punte, respectiv:

$$nI_c = \frac{11000}{L/D} \quad (\text{A.s}) \quad (73)$$

I_c - reprezentând valoarea medie a c.a. redresat monofazat simplu. Relațiile (70)-(73) dau valori excesive în cazul în care raportul L/D este mic și anume dacă $L/D < 5$. Pentru a micșora curentul în aceste situații se folosesc bare polare de prelungire a lungimii pieselor.

16.5.2.4. Magnetizare cu cablu flexibil înfășurat

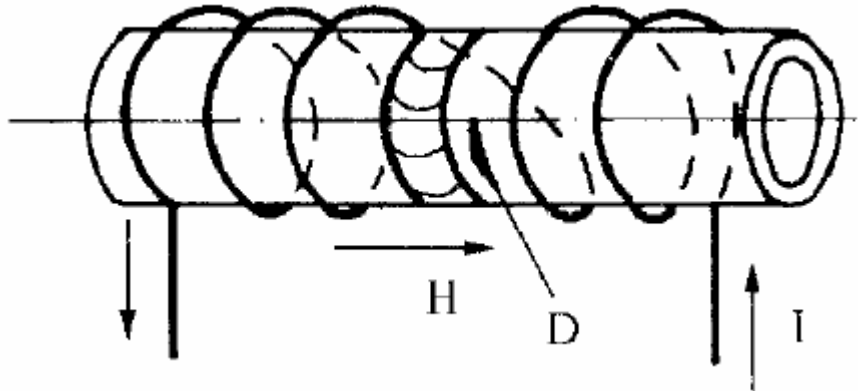


Fig. 19 Magnetizarea cu cablu înfășurat pe piesă

Această metodă folosește un cablu parcurs de c.c. sau c.a., care este înfășurat în jurul piesei (figura 19) și este foarte uzitată în cazul pieselor lungi sau de diametre mari, precum și în cazul unor piese de formă complexă. Fluxul magnetic și inductivitatea este influențată pe de o parte de material prin permeabilitatea relativă a acestuia și de distanța dintre două spire vecine.

Expresia componentei tangențiale a câmpului magnetic format între doi conductori vecini, parcurși de curentul I , este:

$$H_t = \frac{I}{\pi \left(s + \frac{t^2}{4s} \right)} \quad (74)$$

unde s - reprezintă grosimea în mm, a piesei, respectiv a țevii bobinate cu cablul flexibil, iar t - distanța în mm dintre două ramuri vecine ale conductorului. H , fiind dirijat pe direcția generatoarei piesei, pune în evidență cu predilecție discontinuitățile orientate în planul transversal al piesei. Introducând în expresia (74) valoarea minimă a câmpului de magnetizare de 2400 A/m, se obține în conformitate și cu prevederile unor standarde, curentul de magnetizare necesar de tipul c.c. în (A):

$$I = 7,5 \left(s + \frac{t^2}{4s} \right) \quad (75)$$

Dacă alimentarea cablului se realizează în c.a., grosimea s se înlocuiește cu adâncimea de pătrundere. Relația acoperitoare pentru calculul valorii de vârf a curentului de această dată este:

$$I = 7,5 \left(10 + \frac{t^2}{40} \right) \quad (76)$$

iar după standardul [44], relația folosită este de forma:

$$nI = \frac{35000}{L/D + 2} \quad (\text{A.s}) \quad (77)$$

n - fiind numărul de înfășurări, L - lungimea zonei (piesei) înfășurate, iar D - diametrul de înfășurare.

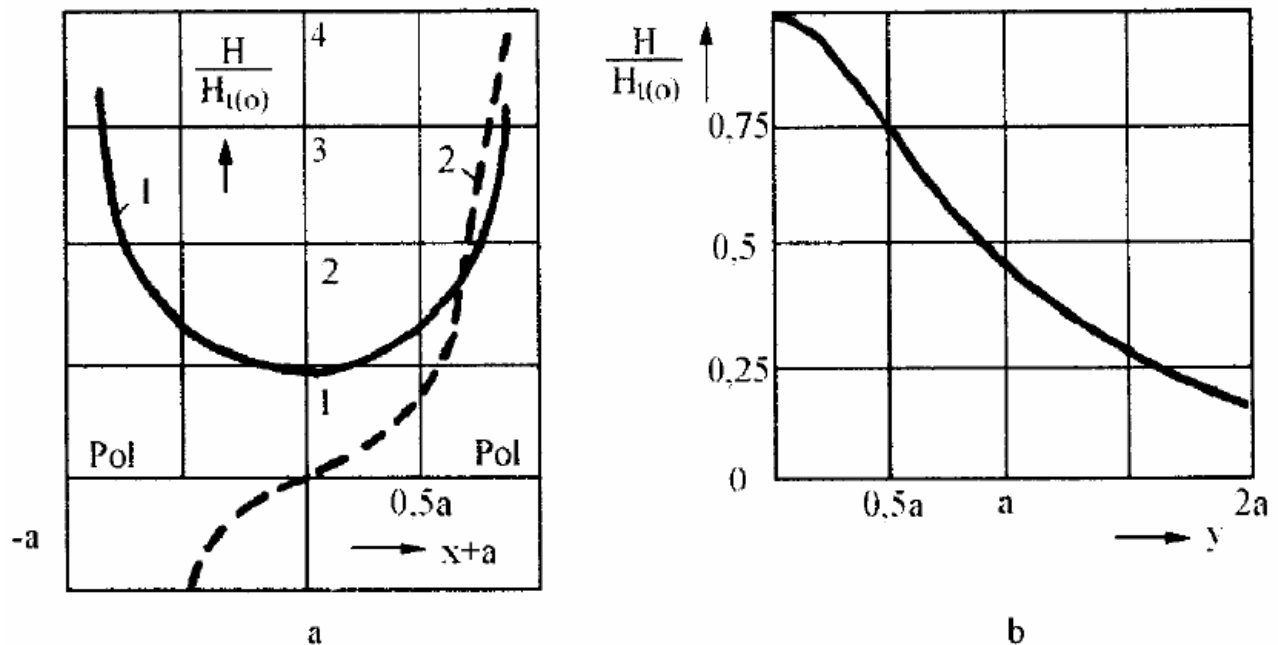


Fig. 20 Distribuția câmpului magnetic in zona polară: a - în direcție longitudinală: b - în direcție transversală

16.5.2.5. Distribuția câmpului magnetic într-o placă

Controlul pieselor sub formă de placă, utilizând magnetizarea polară intervine frecvent. Câmpul magnetic din placă produs la magnetizarea longitudinală comportă variații semnificative. Astfel pe direcția liniei polare, câmpul magnetic transversal de la suprafață H_s , variază exponențial având valoarea minimă H_m la mijlocul distanței dintre poli. Valori apropiate de H_s se mențin simetric pe un interval de aproximativ jumătate din distanța polară. Spre capete unde se realizează contactul jugului

magnetic cu placa, intensitatea câmpului crește simetric spre valoarea inducției din jug, așa cum indică curba 1 din figura 20.

Componenta normală a câmpului B., indică o variație cu inflexiune la mijlocul distanței polare, unde $B_n=0$. Spre poli creșterile sunt foarte mari (curba 2 din figura 20).

În direcție transversală (y), câmpul magnetic scade, ajungând la o distanță de o semideschidere polară aproximativ jumătate din valoarea corespunzătoare lui $y = 0$.

16.5.2.6. Adâncimea de pătrundere a câmpului magnetic

Magnetizarea în curent alternativ cu frecvență ridicată oferă avantajul urmăririi riguroase a profilului piesei de controlat, datorită efectului pelicular intens. De aceea, la controlul pieselor cu profil mai complicat se va prefera alimentarea în curent alternativ.

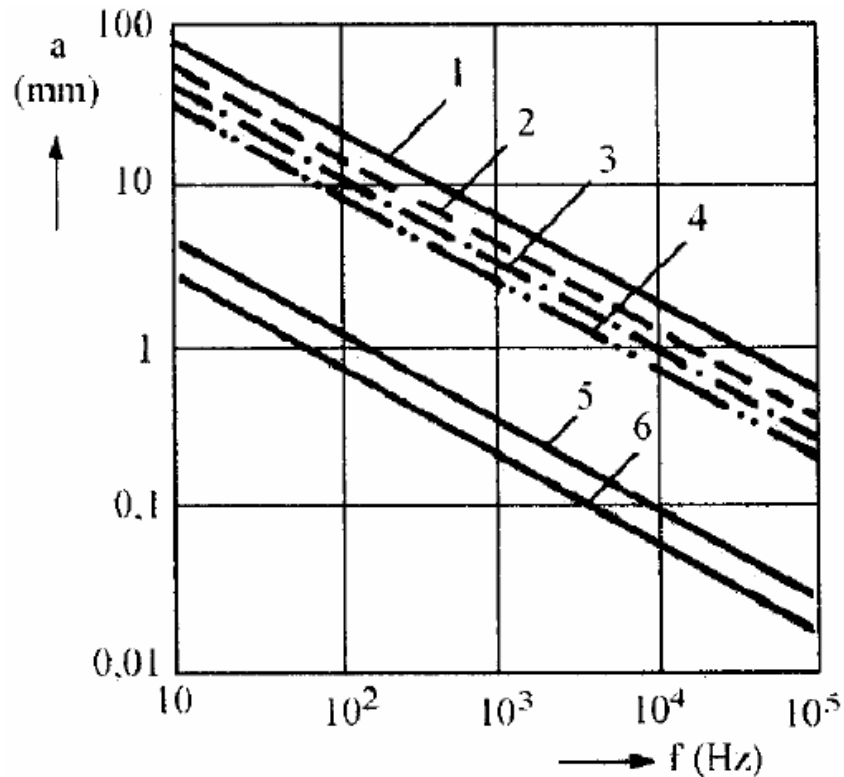


Fig. 21 Adâncimea de pătrundere a câmpului magnetic la diferite materiale: 1 - Fier ($\mu_r = 2$, $A = 2$ m/D mm); 2 - Alamă ($A = 12$ m/D mm); 3 - A lamă ($A = 35$ m/D mm); 4 - Cupru ($X = 15$ m/Q mm³); 5 - Fier ($\rho = 200$, $L = 2$ mIR mm²); 6 - Fier ($\mu_r = 2000$, $L = 2$ m/D mm);

Adâncimea de pătrundere a câmpului magnetic reprezintă o caracteristică importantă a metodei, în relație directă cu criteriile de alegere și de comparație cu alte metode de control. Ea se calculează cu ajutorul relației (41) și așa cum rezultă, este hotărâtor influențată pe lângă caracteristicile electromagnetice - permeabilitate și conductivitate - în special de frecvență. În afara parametrilor menționați, adâncimea de pătrundere depinde în mare măsură de forma piesei și de rugozitatea suprafeței de contact.

Dependența de frecvență a adâncimii de pătrundere a câmpului magnetic reprezintă regresii liniare (figura 21) având parametri $A = \text{const.}$, ceea ce corespunde unor materiale diferite și $\mu_r = \text{const.}$, ceea ce corespunde unor grade diferite de magnetizare.

Grosimea stratului pelicular străbătut de curent la oțeluri carbon este dată de relația:

$$a = 20 / \sqrt{f} \quad (78)$$

Aceasta explică tendința actuală de micșorare a frecvenței defectoscoapelor de la 50 Hz la 16.67 Hz. precum și de orientare chiar spre frecvențe de 3 Hz.

16.5.2.7. Magnetizația remanentă

În general oțelurile cu un conținut de carbon $C > 0,2\%$ pot fi controlate prin magnetizație proprie remanentă după o magnetizare prealabilă corespunzătoare.

Magnetizația remanentă folosește inducția reziduală dintr-o piesă magnetizată În prealabil într-un câmp magnetic continuu. Magnetizația în curent alternativ nu poate fi folosită, deoarece alternativ cu magnetizarea se produce demagnetizarea piesei. În această situație pulberea magnetică se poate aplica independent de operația de magnetizare.

Condițiile în care magnetizația remanentă poate fi folosită direct pentru control țin de material și de caracteristicile de magnetizare. Astfel se consideră suficient ca:

- inducția remanentă B_r , 2 0,72T, după unele surse B_r , 2 0,5T;
- bucla de histerezis să fie largă, extinsă aproape egal ca și câmp magnetic și ca și inducție;
- câmpul coercitiv să fie H_c 2 1000 A/m.

Datorită urmărilor nocive provocate de magnetizația remanentă unor materiale, imediat după efectuarea controlului se impune demagnetizarea.

16.5.3. Magnetizarea circulară sau transversală

Magnetizarea circulară, transversală sau prin trecerea curentului, poate fi realizată, fie trecând curentul direct prin piesă, figura 22,a, prin intermediul unor electrozi de contact în cazul pieselor de secțiune plină, fie trecând un conductor străbătut de curent prin piesă, figura 22,b, respectiv prin înfășurarea piesei cu un conductor în cazul pieselor tubulare.

Liniile de flux create în jurul conductorului, într-un plan perpendicular, înconjoară conductorul de excitație, magnetizarea obținută este circulară. Ea se pretează la detectarea cu predilecție a discontinuităților D orientate longitudinal în piesa de controlat PC.

Magnetizarea circulară poate fi realizată cu rezultate superioare folosind alimentarea cu curent pulsant, tabelul 5, fie cu ajutorul condensatoarelor, sau cu transformatoare speciale. Avantajul alimentării cu impulsuri de curent constă în aceea că, datorită reducerii duratei de trecere a curentului, cantitatea de căldură degajată se micșorează, ceea ce permite ridicarea curentului de magnetizare și prin aceasta obținerea unei adâncimi de pătrundere și de detectare superioare. Această metodă se aplică cu bune rezultate la piese cu magnetism remanent ridicat.

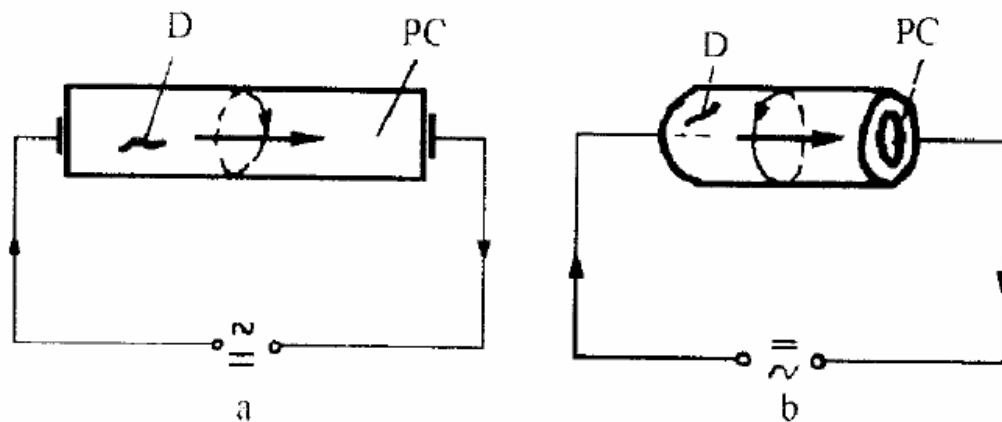


Fig. 22 Magnetizarea transversală: a - cu electrozi de contact; b - cu un conductor interior parcurs de curent

16.5.3.1. Magnetizarea cu electrozi de contact

Curentul este furnizat de la o sursă externă cum ar fi înfășurarea de joasă tensiune a unui transformator. Câmpul magnetic circular este caracterizat prin inducția în material. Densitatea de curent variază punctual în funcție de caracteristicile de material, de forma piesei și de poziția electrozilor de contact pe piesă.

Relațiile dintre curentul de magnetizare sau curentul total din piesă și inducția magnetică creată la suprafața piesei sunt în general simple.

În cazul unei bare cilindrice străbătute în lung de curentul I se induce un câmp magnetic

$$H = \frac{I}{\pi D} \quad (79)$$

D - fiind diametrul barei (m). Cum $B = \mu_0 \mu_r H$, se obține

$$B = \frac{\mu_0 \mu_r I}{\pi D} \quad (80)$$

Punând pe de o parte condiția ca inducția magnetică să fie cel puțin 0,72T și luând în calcul $\mu_0 = 4 \times 10^{-7}$ H/m și $\mu_r = 2240$ pentru oțeluri, se ajunge la relația simplificată în care intensitatea necesară (A):

$$I = 7,5 \cdot 10^3 D \quad (81)$$

În cazul unei piese paralelipipedice intensitatea curentului de trecere exprimată în (A) este:

$$I = 2,4 \cdot 10^3 p \quad (82)$$

unde p este perimetrul secțiunii transversale (m).

Curentul necesar se poate determina mai exact cunoscând curba de primă magnetizare a materialului (vezi figurile 2 și 3). În acest scop pe diagramă se intersectează orizontala $B = 0,72T$ cu curba de primă magnetizare și se obține valoarea câmpului H . Aplicând relația (79) se calculează curentul.

După [44] în cazul utilizării unor curenți redresați pentru evidențierea strictă a discontinuităților superficiale, relațiile recomandate pentru calculul curentului sunt:

$$\begin{aligned}
 I &= (28 \div 36) D && \text{în cazul } D \leq 125 \text{ mm} \\
 I &= (20 \div 28) D && \text{în cazul } 125 < D \leq 375 \text{ mm} \\
 I &= (4 \div 12) D && \text{în cazul } D > 375 \text{ mm}
 \end{aligned}
 \tag{83}$$

16.5.3.2. Magnetizare cu bară sau cablu parcurse de curent

Procedeele de magnetizare cu ajutorul unei bare parcurse de curent sau cu ajutorul unui cablu, introduse în interiorul piesei sau locului de examinare - orificiu, canal - etc. își găsește aplicații la piese tubulare și alezaje cilindrice. Se pretează la decelarea discontinuităților orientate în lungul conductorului sau având o înclinație de cel mult $\pm 45^\circ$ față de direcția conductorului. Magnetizarea se realizează mai ales în c.c., permițând o repartizare mai uniformă a câmpului în piesă.

Tabelul 6

Diametrul conductorului (mm)	Grosimea piesei (mm)	Valoarea I(A) recomandată
12,5	3,125	500
	6,250	750
	9,375	1000
	12,500	1250
25,0	3,125	750
	6,250	1000
	9,375	1250
	12,500	1500
37,5	3,125	1000
	6,250	1250
	9,375	1500
	12,500	1750
50,0	3,125	1250
	6,250	1500
	9,375	1750
	12,500	2000

În jurul unui conductor liniar infinit de lung străbătut de curent, potrivit legii Biot - Savart - Laplace, intensitatea câmpului magnetic este

$$H = \frac{I}{2\pi R}
 \tag{84}$$

unde R este distanța, în (m), de la conductor la suprafața piesei. Punând condiția de minimă magnetizație necesară $H \geq 2400 \text{ A/m}$, rezultă că intensitatea curentului de magnetizare (A)

$$I = 15 R$$

(85)

Pentru a mări intensitatea câmpului magnetic se recurge la următoarele variante:

a. trecerea de mai multe ori a cablului în zona de examinare (figura 23,a);

b. apropierea cablului sau a barei de suprafață - plasare excentrică - respectiv așezarea pe suprafața piesei (figura 23,b).

În varianta a, se obține un efect de bobină, curentul necesar este obținut prin raportarea lui I din relația (85) la numărul de înfășurări n:

$$I_n = \frac{I}{n} \quad (86)$$

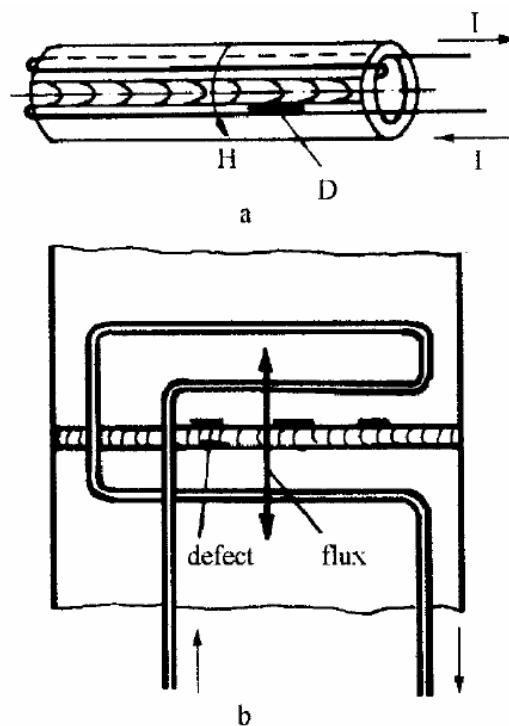


Fig. 23 Magnetizare cu cablu flexibil parcurs de curent:

a - înfășurat pentru obținerea unei magnetizări circulare într-o piesă cilindrică în zona îmbinării sudate;

b - plasat pe suprafața unei piese pentru obținerea unei magnetizări transversale la îmbinarea sudată

După [44] curentul necesar este funcție de diametrul conductorului și de grosimea piesei, respectiv a peretelui acesteia, conform datelor cuprinse în tabelul 6. Este important de știut că pentru direcționarea fluxului magnetic modul de așezare a cablului și sensul parcursului de curent joacă un rol esențial. După cum rezultă din figura 23, cablul se așează astfel încât de o parte și alta a zonei de examinare să se asigure același sens al curentului. În varianta b, dacă conductorul este lipit de piesă, componenta utilă a câmpului transversal este nulă, întrucât liniile de câmp sunt perpendiculare la suprafața piesei. Urmare a influenței materialului, în baza legii refracției liniile de câmp tind să se alinieze cu suprafața. S-a stabilit că o intensitate de curent:

este suficientă pentru a produce până la distanță de cea $2R$ sub conductor un câmp magnetic tangențial H , > 2400 A/m. Se precizează însă că acest câmp nu trebuie să fie perturbat de porțiunea de întoarcere a curentului prin cablu provenit prin modul de înfășurare. În vederea evitării unui astfel de efect, distanța dintre ramuri sau la sursă trebuie să fie de cel puțin $20R$.

Metoda prezintă inconvenientul unei încălziri uneori excesive a piesei examinate.

16.5.3.3. Magnetizare prin injecție de curent cu electrozi mobili

Tehnica magnetizării prin injecție de curent folosind electrozi mobili este o variantă a magnetizării transversale cu electrozi de contact. Curentul de magnetizare poate fi c.c., c.a. sau impulsuri redresate și este introdus de la o sursă externă în zona de examinare prin intermediul a doi electrozi manuali (figura 24), aplicați de către operator. Se asigură astfel o versatilitate favorabilă unui control minuțios, deoarece linia ce unește electrozii poate fi modificată favorizându-se detectarea discontinuităților direcționate aleator. De regulă, dată fiind forma circulară sau eliptică a zonei de control cuprinse între cei doi electrozi, este suficientă aplicarea câmpului în două direcții perpendiculare.

Curentul se cuplează numai după realizarea unui contact corespunzător pe suprafața piesei și aplicarea unei presiuni manuale. Presiunea se menține pe toată durata examinării până la deconectarea sursei. În caz contrar se poate forma un arc electric, care produce de regulă arsuri locale pe suprafața piesei.

Metoda relevă discontinuități orientate perpendicular pe câmpul magnetic, discontinuități direcționate în lungul liniei electrozilor, respectiv oblice într-un interval de $\pm 45^\circ$ față de această direcție.

Distanța dintre electrozi se ia în medie de 250 mm, frecvent însă intervalul de distanțe este cuprins în limitele 100 ÷ 400 mm.

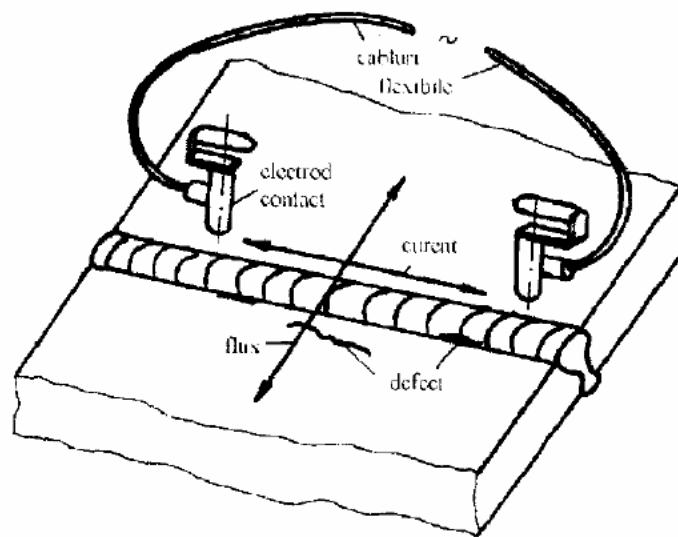


Fig.24 Magnetizarea prin injecție de curent cu electrozi de contact mobile

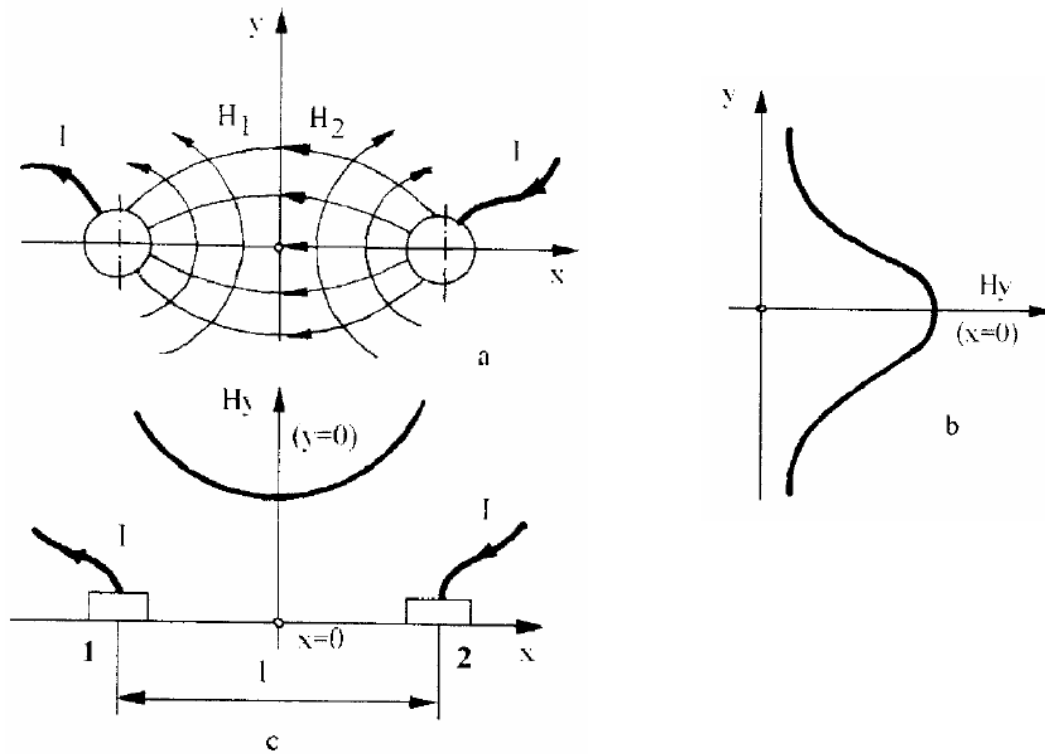


Fig. 25 Câmpul magnetic produs între doi electrozi mobili prin injecție de curent

Câmpul magnetic într-un punct oarecare din planul piesei este format din două componente. O componentă H_1 produsă de conductorul ce realizează contactul în punctul 1 și o componentă H_2 produsă de conductorul care realizează contactul în punctul 2. În ipoteza că cele două puncte sunt străbătute perpendicular pe suprafața piesei de câte un conductor infinit lung, cele două componente proiectate pe direcția y din figura 25, vor fi:

$$H_{1y} = \frac{I}{2\pi r_1} \cos \theta_1 \tag{88}$$

$$H_{2y} = \frac{I}{2\pi r_2} \cos \theta_2$$

unde r_1 și r_2 reprezintă razele vectoriale ale punctului considerat în care se calculează valoarea câmpului magnetic în raport cu cele două puncte de contact 1 și 2, iar θ_1 și θ_2 unghiurile formate de aceste raze vectoriale cu direcția 1 - 2. Rezultă:

$$H_y = H_{1y} + H_{2y} = \frac{I}{2\pi} \left(\frac{\cos \theta_1}{r_1} + \frac{\cos \theta_2}{r_2} \right) \tag{89}$$

Funcția (89) este reprezentată grafic în figura 25. În cazul în care punctul considerat se află pe cercul înscris între punctele 1 și 2 situate la distanța l , vom avea:

$$\frac{\cos \theta_1}{r_1} = \frac{\cos \theta_2}{r_2} = \frac{1}{l} \quad (90)$$

Relația (89) devine astfel:

$$H_y = \frac{I}{\pi l} \quad (91)$$

și cum H_y trebuie să fie cel puțin de 2400 A/m, rezultă:

$$I/l = 7500 \quad (\text{A/m}) \quad (92)$$

În ipoteza că forma suprafeței în care se manifestă câmpul magnetic nu este un cerc ci o elipsă cu axa mare egală cu l , se obține:

$$I/l = 4700 \quad (\text{A/m}) \quad (93)$$

Având în vedere abundența de informații în legătură cu magnetizarea prin injecție de curent folosind electrozi mobili, se prezintă în continuare și alte recomandări cu privire la alegerea curentului de magnetizare. Astfel, pentru discontinuități deschise la suprafață $l = 40 \div 55$ A pentru fiecare cm distanță între electrozi, iar pentru discontinuități subsuperficiale se prescrie $I = 60 \div 80$ A pentru fiecare cm distanță între electrozi la magnetizarea c.c., respectiv $50 \div 70$ A pentru fiecare centimetru distanță între electrozi în cazul alimentării în curent redresat monofazat în punte. După standardul [44], $I = 3,6 \div 4,4$, A pentru fiecare mm distanță între electrozi în cazul pieselor având grosimea sub 19 mm, respectiv $I = 4,0 \div 5,0$ A pentru fiecare mm distanță între electrozi în cazul pieselor având grosimea peste 19 mm.

Dacă curentul folosit este alternativ, I reprezintă valoarea efectivă.

16.5.3.4. Distribuția câmpului magnetic în piese

Câmpul magnetic obținut prin trecerea curentului variază în limite largi fiind influențat de felul materialului, forma piesei, intensitatea câmpului și forma curentului de magnetizare. Ca o particularitate, se remarcă faptul că în toate situațiile în care se practică exclusiv injecția de curent, valoarea maximă se situează la suprafața exterioară a piesei.

În figura 26 se arată variația lui H în secțiunea unei piese cilindrice pline parcurse de c.c. la o piesă neferomagnetică (linie întreruptă), respectiv la o piesă feromagnetică (linie plină). Variațiile sunt liniare pe secțiune, cuprinse între valoarea 0 în axa piesei și H' , respectiv $\mu H'$ la suprafață. În exteriorul piesei câmpul magnetic scade semnificativ odată cu mărirea distanței de la suprafața piesei. Spre deosebire, dacă se aplică c.a. datorită efectului pelicular variația lui H este de formă exponențială (curba 2 din figura 26).

Variația câmpului magnetic H în secțiunea unei țevi este pusă în evidență în figura 27.

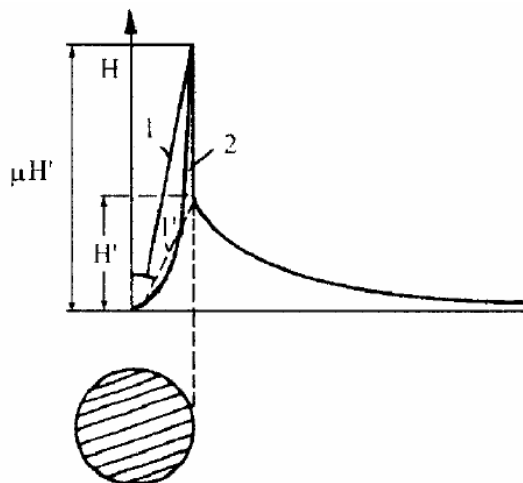


Fig. 26 Distribuția câmpului magnetic într-o bară cilindrică plină parcursă de curent:

- 1 - c.c. și material feromagnetic;
- 1' c.c. și material neferomagnetic
- 2 - c.a. material feromagnetic

La suprafața interioară a țevii $H = 0$, iar la suprafața exterioară se obține H_{max} . Curbele 1 și 1' reprezintă variația H pe grosime la materiale feromagnetice, respectiv neferomagnetice parcurse de c.c., iar curba 2, variația H în cazul materialului feromagnetic parcurs de c.a.

În figura 28 se prezintă variația câmpului magnetic în cazul a două conductoare coaxiale, unul interior dintr-un material neferomagnetic și unul exterior dintr-un material feromagnetic. În acest caz valoarea maximă a câmpului magnetic se localizează la suprafața interioară a țevii.

În cazul conductorilor cu secțiune dreptunghiulară, de lățime b și lungime h , magnetizați prin trecerea curentului alternativ și având raportul $b/h > 0,5$, intensitatea câmpului magnetic la suprafață poate fi calculată cu relația:

$$H = I/p \quad (94)$$

unde: I - intensitatea curentului, în A; p - este perimetrul secțiunii (m).

Intensitatea câmpului magnetic scade spre marginile conductorului, iar variația (distribuția) la suprafață este simetrică față de axa conductorului, dar cu diferențe funcție de felul curentului continuu sau alternativ.

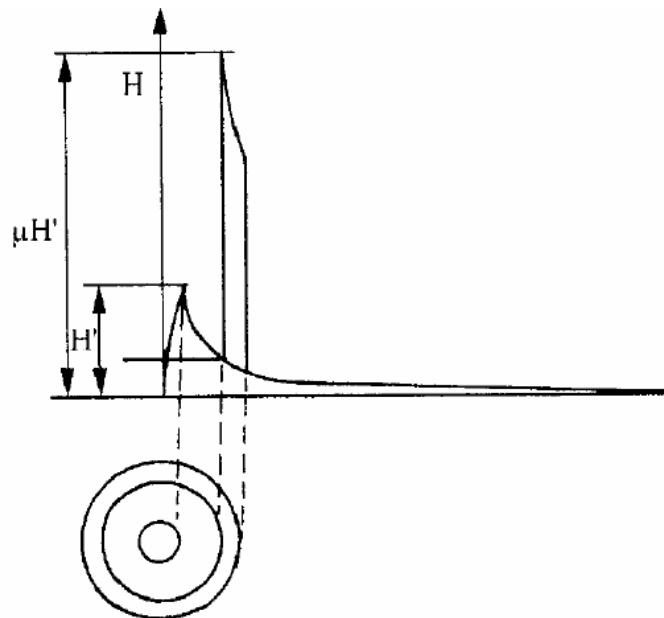
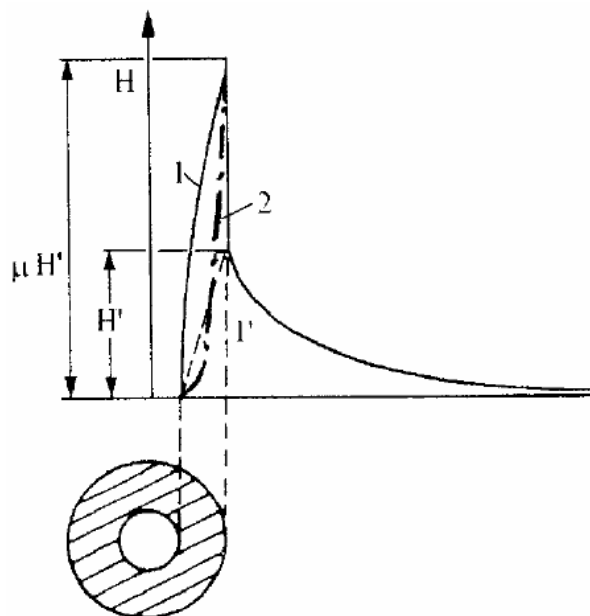


Fig. 27 Distribuția câmpului magnetic într-o teavă parcursă de curent: 1 - c.c. și material feromagnetic; 1' c.c. și material neferomagnetic 2 - c.a. material feromagnetic

Fig. 28 Distribuția câmpului magnetic în piese cilindrice coaxiale

16.5.4. Magnetizarea mixtă

Magnetizarea mixtă se folosește în general atunci când nu se cunoaște modul de orientare a defectului, respectiv atunci când este posibilă o singură poziție de așezare a piesei în raport cu instalația. Se realizează practic cu ajutorul defectoscoapelor fixe universale, care permit și o reglare după necesități a curentului pe cele două direcții până la $3000 \div 5000$ A pentru magnetizarea transversală și $20.000 \div 50.000$ As pentru magnetizarea longitudinală. Situații speciale de control la piese foarte mari au impus construirea unor defectoscoape fixe cu deschiderea de până la 6 m, la care magnetizarea longitudinală este produsă de o solenație de 400.000 As, [8].

Pentru a asigura variația orientării vectorului de câmp și cuprinderea tuturor direcțiilor, componentele câmpului trebuie să fie reglabile și/sau cel puțin una din ele alternativă. Metoda clasică aplicată la defectoscoapele universale constă în suprapunerea magnetizării circulare (transversale) alternative cu magnetizarea polară (longitudinală) în curent continuu, figura 29.

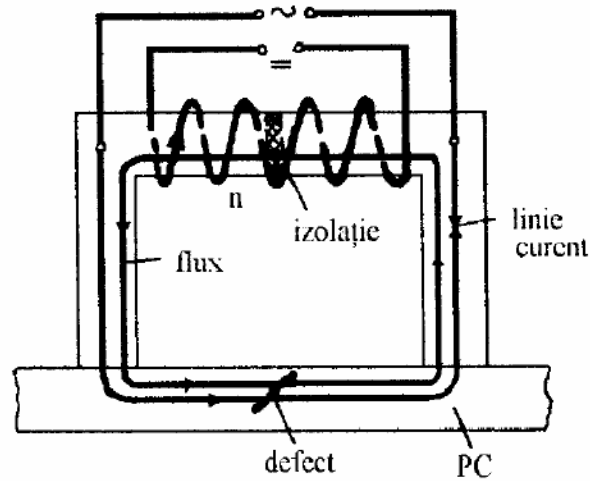


Fig. 29. Magnetizarea polară (longitudinală) în curent continuu

Prin suprapunerea celor două câmpuri, așa cum rezultă din figura 30, vectorul câmpul rezultat își schimbă poziția cu frecvența câmpului sinusoidal al magnetizării circulare. Soluții avantajoase se pot obține prin combinarea magnetizării longitudinale și circulare cu curenți alternativi defazați și redresați, ceea ce are ca rezultat mărirea frecvenței câmpului rotitor rezultat și prin aceasta ridicarea gradului de decelabilitate a discontinuităților. Unghiurile de defazare recomandate se situează între 50° și 130° .

Un avantaj incontestabil al defectoscopelor fixe constă în posibilitatea reglării câmpurilor magnetice și astfel obținerea unui câmp de dispersie optim pentru decelarea discontinuităților, indiferent de formă și permeabilitate.

Fluxul produs de bobina alimentată în c.c. și care se închide prin jugul defectoscopului în concordantă cu notațiile din figura 29, este dat de relația:

$$\Phi_L = \frac{U_i \cdot R \cdot C}{n} \quad (95)$$

unde: U_i - tensiunea de alimentare a bobinei;
 R, C - constante; n - număr de spire pe bobină.

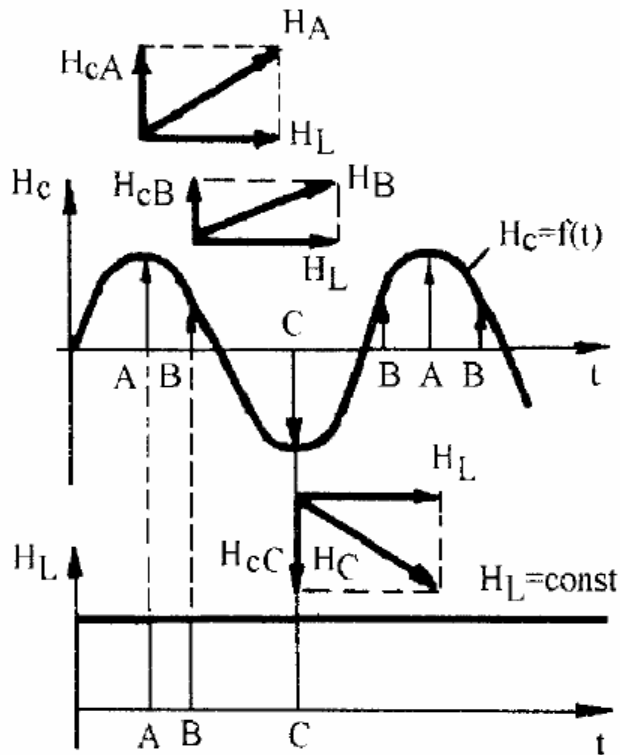


Fig. 30 Suprapunerea câmpului longitudinal constant H_L cu câmpul circular variabil H_c

Fluxul produs de curentul alternativ se determină din relația:

$$\Phi_C = \frac{U_2}{2\pi \cdot f \cdot n_2} \quad (96)$$

unde: U_2 - tensiunea secundară a transformatorului de alimentare; $f = 50$ Hz - frecvența tensiunii rețelei; n_2 - numărul de spire din secundarul transformatorului.

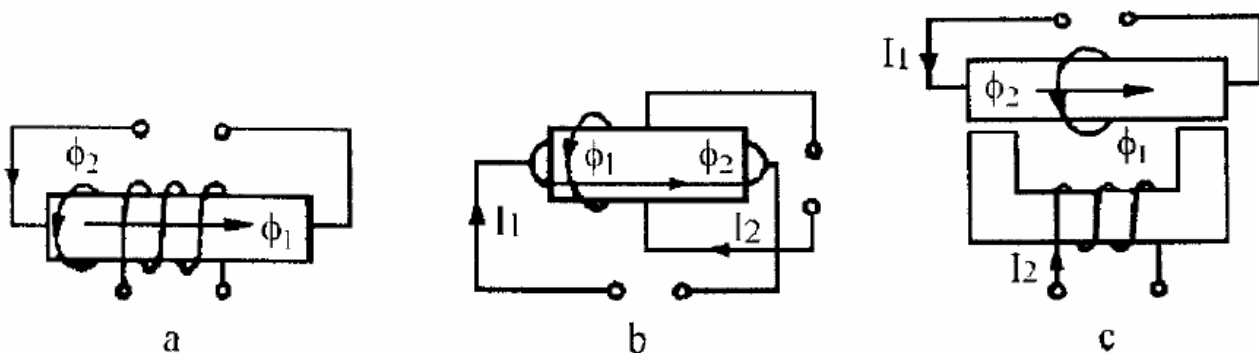


Fig. 3 i Alte scheme de magnetizare mixtă: a - combinație solenoid. trecere de curent; b - electro:i de contact pe două direcții; e - combinație electromagnet, injecție de curent

Alte scheme de magnetizare mixtă rezultă din figura 31. După figura 31,a, câmpul longitudinal produs de un solenoid Q, este combinat cu cel circular produs prin trecerea curentului prin piesă Q2. În figura 31,b, combinarea fluxurilor O , și ϕ_2 se realizează cu electrozi de contact și injecție de curent pe două direcții perpendiculare. În figura 31,c, combinarea fluxurilor magnetice se realizează suprapunând unei magnetizări polare cu electromagnet, injecția de curent cu electrozi de contact.

17. DEMAGNETIZAREA

După încheierea controlului este obligatorie demagnetizarea piesei întrucât magnetizația remanentă provoacă perturbații, atât în prelucrarea ulterioară a pieselor, cât și, mai ales, în exploatarea lor (perturbarea funcționării aparatelor electromagnetice, creșterea susceptibilității la coroziune, mărirea vitezei de uzare etc.). Pe de altă parte, la magnetizarea polară, piesele se ridică greu de pe polii instalației datorită forțelor care iau naștere în cursul magnetizării. Experiența a arătat că, în general, arcul electric la sudare nu este influențat de magnetizarea remanentă până la cea. 50 A/cm. În cazul prelucrărilor prin așchiere, magnetizarea remanentă trebuie coborâtă însă sub 10A/cm.

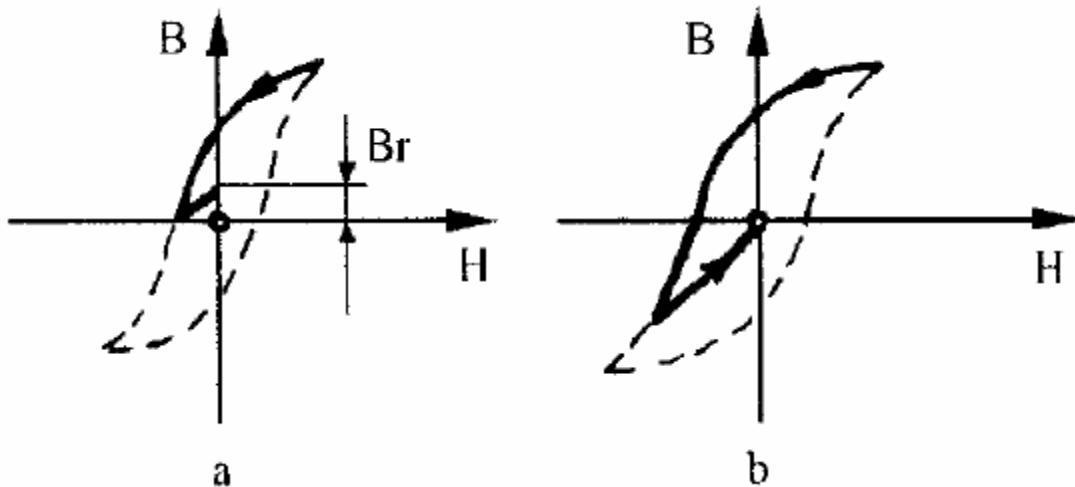


Fig. 32 Demagnetizare prin inversarea câmpului magnetic: a - cu inducție remanentă; b – fără inducție remanentă

Cele mai dăunătoare sunt câmpurile remanente longitudinale.

Prezența lor poate fi măsurată cu ajutorul magnetometrului, respective apreciată prin atragerea – devierea unui lanț format din agrafe. Câmpurile magnetice circulare sunt limitate în piesă, în exterior nemanifestându-se și ca urmare sunt mai puțin nocive.

Direcția câmpului demagnetizant este independentă de direcția magnetizației remanente, important fiind faptul utilizării unui câmp de demagnetizare inițial egal sau mai mare decât cel folosit la magnetizare.

Valoarea magnetizației remanente admisă după demagnetizare trebuie corelată cu valoarea componentei orizontale a câmpului magnetic terestru, care este de 16 A/m.

Demagnetizarea se realizează de regulă pe instalațiile cu care s-a produs magnetizarea, putându-se folosi în principal trei metode:

a. O primă metodă se pretează la demagnetizarea pieselor magnetizate longitudinal în curent continuu. Ea constă în magnetizarea cu un câmp contrar până la anularea inducției din piesă. Ciclul de demagnetizare este prezentat în figura 32,a.

Dezavantajul metodei este că după eliminarea câmpului aplicat la demagnetizare și după ridicarea din instalație, piesa se remagnetizează potrivit ramurii crescătoare de pe curba de histerezis. O soluție superioară constă în magnetizarea cu un câmp contrar mai puternic, astfel încât după întreruperea alimentării inducția să ajungă la zero, așa cum este prezentat în figura 32,b.

b. Altă metodă învederează demagnetizarea într-un câmp alternativ descrescător, prin micșorarea curentului până la anularea buclei de histerezis, conform figurii 33.

Aceasta este o metodă care se poate aplica numai în bobine de demagnetizare speciale deschise, care complica din punct de vedere constructiv instalația. Totodată, metoda este limitată la piese de grosimi (diametre) mici și mijlocii.

c. A treia metodă, mai importantă, constă în inversarea succesivă a polarității în curent continuu și micșorarea acestuia până la zero. În cazul pieselor mai mari sau de grosimi relativ mari, se va lucra cu frecvență micșorată. Se va folosi în acest scop un convertizor de frecvență și un dispozitiv de schimbare a polarității prin comutarea succesivă a alimentării bobinei de magnetizare, concomitent cu introducerea unor rezistențe suplimentare în circuit.

În linii mari 10 inversări și reduceri ale curentului dau rezultate satisfăcătoare.

Demagnetizarea locală se poate efectua pe două căi:

- cu ajutorul jugului magnetic portabil alimentat în c.a., așezând polii în contact cu suprafața piesei, apoi retrăgându-I sub tensiune în mod treptat; întreruperea curentului se face numai după ieșirea completă a jugului din zona de influență a piesei;
- utilizarea cablurilor parcurse de c.c. așezate pe suprafața piesei și aplicarea, fie a unui câmp magnetic egal și contrar celui de magnetizare, fie a unei reduceri treptate a curentului până la zero, concomitent cu inversarea sensului.

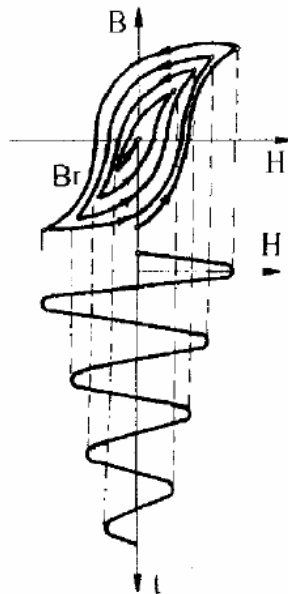


Fig. 33 Demagnetizare în c.a. descrescător

18. MAGNETOGRAFIEREA

Metoda magnetografică este o metodă de mare productivitate, pretabilă la automatizarea controlului pieselor în flux tehnologic, în special în cazul țevelor sudate.

Câmpul magnetic de dispersie de pe suprafața examinată se imprimă pe o bandă magnetică, explorată apoi de o sondă de potențial oscilantă de proximitate, care convertește câmpul de dispersie în semnale electrice vizualizate printr-un sistem adecvat dând posibilitatea unei evaluări cantitative. Față de defectoscopia cu pulberi, magnetografia prezintă trei mari avantaje:

- productivitate net superioară;
- posibilități largi de automatizare;
- adâncime de detectare mai mare (aproximativ dublă).

Comparativ cu defectoscopia cu sonde de potențial, prezintă avantajul unei insensibilități față de variații limitate ale permeabilității și ale formei suprafeței examinate. Cercetări sistematice au pus în evidență corespondența liniară dintre adâncimea discontinuității și amplitudinea semnalului înregistrat pe osciloscop, indiferent de poziția acesteia, ceea ce conferă metodei valente superioare în evaluarea și interpretarea cantitativă a defectelor.

Magnetizarea pieselor se realizează fie polar, în care caz câmpul este dirijat perpendicular pe cusătură dacă se controlează o îmbinare sudată, fie transversal, cu ajutorul unei bobine, sau prin trecerea curentului, în care caz câmpul este dirijat pe direcția secțiunii longitudinale a îmbinării (normal la suprafața piesei). Se folosește magnetizarea în curent continuu sau în curent pulsant, deoarece câmpurile alternative anulează imprimarea.

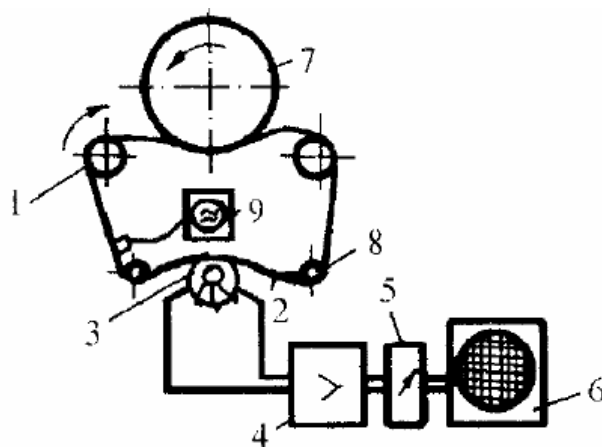


Fig. 34 Schema de funcționare a instalației de magnetografiere

Schema bloc a unui aparat de magnetografiere este prezentată în figura 34. Ea conține sistemul de antrenare (1) a benzii magnetice (2), sonda oscilantă de apropiere (3), sincronizată cu viteza de deplasare a benzii, amplificatorul (4), filtrul (5) și oscilograf (6). Pentru menținerea unui contact permanent între banda (2) și piesa controlată (7), instalația dispune de un dispozitiv de întindere cu role

(8), iar pentru ștergerea benzii de un generator sau bobină de soc prevăzută cu cap de demagnetizare (9). Banda magnetică trebuie să fie elastică în vederea unei întinse rulări pe suprafața testată, rezistentă la uzură și la variații de temperatură, iar particulele magnetice trebuie să fie dispuse omogen pe suprafață și să asigure reproducerea liniară a câmpului de dispersie.

Pentru reținerea câmpului de dispersie de pe bandă, sonda efectuează o mișcare de oscilație (translație) sau o mișcare de rotație combinată sincron cu o mișcare de translație, de baleiere a lățimii benzii, astfel încât citirea să se realizeze printr-o mișcare în zig-zag. Semnalele captate de sondă și amplificate corespunzător, sunt trecute unui filtru de frecvență, eventual acordat pe tipuri și mărimi de discontinuități și transmise sistemului de redare. Pentru redare se întrebunțează un oscilograf sau un înregistrator multicanal. La osciloscop devierea spotului luminos pe verticală este proporțională cu tensiunea transmisă de sondă, iar lățimea ecranului proporțională cu lățimea benzii. Înregistratorul multicanal transpune grafic variațiile câmpului magnetic de pe bandă, sincron cu mișcările sondei de contact, obținându-se în cazul unui număr suficient de canale o imagine plastică a zonei examinate cu posibilități de decelare operativă a poziției și mărimii discontinuității. Pentru localizarea exactă azimutul poziției de pornire a controlului trebuie să fie marcat pe bandă.

Instalațiile pentru controlul semiautomat al țevelor sudate sunt prevăzute și cu dispozitive de marcarea cu vopsea a zonelor cu defecte neadmise. Pentru facilitarea unui contact intim cu suprafața îmbinării sudate, banda magnetică se fixează pe un suport din cauciuc ce îi conferă rezistența mecanică necesară și face să se evite formarea cutelor, de unde se pot reține semnale false.

Experimentări efectuate de [37] au evidențiat o sensibilitate diferențiată a metodei față de discontinuități în funcție de valoarea permeabilității. Astfel, pentru valori mici ale permeabilității ($\mu = 2 \div 10$), fluxul de dispersie nu variază semnificativ cu lățimea discontinuității. La valori ridicate ale permeabilității ($\mu = 20 \div 500$), dimpotrivă, fluxul de dispersie dintr-o discontinuitate lată este foarte mic în comparație cu cel provenit de la o discontinuitate foarte îngustă. De aceea, câmpul de magnetizare trebuie ales în așa fel încât permeabilitatea să nu scadă sub 20. De aici decurge și necesitatea de corelare a granulației benzii magnetice cu limitele sensibilității de detectare.

19. CORPURI DE REGLARE A CÂMPULUI MAGNETIC

În paragrafele precedente s-a pus în evidență faptul că alegerea curentului de magnetizare în vederea obținerii efectelor scontate în cursul examinării piesei cu pulberi magnetice reprezintă o problemă cu multe variabile și incertitudini. De aceea, dincolo de tehnicile de măsurare, s-a recurs la mijloace simple dar eficiente, care să permită reglarea intensității câmpului, respectiv corectarea acesteia direct pe suprafața piesei.

Unul din mijloacele menționate se referă la corpul de reglare prezentat în figura 35, după [44].

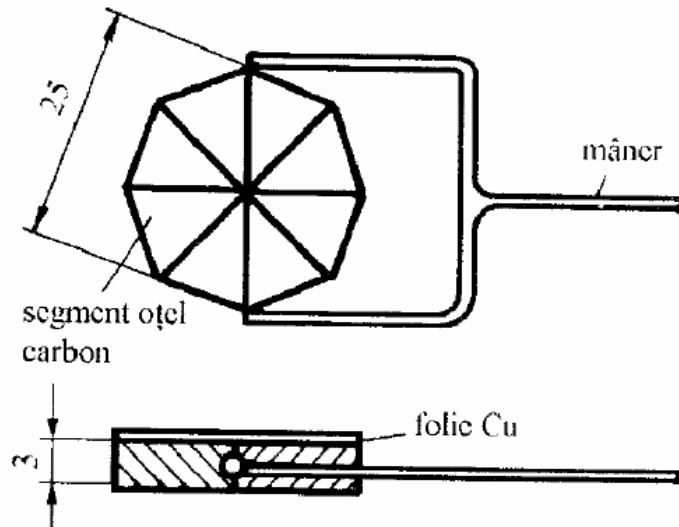


Fig. 35 Corp de reglare a câmpului magnetic de tip AS7M

El este format din 8 segmente de oțel moale având compoziția chimică pe cât posibil apropiată de a piesei controlate, izolate între ele cu metal neferos și acoperite cu folie de cupru de 0,25 mm grosime. Izolația dintre segmente joacă rolul discontinuităților din material (fisuri, nepătrunderi). Corpul se aplică pe piesă în diferite poziții, regându-se intensitatea curentului până la formarea unui câmp de dispersie cu contrast corespunzător pe suprafața foliei de cupru în dreptul uneia dintre discontinuități. Astfel, corpul de reglare poate fi folosit și pentru stabilirea orientării câmpului magnetic. În acest scop, prin rotirea corpului, se urmărește interstițiul pe care se formează câmpul de dispersie cel mai intens; liniile de câmp sunt orientate perpendicular pe interstițiul respectiv.

O construcție îmbunătățită este prezentată, după Berthold [2], în figura 36.

Corpul de reglare este format dintr-o piesă cilindrică din oțel moale (1), sectorizată prin două canale diametrice perpendiculare și o piuliță (2), prevăzută cu folie subțire de cupru (3), care poate fi apropiată sau îndepărtată de piesa cilindrică prin rotire.

Condițiile de magnetizare (intensitatea curentului, granulația și concentrația suspensiei), se reglează astfel încât să se obțină indicații cât mai bune de la distanțe maxime între folia piuliței și piesa cilindrică prin care se închide fluxul magnetic.

În vederea obținerii unei concluzii ridicate a controlului, se impune ca direcția liniilor de câmp să fie perpendiculară pe direcția discontinuității. În cazul în care nu se cunoaște apriori direcția discontinuității, piesa se magnetizează în cel puțin două direcții perpendiculare.

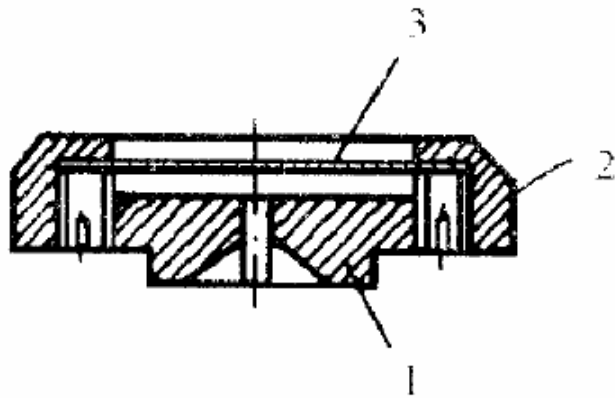


Fig. 36 Corp de reglare a câmpului magnetic de Up Berthold

20. EXAMINAREA CÂMPULUI MAGNETIC DE DISPERȚIE

20.1 Pregătirea suprafeței

Mobilitatea particulelor magnetice la suprafața piesei este influențată de o serie de factori printre care rugozitatea suprafeței, stratul de oxid, peliculele de grăsimi și apă. Sursele de contaminare pot provoca indicații false îngreunând interpretarea rezultatului controlului. Înainte de parcurgerea operațiilor de control toate sursele de contaminare vor fi îndepărtate prin prelucrare, respectiv îndepărtare mecanică, urmată de spălarea cu detergent. Straturile de protecție electrochimică sau de vopsea nu influențează practic sensibilitatea de examinare.

Între rugozitate pe de o parte, capacitatea de detectare și reproductibilitatea examinării există o relație de dependență directă. Sensibilitatea cea mai bună de detecție o reprezintă suprafețele plane lustruite, putând ajunge la dimensiuni microscopice. În condiții obișnuite rugozitatea necesară și suficientă pentru un control de rutină este $R_3 < 16 \mu\text{m}$, ceea ce corespunde unei suprafețe finisate. Aceasta este suficientă pentru relevarea unor indicații de discontinuitate de aproximativ 1 mm.

În vederea măririi contrastului, înainte de aplicarea pulberii se practică frecvent vopsirea suprafeței de controlat cu vopsea albă de nitrolac, diluată în proporție de 3 : 1, ceea ce asigură o uscare rapidă.

20.2. Condiții de examinare

Examinarea pieselor se realizează în lumină albă difuză, care asigură o iluminare ($<D/S$, Cd/m²), de minim 500 lx±. În cazul folosirii pulberilor fluorescente se utilizează lumina ultravioletă în spații slab iluminate, sub 50 lx.

Radiațiile ultraviolete se obțin cu ajutorul unei lămpi cu vapori de mercur.

Densitatea luminoasă este proporțională cu intensitatea radiației măsurată în W/m. Intensitatea minimă de iluminare trebuie să fie 2.5 W/m², iar dacă lampa este prevăzută cu lupă, ea trebuie să depășească

50 W/m Spectrul filtrat emis de lămpi u.v. este cuprins între 310 - 420 nm. Pigmentul fluorescent este excitat la o lungime de undă de 365 nm și emite o culoare verde gălbuie în domeniul 520 - 580 nm.

Eliminarea factorilor subiectivi umani la examinarea suprafeței controlate și la interpretarea discontinuităților impune respectarea următoarelor reguli referitoare la condițiile de control și de observare vizuală:

- timpul de adaptare la controlul cu pulberi fluorescente în încăperi întunecate trebuie să fie de cel puțin 10 minute;
- distanța de examinare se recomandă să fie de $0,4 \div 0,5$ m;
- cel puțin un ochi trebuie să asigure o vedere normală în câmp apropiat apreciată la valoarea 1,0 cu ajutorul ortotipului și o valoare de minimum 0,8 în câmp mijlociu ($0,4 \div 5$ m) și îndepărtat;
- anomaliile de distingere a culorii determinate la anomaloscop trebuie să se încadreze în limitele 1,4 2 Ac 2 0,7;
- capacitatea de adaptare la întuneric, capacitatea de menținere a acuității vizuale fără oboseală prematură, precum și sensibilitatea la strălucire trebuie să se situeze la nivele normale.

20.3. Evaluarea indicațiilor de discontinuitate

Indicațiile de fisuri deschise la suprafață prezintă un contrast ridicat cu contur continuu, neregulat, eventual chiar ramificat. Fisurile și nepătrunderile interne apar difuze cu indicații mai largi și intermitente. Suflurile și chiar incluziunile nemetalice plasate mai la suprafață se relevă prin indicații scurte, discontinue, uneori grupate și orientate în sensul fibrajului de laminare sau forjare.

Fisurile produse prin tratament termic conduc la indicații liniare puternic conturate, localizate de regulă în dreptul muchiilor și trecerilor de secțiune. Caracteristic pentru ele este și configurația ramificată.

Fisurile induse prin operații de rectificare-polizare apar sub formă grupată și segmentată, sau sub formă de rețele interconectate.

Fisurile de oboseală apar sub forma unor linii bine conturate în general drepte.

Cele de oboseală termică sunt scurte și mai fine, datorită adâncimilor mai mici.

Fisurile produse sub acțiunea mediului coroziv sunt mai largi și legate de zone cu pete de coroziune.

Fisurile produse în urma fenomenului de coroziune fisurantă sub tensiune se caracterizează prin ramificații intense.

În cazul fisurării sub cordon tipice îmbinărilor sudate, indicațiile sunt late, difuze și dificil de interpretat.

Golurile furnizează indicații liniare orientate după direcția de laminare sau de extrudare. Retasurile aflate în apropierea suprafeței furnizează indicații difuze.

Incluziunile nemetalice având o permeabilitate magnetică diferită sunt evidențiate sub formă de indicații liniare alungite și aliniate pe direcții de prelucrare.

Suprapunerea furnizează indicații bine conturate, care se confundă cu cele obținute de la fisuri.

Defectele subsuperficiale conduc la indicații late și difuze, caracteristicile acestor indicații fiind în legătura cu tipul discontinuității și cu adâncimea.

Indicațiile false de defect au următoarele surse principale de producere:

- magnetizarea excesivă, ceea ce conduce la formarea artificială a depozitelor de pulbere magnetică; fenomenul se produce în special în dreptul modificărilor de secțiune, zone de altfel susceptibile de fisurare în urma tratamentelor termice;
- modificări structurale semnificative, mai ales cele de călire, plasate într-o zonă strict limitată caracteristică zonei influențată termic a unei îmbinări sudate;
- prezența unor zone de segregatii în care șirurile - benzile prezintă o permeabilitate redusă;
- ecruisările superficiale, datorită modificărilor structurale cu diferențieri în permeabilitate;
- creștăturile marginale, craterele, precum și solzii cordoanelor de sudura care rețin în general particulele magnetice ca și fisurile superficiale sau defectele subsuperficiale;
- zona limitrofă îmbinării sudate sau placării cu oțeluri austenitice formează un câmp de dispersie ca urmare a gradientilor de permeabilitate magnetică.

20.4. Conservarea imaginii

Locurile defecte se notează, fixează și/sau fotografiază pentru a putea servi ca document de control. Defectograme cu vizibilitate bună se obțin cu ajutorul amprentelor imprimate pe hârtie de celofan umectată. Fixarea pe piesă a pulberii magnetice se realizează cu șelac pulverizat fin peste zonele care conțin indicații de discontinuități.

O altă metodă constă în folosirea unei folii transparente adezive, care se aplică pe suprafața controlată și se presează uniform. Depozitele de pulberi magnetice aderă la folie. După desprindere, folia se aplică pe o foaie de hârtie poroasă pe care se imprimă câmpul de dispersie format la suprafața piesei.

În ultimii ani se dezvoltă intens metoda replicilor active din cauciuc silionic magnetic autopolimerizant. Folosirea ei aduce un dublu avantaj, acela de producere în timp real a câmpului de dispersie și acela de conservare a imaginii defectogramei.

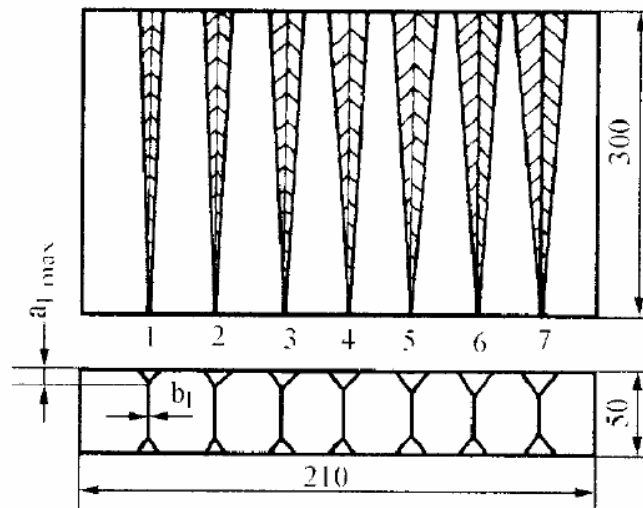
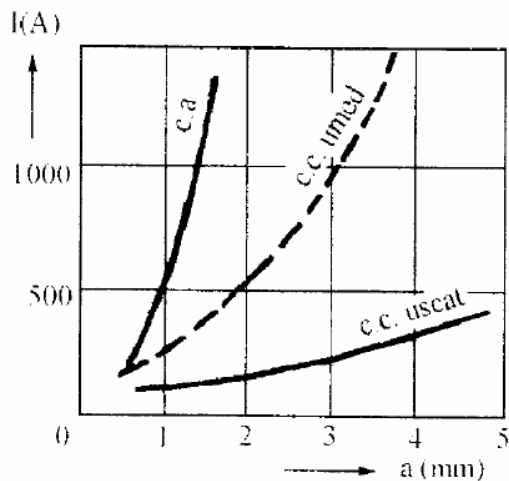
Cauciucul silionic se aplică într-o peliculă lichidă. Sub acțiunea câmpului magnetic, care trebuie menținut în timpul luării replicii, particulele magnetice proprii migrează spre discontinuități. Prin polimerizare "imaginea" este incluzionată în pelicula de cauciuc solid conservându-se.

Una din metodele moderne de conservare a imaginii este metoda de înregistrare video .Si de prelucrare automată a imaginii cu ajutorul computerului.

21. ADÂNCIMEA DE DETECTARE și SENSIBILITATEA EXAMINĂRII

Adâncimea de detectare la controlul cu pulberi magnetice este influențată de următorii factori:

- procedeul de magnetizare și mai ales felul curentului de magnetizare, curent continuu, curent pulsant sau curent alternant și intensitatea câmpului;
- frecvența curentului;
- procedeul de aplicare a pulberii magnetice, uscat sau umed;
- tipul defectului.



Așa cum s-a arătat, adâncimea de pătrundere a câmpului este maximă în cazul magnetizării în curent continuu (c.c.) sau în curent pulsant monofazat. Acest lucru este pus în evidență prin diagrama din figura 37, reprezentând variația adâncimii de penetrare a la detectarea discontinuităților volumice cu curentul de magnetizare L . Se observă că pentru a asigura aceeași adâncime de penetrare, intensitatea de magnetizare în curent alternativ, trebuie să fie cu aproape un ordin de mărime superior curentului necesar magnetizării în curent continuu. Se pune în evidență, pe de altă parte că în cazul magnetizării în curent alternativ, capacitatea maximă de detectare în profunzime este limitată la nivelele ale intensității curentului de cea. $1000 \div 1500$ A. În cazul magnetizării în curent continuu, un rol deosebit îl joacă procedeul de aplicare a pulberii. După cum rezultă din figura 37 sensibilitatea maximă la variația intensității curentului de magnetizare o prezintă procedeul uscat. Rezultate superioare din punct de vedere al decelabilității se obțin prin folosirea pulberilor fluorescente, în concentrație de 1 g/l , în special al celor uscate fluorescente, în concentrație de 10 g/l .

Sensibilitatea de detectare se determină cu ajutorul unei piese de forma celei prezentate în figura 38, formata din 8 plăci de oțel carbon nealiat, având rosturile prelucrate înclinat de la un capăt la altul de la adâncimea $a = 0$ de o parte până la adâncimea $a =$ de cealaltă parte. Rosturile astfel formate au fost sudate, asigurându-se cu distanțiere interstiții de lățime b constantă pe toată lungimea probei, dar diferite de la rost la rost $b_1 \dots b_7$. Supraînălțarea cusăturilor a fost îndepărtată ulterior prin așchiere, astfel încât pe corpul de probă s-au format 7 rânduri de nepătrunderi de diferite lățimi b și de adâncime a variabilă, tabelul 7. Prin magnetizarea corpului se determină adâncimea de detectare a nepătrunderii în funcție de deschiderea (lățimea) interstițiilor.

Tabelul 7

Dimensiunea (mm)	Rândul						
	1	2	3	4	5	6	7
Lățimea (deschiderea) rostului b	0	0,13	0,25	0,50	1,0	2,0	4,0
Adâncimea maximă a_{\max}	4,4	4,8	5,6	8,0	10,7	14,5	18,7

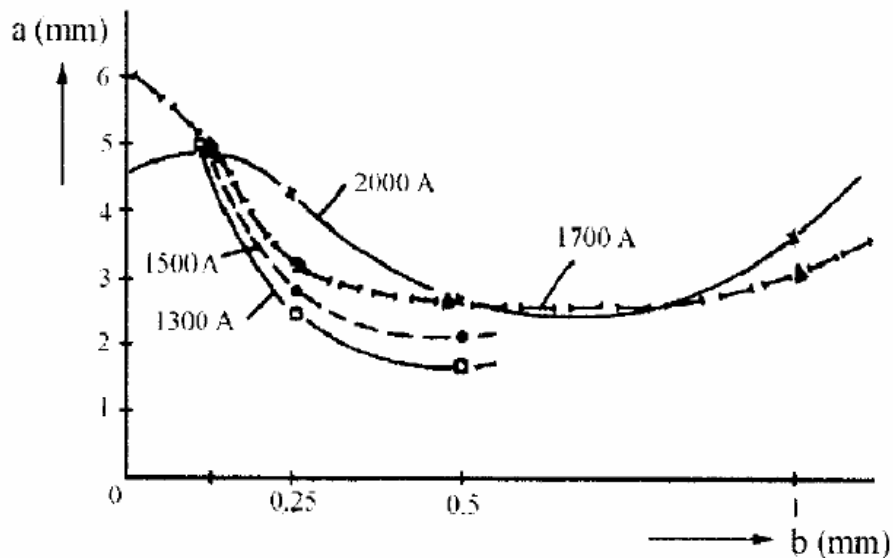


Fig 39 Dependența adâncimii de detectare funcție de lățimea rostului stabilită pentru pulberea de magnetită în suspensie

În diagrama din figura 39 se exemplifica dependența $a = f(b)$ obținută la experimentarea unei pulberi magnetice de Fe304 în suspensie, având granulația de $10 \div 30 \mu\text{m}$, folosindu-se ca parametru intensitatea de magnetizare, [30]. Datele complete obținute în urma experimentării unui număr de 12 sortimente de pulberi magnetice de diferite proveniențe sunt ilustrate în figura 40. Dependentele $a = f(I)$ au fost ridicate pe lățimi de rosturi $b = \text{const.}$, aflate în intervalul $0,25 + 4 \text{ mm}$, [30].

Aceste rezultate permit să se tragă următoarele concluzii:

- sensibilitatea de detectare a defectelor plane prin metoda cu pulberi magnetice este de ordinul $0,1 \dots 0,5 \text{ mm}$, fiind influențată și de natura pulberii;
- sensibilitatea maximă se obține în cazul fisurilor și nepătrunderilor foarte înguste, unde se asigură chiar contactul suprafețelor (lățime zero); la lățimi de peste 4 mm câmpul de dispersie dispăre;
- adâncimea maximă detectabilă a defectelor este de $4 - 8 \text{ mm}$;

În general nu se poate face o legătură între curentul de magnetizare și mobilitatea pulberii;

- cea mai mobilă este pulberea fluorescentă și suspensia $\gamma - \text{Fe}_2\text{O}_3$, cu forme aciculare;
- cea mai lentă este pulberea de magnetită;
- capacitatea maximă de detectare în profunzime (penetrabilitatea) este limitată la nivelele ale intensității curentului de magnetizare de cca. $1000 - 2000 \text{ A}$; unele pulberi sunt împrăscate la curenți de magnetizare de peste 1700 A .

Performantele maxime, în domeniul decelabilității discontinuităților se situează, după [55], în cazul unui control condus cu un câmp de magnetizare optim, folosind pulberi magnetice de granulație fină, fluorescente, și mijloace optice de examinare adecvate, la nivelul unor discontinuități cu o deschidere (lățime) de până la $0,001 \text{ mm}$, până la adâncimea de $0,010 \text{ mm}$.

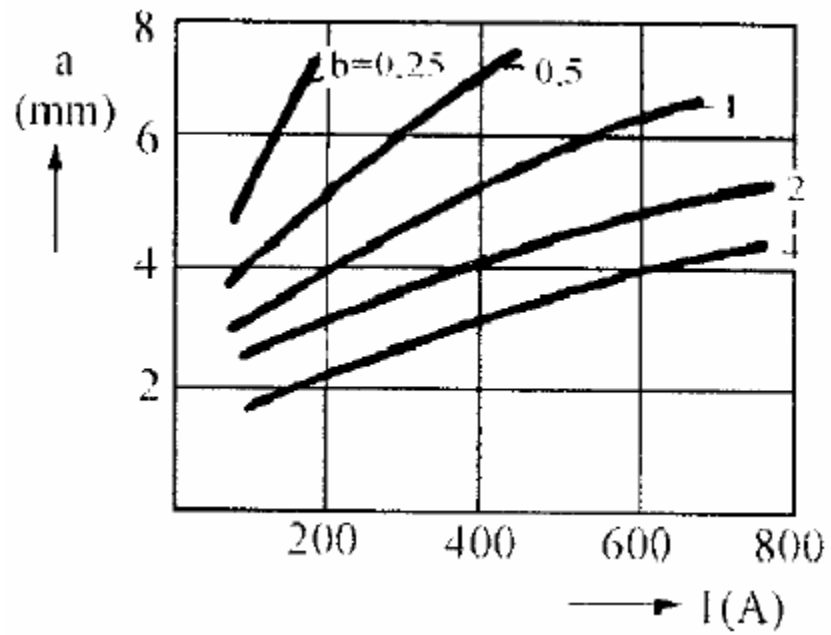


Fig. 40 Corelații experimentale - adâncime de detectare funcție de intensitatea curentului de magnetizare - pentru diferite valori ale deschiderii discontinuității

Lucrarea 3

Controlul cu ultrasunete

1. **Denumirea metodei:** EXAMINAREA ULTRASONICĂ
(*UT – Ultrasound Testing*)
2. **Tipul de examinare:** acustic.
3. **Agentul de investigare:** ultrasunete emise de transductoare piezoelectrice.
4. **Fenomenul fizic de bază:** reflexia și refracția undelor ultrasonore.
5. **Modul de aplicare:** introducerea undelor ultrasonore în materialul controlat, cu ajutorul unui transductor piezoelectric și reflexia acestora pe suprafața discontinuităților; reflexiile sunt înregistrate de același transductor sau de un altul, amplificate și redată pe ecranul unui osciloscop.
6. **Domeniul de utilizare:** fisuri, goluri, incluziuni, nepătrunderi, delaminări, măsurări de grosimi etc.
7. **Indicația de defect:** semnale luminoase pe ecranul osciloscopului.
8. **Materialul obiectului controlat:** metale și aliaje (aluminii și aliajele lui, zirconiu, oțel carbon sau slab aliat; mai greu oțel inoxidabil, alame, bronzuri), materiale plastice, materiale compozite, betoane (în prezent, cu tehnici speciale, aproape orice material folosit în domeniul tehnic.
9. **Particularități** - ultrasunetele (US) sunt vibrații mecanice care se transmit în diverse medii, sub formă de unde elastice (sinonim *unde ultrasonore*), cu frecvențe cuprinse între 16 kHz și 10^4 MHz. În domeniul examinărilor nedistructive, sunt folosite uzual frecvențele cuprinse între 0,5 și 30 MHz. În funcție de modul în care se propagă, undele ultrasonore pot fi: *longitudinale, transversale și de suprafață*. Atunci când un fascicul de unde ultrasonore trece dintr-un mediu în altul, cu proprietăți acustice diferite, se produc fenomene de *reflexie și refracție*, asemănătoare celor cunoscute din domeniul opticii, pentru care este valabilă legea Snell – Descartes. Ultrasunetele utilizate în defectoscopie sunt produse în exclusivitate prin efect piezoelectric. Dintre materialele naturale (cristalul de cuarț) sau sintetice, care prezintă acest efect, cel mai folosit este titanatul de bariu, material sintetic presat sub formă de pastile de diferite forme, denumite impropriu, dar uzual, "cristale". O particularitate importantă a examinării cu ultrasunete este aceea ca se pot examina produse cu grosime sau lungime foarte mare (și peste 10 m), ceea ce nici o altă metodă nu permite.
10. **Scheme de principiu** – principalele scheme de examinare sunt prezentate în figurile 1.36, 1.37, 1.38 și 1.39. Dispozitivele folosite pentru producerea undelor ultrasonore poartă denumirea de *transductoare ultrasonore*. Întrucât la cele mai răspândite tehnici de examinare transductorul vine în contact cu suprafața obiectului examinat – o palpează – s-a răspândit denumirea comună de *palpator ultrasonic*. Rezultatele examinării sunt, de regulă, prezentate pe un ecran.

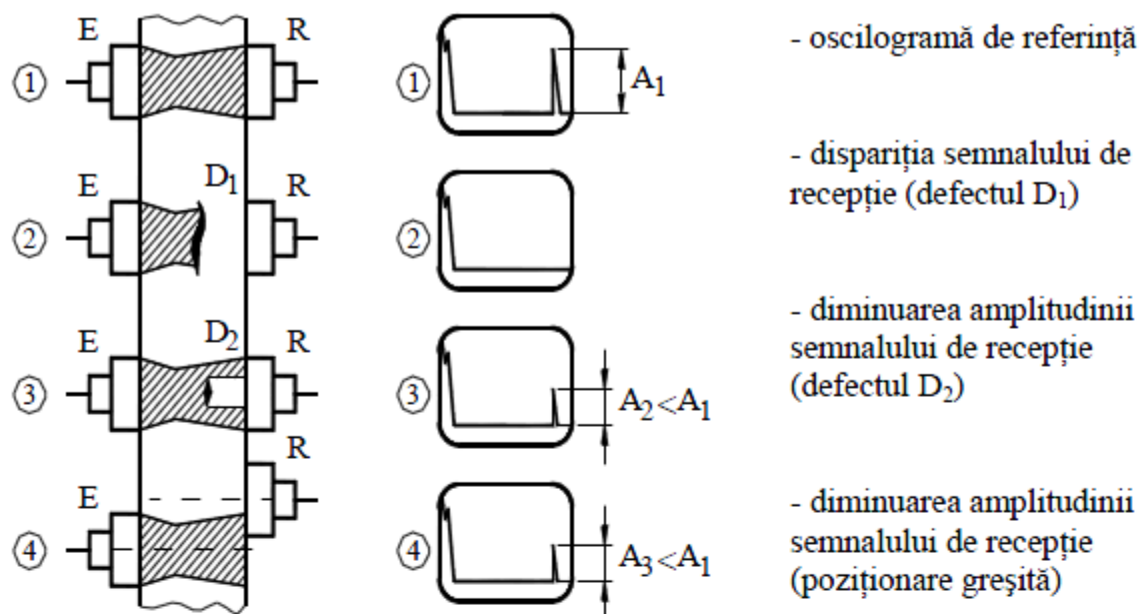


Fig. 1.36. Metoda impulsului transmis (a umbrei) - palpatoare normale.

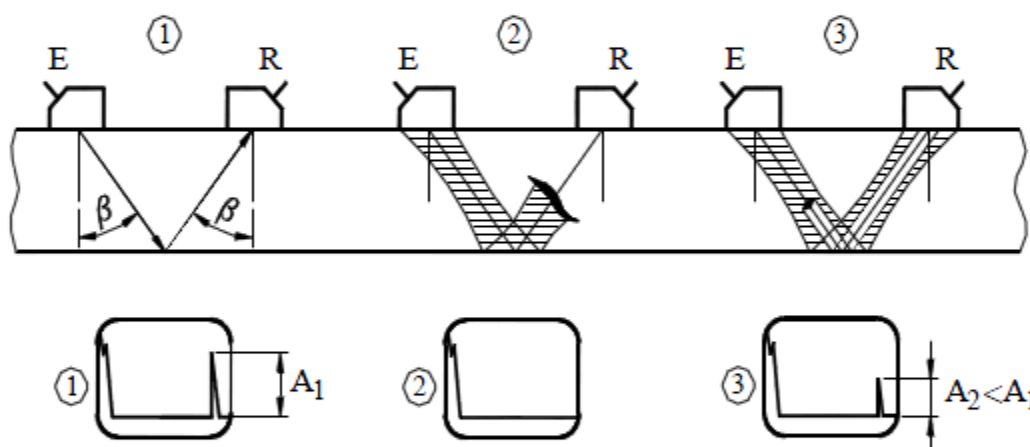


Fig. 1.37. Metoda impulsului transmis – palpatoare înclinate.

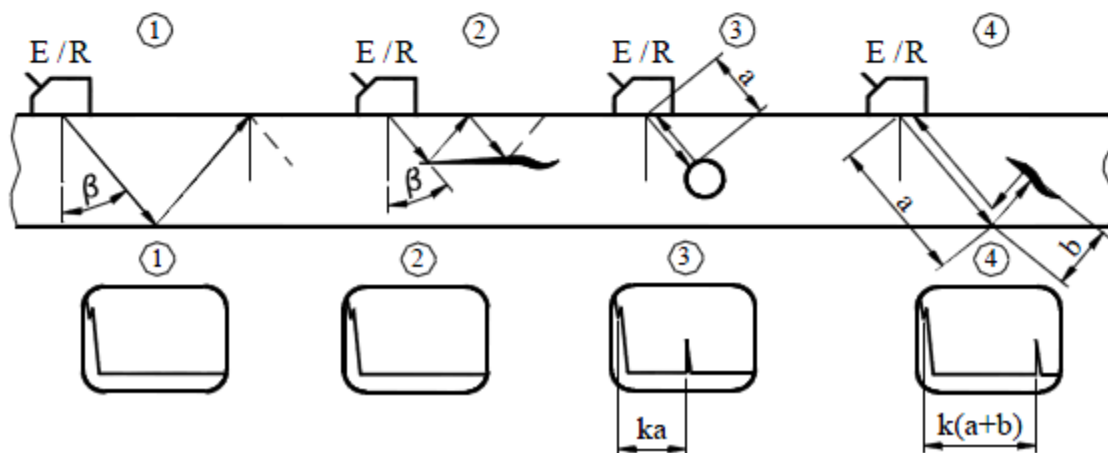


Fig. 1.38. Metoda impulsului reflectat – palpatoare înclinate.

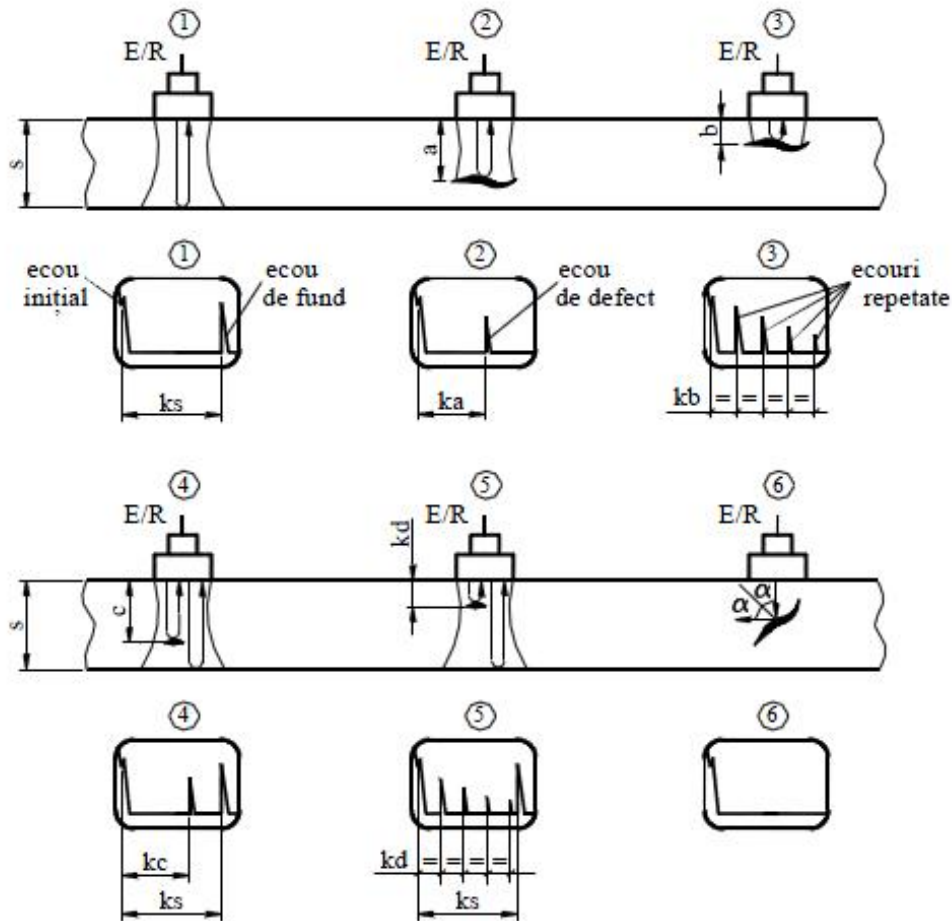


Fig. 1.39. Metoda impulsului reflectat (a ecoului) – palpatoare normale.

Pentru a produce unde transversale, cristalul palpatorului trebuie să fie astfel înclinat încât unda longitudinală incidentă produsă de acesta să formeze cu normala un unghi mai mare decât *primul unghi critic* – unghiul pentru care unda longitudinală din mediul al doilea se așterne pe suprafața piesei examinate. Valorile acestui unghi, pentru palpatoarele înclinate și pentru unde transversale sunt: $\beta = 35^\circ; 45^\circ; 60^\circ; 70^\circ; 80^\circ$, cele mai folosite fiind palpatoarele cu $\beta = 45^\circ$ și 70° . Unghiurile precizate sunt valabile numai pentru examinarea oțelului.

11. *Echipament de bază*: defectoscop, traductoare, cabluri de legătură, cuplant, etaloane, blocuri de calibrare. Aparatul electronic care permite examinarea cu ajutorul ultrasunetelor se numește *defectoscop ultrasonic* (fig. 1.40 și fig. 1.41).



Fig. 1.40. Defectoscoape ultrasonice clasice.

La defectoscop se cuplează unul sau mai multe palpatoare, care lucrează ca emitor/receptor E/R , ca emitor E , iar celălalt ca receptor R sau un palpator dublu cristal $E - R$.



Fig. 1.41. Defectoscoape ultrasonice moderne (digitale, *phased array*).

8. *Observații și recomandări:*

- În mediile lichide sau gazoase se pot propaga numai unde longitudinale, în timp ce în cele solide se pot propaga toate tipurile de unde.
- Prin *cuplare* se înțelege asigurarea unei transmisii acustice corespunzătoare între palpator și piesa de examinat. Lipsa unei cuplări corecte poate compromite rezultatul examinării.
- Principalele cauze care produc atenuarea sunt: *absorbția* cauzată de viscozitatea mediului și conductivitatea sa termică (pentru toate mediile); *difuzia* cauzată de pierderile prin reflexie pe suprafețele grăunților cristalini, porilor, incluziunilor etc. (pentru mediile solide). Cu cât atenuarea este mai mică, cu atât materialul respectiv este mai ușor controlabil cu ultrasunete.
- Rezultatele examinării cu ultrasunete sunt condiționate de reglarea și verificarea aparatului de examinare. Înaintea începerii examinării sistemul se etalonează.
- *Etalonarea* constă în reglarea optimă a parametrilor defectoscoapelor ultrasonice, astfel încât indicațiile obținute să fie corect localizate, folosind pentru aceasta suprafețe reflectante și defecte etalon cu caracteristici cunoscute, dispuse pe blocuri de calibrare sau de referință.
- Etalonarea se efectuează și pe parcursul examinării, pentru a se verifica dacă sensibilitatea rămâne constantă, indiferent de modificarea caracteristicilor componentelor electronice ca urmare a variațiilor de temperatură.
- Ansamblul format din defectoscopul ultrasonic și palpator se consideră că are *sensibilitate de evidențiere* mare, atunci când ecourile reflectoarelor mici apar clar pe ecran. De menționat faptul că defectele minim detectabile, au dimensiuni caracteristice de ordinul de mărime a câtorva lungimi de undă (lungimea de undă = viteza de propagare a undelor US raportată la frecvență).

Lucrarea 5

Controlul cu radiații penetrante

1. *Denumirea metodei*: EXAMINAREA CU RADIAȚII PENETRANTE (RT – Radiation Testing)
2. *Tipul de examinare*: cu radiații penetrante.
3. *Agentul de investigare*: radiațiile X sau γ (penetrante, ionizante).
4. *Fenomenul fizic de bază*: atenuarea radiațiilor la străbaterea unui mediu; impresionarea peliculelor radiografice de către radiațiile penetrante sau modificarea gradului de strălucire pe ecrane.
5. *Modul de aplicare*: peliculele (filmele) fotosensibile sunt impresionate de către radiațiile penetrante care poartă *signatura* obiectului pe care l-au străbătut; discontinuitățile atenuează diferit radiațiile, ceea ce se vede pe film, după dezvoltarea acestuia sau pe ecrane fluorescente speciale se produc pete cu strălucire variabilă în funcție de intensitatea radiației.
6. *Domeniul de utilizare*: fisuri, goluri, incluziuni metalice sau nemetalice, defecte de formă, corectitudinea asamblării; piese turnate, forjate și sudate.
7. *Indicația de defect (relevantă)*: zone cu înnegrire diferită în raport cu cea a fondului filmului (la examinarea radiografică), de obicei mai negru sau pete mai mult sau mai puțin strălucitoare la examinare prin radioscopie.
8. *Materialul obiectului controlat*: oricare.
9. *Particularități* - termenul general de radiații penetrante sau ionizante se referă la radiațiile X, γ , β , α și neutroni. Aceste radiații de naturi diferite, iau naștere în atomii materialului - sursă și ionizează mediile materiale pe care le traversează, adică smulg electronii atomilor din mediul respectiv. Principalele avantaje ale metodei radiologice, față de alte metode defectoscopice, constau în următoarele: permite determinarea formei și naturii defectului, oferă posibilitatea existenței unui document de examinare – radiografia, detectarea defectelor interne cu o sensibilitate satisfăcătoare în diverse materiale; se pot examina piese cu grosimi variabile, uzual, cu radiații X, până la grosimi de (oțel) 200 mm și grosimi de 500-600 mm, cu acceleratoare liniare sau radiații gama; instalațiile gama nu necesită surse de curent ș.a. Principalele dezavantaje sunt: măsurile speciale de protecție care trebuie adoptate, întrucât radiația penetrantă este dăunătoare organismelor vii, costul ridicat al examinărilor și al echipamentelor, în general, timpul necesar pentru examinare mai lung (în cazul radiografiilor).
10. *Scheme de principiu* – intensitatea radiației penetrante care străbate obiectul examinat este atenuată în funcție de natura, grosimea și structura materialului obiectului. Variațiile de intensitate sunt vizualizate cu ajutorul unor pelicule asemănătoare celor fotografice (filme radiografice), ecrane fluorescente sau

aparate de măsură (fig. 1.29). În prezent, cea mai răspândită, în prezent, în lume, este varianta denumită radiografică, la care detectorul este un film radiografic.

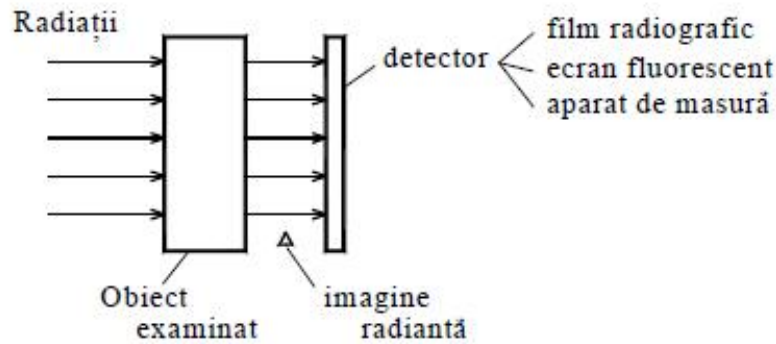


Fig. 1.29. Schema de principiu a examinării cu radiații penetrante.

11. *Echipament de bază* – în domeniul examinărilor cu radiații penetrante principala componentă a sistemului este sursa de radiații, care poate fi un aparat Röntgen (fig. 1.30), un betatron, accelerator sau o sursă de radiație gama. Instalațiile mai conțin în afară de sursă și o serie de alte componente, cum ar fi: pupitru de comandă, cabluri de legătură, dispozitiv de ridicare și manevrare etc. (fig. 1.31). Utilizarea unei instalații de examinare cu radiații penetrante necesită spații adecvate: cameră de lucru, cameră de comandă, cameră obscură pentru prelucrarea filmelor, cameră pentru analiza, citirea și interpretarea filmelor.



Fig. 1.30. Aparate Röntgen.

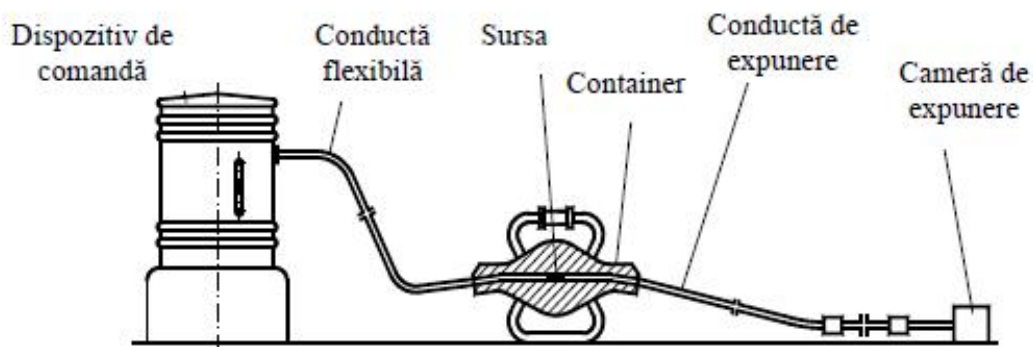


Fig. 1.31. Instalație de gamagrafiere.

Pentru analiza filmelor sunt utilizate *negatoscoape* - ecrane luminoase pentru examinarea prin transparență a negativelor radiografice (fig. 1.32) și pentru verificarea calității examinării se folosesc indicatoare de calitate a imaginii, mici dispozitive cu elemente cu grosime variabilă (fig. 1.33).



Fig. 1.32. Negatoscoape.

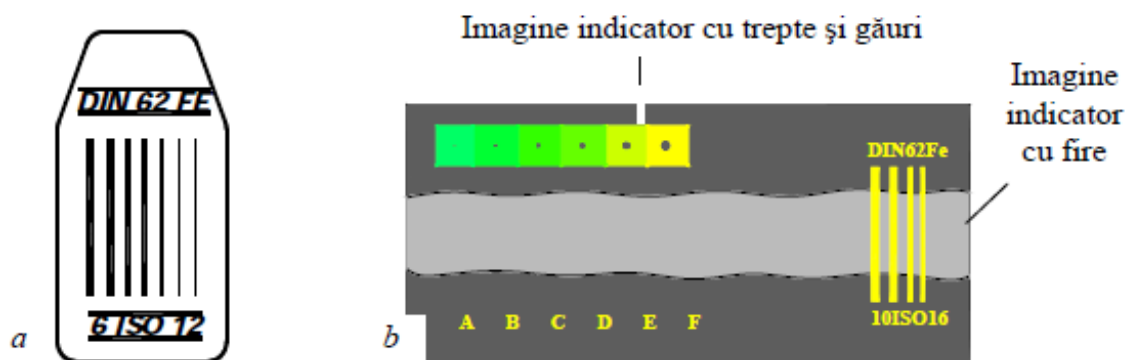


Fig. 1.33. Indicatoare de calitate a imaginii: *a* – indicator cu fire; *b* – imaginea indicatoarelor pe radiografie

Filmele radiografice, ca principale tipuri de detectoare în examinarea cu radiații penetrante, livrate într-o gamă dimensională, sunt alcătuite dintr-un suport de celuloid pe care există o depunere de halogenură de argint. Filmul este așezat, de regulă între două ecrane intensificatoare, care îmbunătățesc contrastul pe film și un înveliș exterior de protecție (fig. 1.34).

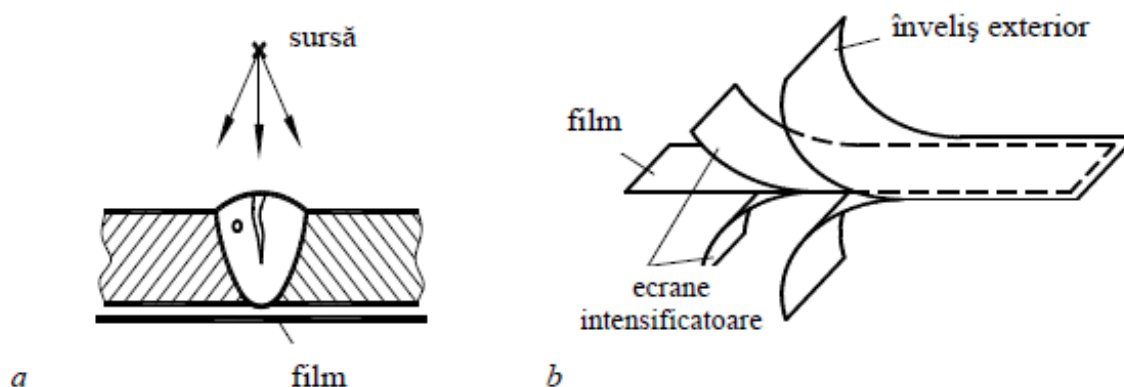


Fig. 1.34. Filme radiografice: *a* - poziționare în raport cu sursa, *b* – învelișuri.

Echipamentul necesar pentru examinarea cu radiații penetrante mai cuprinde: dozimetre – aparate pentru măsurarea dozei de radiație; densitometru – aparat pentru măsurarea densității de înnegrire pe film; standuri și dispozitive pentru prelucrarea filmelor; dulapuri sau alte dispozitive pentru uscarea filmelor; dispozitive pentru fixarea filmelor pe diverse piese, cu gabarit mare, conducte, rezervoare etc.

12. *Observații și recomandări* – examinarea cu radiații penetrante este cea mai complexă și costisitoare metodă de examinare nedistructivă. În ultimii ani au apărut soluții tehnice interesante care vizează înlocuirea filmelor cu dispozitive de detecție reutilizabile. Din cauza costurilor ridicate, aceste dispozitive încă nu sunt utilizate decât în domenii foarte restrânse, în special în cercetare. Indicațiile de defect vizibile pe film reprezintă imaginea, ușor mărită, a proiecției defectului pe film (fig. 1.35)

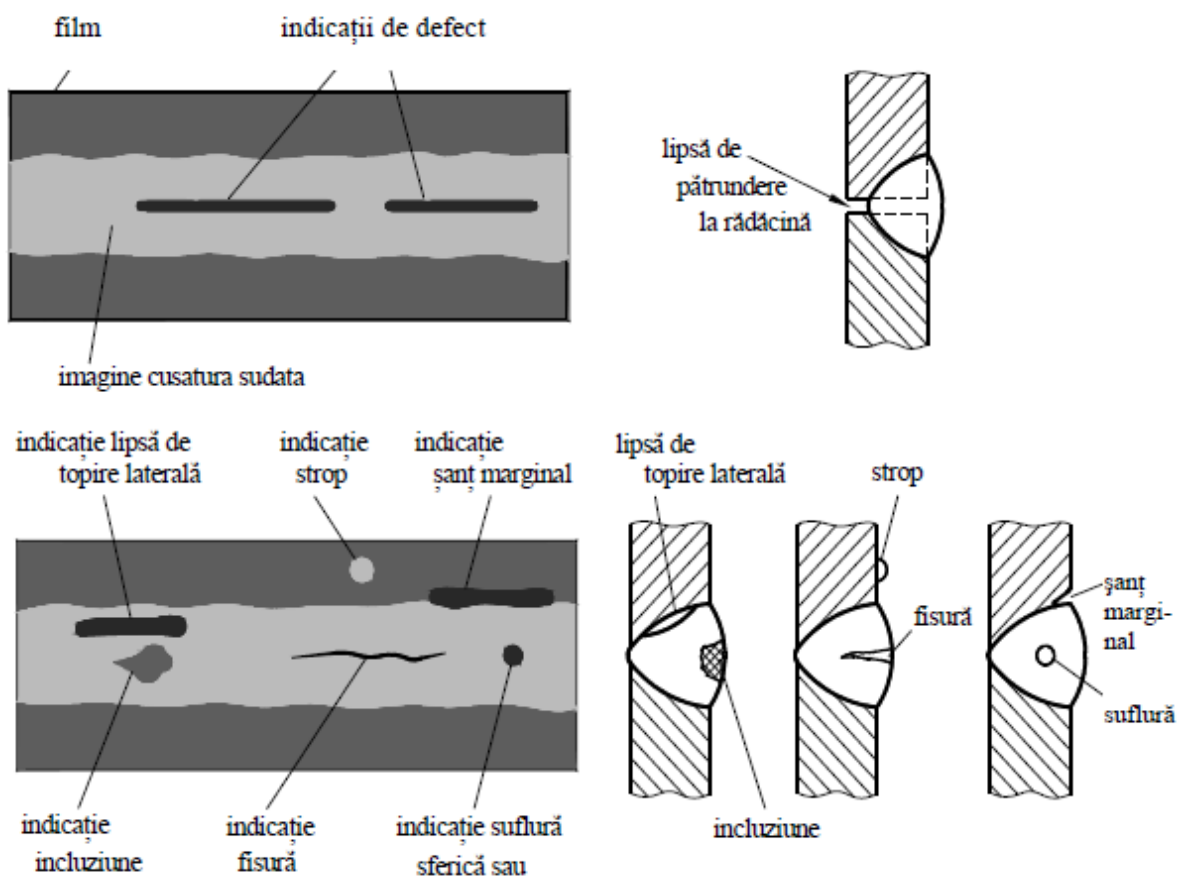


Fig. 1.35. Indicații de defect pe filme radiografice.

Pentru identificarea radiografiilor, pe fiecare porțiune a piesei care se radiografiază se amplasează semne (simboluri) din Pb ale căror imagini apar pe radiografie. Ele se amplasează în afara zonei de interes și trebuie să asigure identificarea fără echivoc a radiografiei.

Lucrarea 6

Controlul prin termografiere

1. **Denumirea metodei:** EXAMINAREA PRIN TERMOGRAFIERE
(IRT – *Infrared Thermography*)

2. **Tipul de examinare:** termic.

3. **Agentul de investigare:** căldura emanată de un corp sau emisă în urma încălzirii artificiale.

4. **Fenomenul fizic de bază:** radiația termică emisă de un corp este purtătoare de informație privind omogenitatea și structura corpului respectiv

5. **Modul de aplicare:** se detectează căldura emisă în mod natural de obiectul examinat sau se asociază sistemului de examinare cu o sursă de cădură care încălzește obiectul examinat, după care se analizează fluxul termic radiat. Propagarea căldurii în obiect depinde de structura acestuia.

6. **Domeniul de utilizare:** mentenanța instalațiilor de transport și transformare a energiei electrice, verificarea pierderilor de cădură în clădiri, examinarea unor materiale nemetalice (compozite), supravegherea proceselor exoterme sau endoterme, monitorizarea proceselor de prelucrare la cald etc

7. **Indicația de defect:** imagini codificate în culori sau în nuanțe de gri, privind distribuția câmpului termic pe suprafața obiectului examinat.

8. **Materialul obiectului controlat:** materiale compozite, structuri lipite, stratificate sau acoperite, metale și aliaje (nelucioase sau acoperite cu vopsea mată), materiale plastice, materiale pentru construcții (beton, ciment etc.) .

9. **Particularități:** caracterizarea unui material cu ajutorul undelor termice se bazează pe corelația dintre modul de distribuție a acestor unde și proprietățile analizate. Prezența unei discontinuități determină o anomalie de distribuție a fluxului termic și deci de temperatură în materialul examinat. Punerea în evidență a acestor anomalii furnizează informații utile privind discontinuitățile.

Termografierea în infraroșu este o tehnică ce permite obținerea, cu ajutorul unei aparaturi adecvate, a *imaginii termice*, a unei *scene termice* observate într-un domeniu spectral din infraroșu. Înțelegând prin *imagine termică* – o repartitie structurată a datelor reprezentative ale radiației infraroșii provenind de la o scenă termică și prin *scenă termică* – parte a spațiului-obiect care se observă cu o aparatură de termografiere. Domeniul spectral denumit infraroșu (IR) este o bandă din spectrul radiației electromagnetice, situată între domeniul vizibil și cel al undelor radio, cu lungimi de undă cuprinse între 0,75 și 30 μm , din care, în defectoscopie, sunt folosite uzual doar intervalele 3,5 ... 5 μm și 8 ... 12 μm .

Marele avantaj, al examinării prin termografiere îl constituie posibilitatea de a prelua imagini termice de la mare distanță (uneori km) a unor suprafețe mari într-un timp foarte scurt, comparabil cu fotografierea sau filmarea în domeniu vizibil.

10. *Schema de principiu* - din punct de vedere principal metodele de termogra-fiere pot fi grupate în două mari grupe: metodele de examinare care necesită o sursă de căldură ca anexă a echipamentului de examinare, denumite *metode active* (fig. 1.52) și metodele de control care constau în analiza sau măsurarea fluxului termic furnizat de produsul examinat (căldura există sau este produsă independent de procesul de examinare), denumite *metode pasive* (fig. 1.53).

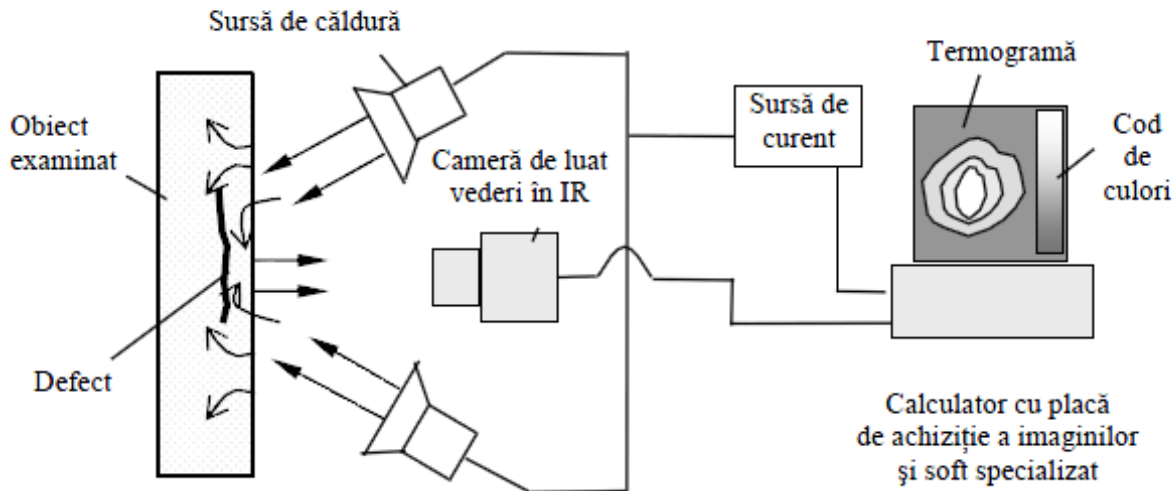


Fig. 1.52. Schema de principiu a termografierii active.

Metodele active se folosesc pentru: detectarea defectelor în materiale lipite, stratificate, acoperite, compozite (metalice sau nemetalice); măsurarea grosimilor straturilor de acoperire sau învelișurilor; caracterizarea materialelor din punct de vedere al comportamentului termic; evaluarea structurii materialelor compozite polimerice.

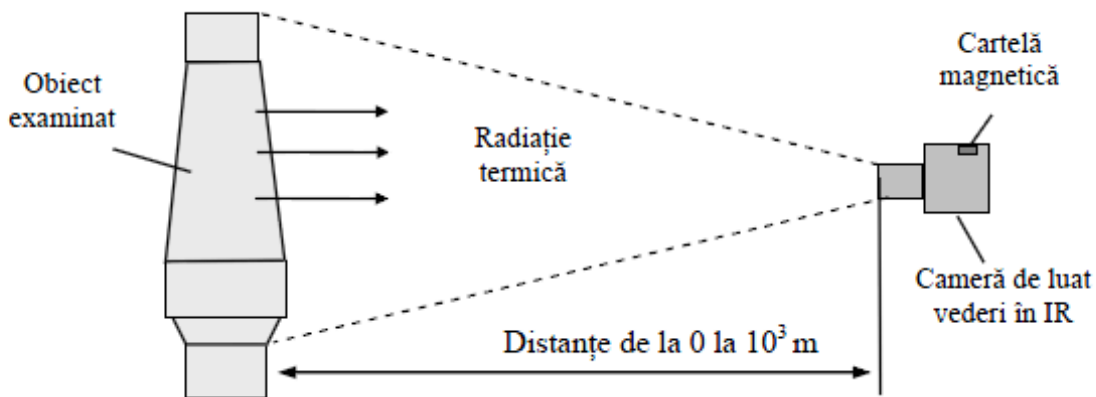


Fig. 1.53. Schema de principiu a termografierii pasive.

Metodele pasive au o aplicabilitate extrem de largă: evidențierea traseelor pe unde se produc pierderi de căldură în construcții; verificarea izolațiilor; măsurarea umidității sau igrasiei; detectarea fisurilor și crăpăturilor. Cea mai răspândită aplicație este în domeniul mentenanței instalațiilor electrice. Imaginea

termică a componentelor instalațiilor electrice conține informații globale privind, pe de o parte, funcționarea normală și, pe de altă parte, informații privind disfuncțiile sau imperfecțiunile materialelor sau asamblărilor. Majoritatea componentelor electrice în funcțiune sunt calde, chiar fără a avea defecte. Ceea ce deosebește un defect de o zonă normală este o *suprîncălzire* a componentei cu defect față de cea fără defect. În cazul în care examinarea se face în varianta activă, încălzirea se poate face pe aceeași parte cu detecția sau pe față opusă a obiectului examinat (fig. 1.54).

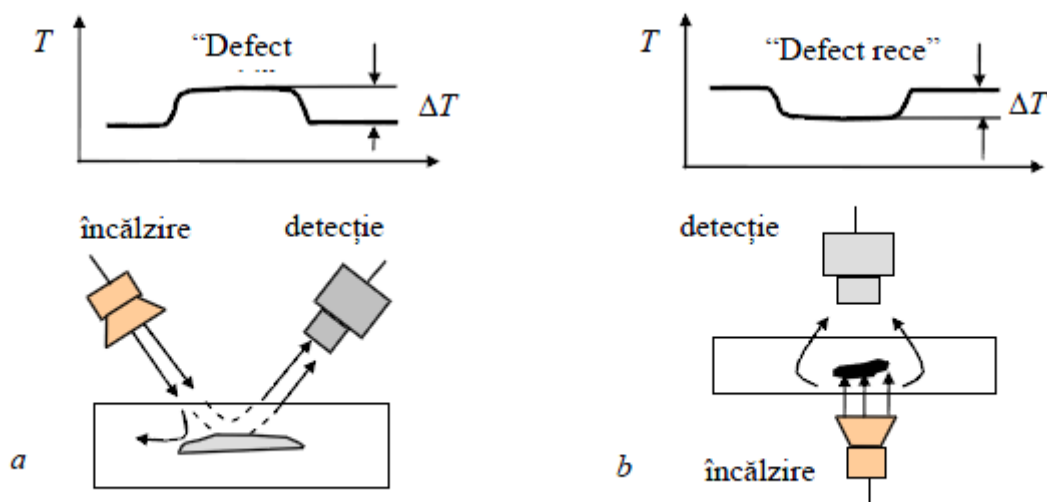


Fig. 1.54. Defectul – barieră termică:
 a – examinarea pe aceeași față; b – examinarea pe față opusă.

11. *Echipament de bază* – un sistem de examinare termografică, care poate fi utilizat atât în varianta activă (fig. 1.55, a) cât și în varianta pasivă (fig. 1.55, b) cuprinde, de regulă, următoarele componente: cameră radiometru, sistem de încălzire, masă pentru deplasarea după trei axe de coordonate, sursă de curent electric pentru alimentarea sistemului de încălzire și acționarea motoarelor care asigură deplasarea componentelor pe masa-suport, corp negru pentru etalonarea sistemului, soft specializat și computer adecvat.

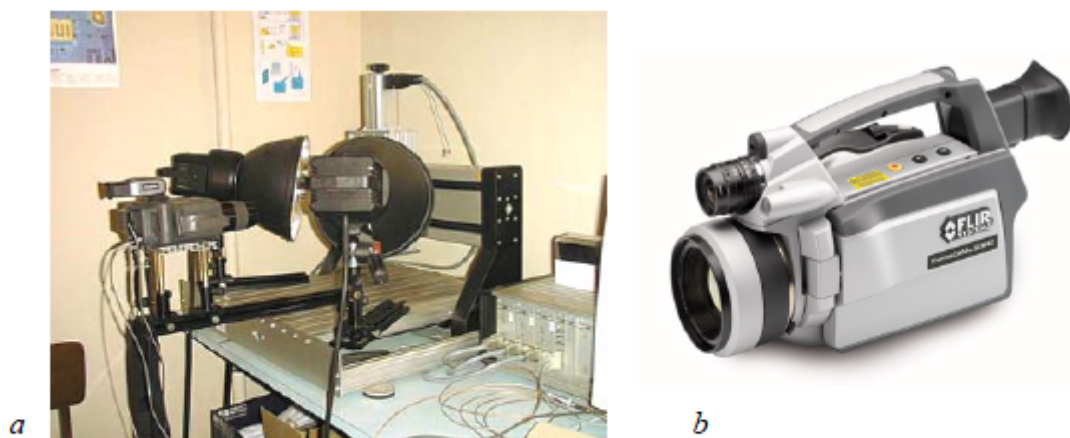


Fig. 1.55. Sistem de examinare prin termografiere: a – încălzire în impulsuri, cu blitzuri de radiație infraroșie; b – cameră radiometru.

Există o gamă largă de aparate de preluat imagini în infraroșu. Cele mai moderne au un detector cu elemente sensibile multiple denumit *FPA - Focal Plan Array*.

12. *Observații și recomandări:*

- Termografierea în infraroșu, ca metodă de examinare nedistructivă, prezintă o serie de avantaje care au condus la dezvoltarea unui ansamblu extrem de amplu de aplicații, dar și o serie de limite: cost ridicat al instalației (de ordinul zecilor sau sutelor de mii de dolari), calificare superioară a personalului operator (de regulă, personalul are studii superioare de fizică sau inginerie), deoarece interpretarea rezultatelor necesită cunoștințe complexe, adeseori interdisciplinare; posibilități de detectare doar a defectelor situate în apropierea suprafeței; produsele cu suprafețe lucioase nu pot fi examinate fără o pregătire prealabilă a suprafeței materialele cu o conductivitate termică foarte mare sau foarte mică nu pot fi examinate în mod obișnuit. Toate aceste limitări pot fi mai mult sau mai puțin depășite cu unele accesorii sau cu o tehnologie specială de examinare.
- Nici una dintre metodele clasice de examinare nedistructivă nu permite examinarea unor suprafețe atât de mari. Imaginile termice preluate de camere de luat vederi în infraroșu sunt comparabile cu imaginile preluate de o cameră de filmat în domeniul vizibil sau cu cele înregistrate fotografic. Echipamentul, dotat cu o parte optică adecvată, portabil și ușor de manevrat pe teren, asigură înregistrarea unor imagini din avion sau elicopter a unor ape sau terenuri minate.
- În condiții de laborator, principala diferență între inspecția termografică și alte metode de control, cum ar fi cele cu ultrasunete, cu pulberi magnetice sau curenți turbionari constă în posibilitatea de a detecta defecte într-o gamă largă de materiale metalice sau nemetalice.
- Pentru caracterizarea unui sistem termografic este necesar să fie luate în considerare toate componentele lanțului radiometric. Fiecare componentă a acestuia este caracterizată de o serie de mărimi care afectează direct sau indirect capabilitatea globală a sistemului. De exemplu, dacă detectorul prezintă sensibilitate în domeniul spectral 3...5 μm , se poate spune despre sistemul termografic, care include acest detector, că este caracterizat de un *răspuns spectral* în intervalul 3...5 μm , chiar dacă filtrul optic admite o bandă spectrală mai largă.
- Evaluarea capabilității sistemului se poate face fie prin luarea în considerare a mărimilor caracteristice ale componentelor în mod separat, fie prin combinarea unor mărimi, reprezentative pentru sistem.
- Sistemele de termografiere pot fi destinate unei analize pur calitative sau unei analize cantitative combinate cu una calitativă. Analiza *calitativă* se face prin simpla vizualizare a distribuției temperaturii în cadrul unei

scenei termice, nesesizabilă direct, prin observare cu ochiul liber. În acest caz, sistemul furnizează o imagine cu un *contrast*, în domeniul vizibil, proporțional cu contrastul termic al obiectului examinat în raport cu mediul înconjurător.

1.3.10. Metode speciale

Metodele de examinare nedistructive mai puțin răspândite sau apărute mai recent, din punct de vedere istoric, sunt denumite metode speciale. În tabelul 1.4 sunt prezentate o parte din metodele considerate, în prezent, speciale.

Tabelul 1.4

Metode		Scopul testării			
		Identifi- carea aliajelor	Detectarea disconti- nuităților	Caracteri- zarea ma- terialului	Măsurarea tensiunilor și deformațiilor
Acustice	Holografie acustică	nu	da ¹	nu	nu
	Acustografie	nu	da	nu	nu
	Tehnici acusto-ultrasonice	nu	nu	da	da ²
	Tehnici fotoacustice	nu	da	da	nu
	Analiza vibrațiilor	nu	da ³	nu	da ³
Electrice și magnetice	Metoda Barkhausen	nu	nu	nu	da ²
	Magneto-optică	nu	nu	nu	da ²
	Rezonanță magnetică	nu	da	nu	nu
	Înveliș fotoelastic	nu	nu	nu	da
	Măsurarea rezistivității	da	nu	4a ⁴	nu
	Măsurarea anizotropiei magnetice	nu	nu	da	da ²
	Termoelectricitate	da	nu	nu	nu
Tribo-electricitate	da	nu	nu	nu	
Optice	Interferometrie holografică	nu	da	nu	da
	LASER	nu	nu	nu	da
	Interferometria Moire	nu	da	nu	da
	Imagistica Moire	nu	nu	nu	da
Radiatii	Spectroscopia emisiei optice	da	nu	nu	nu
	Analiza undelor termice	da	da	da ^{2,5}	nu
	Spectroscopie prin fluorescență cu raze X	da	nu	nu	nu
Altele	Analiza chimică	da	nu	nu	nu
	Difracția neutronilor	nu	nu	nu	da

1 – precizează mărimea și poziția defectelor; 2 – măsoară tensiunile; 3 – poate ajuta la determinarea stării materialului, dar în plus examinarea trebuie să confirme prezența defectelor și deformațiilor; 4 – de exemplu, duritatea; 5 – rezistența termică, conductivitatea, difuzia termică, emisia, absorbția.

Metodele considerate clasice, au fost dezvoltate în primul rând pentru detectarea discontinuităților din materiale și piese.

Metodele speciale sunt mai frecvent folosite în caracterizarea și măsurarea proprietăților materialelor cum ar fi: deformații, comportarea la tensiuni și solicitări, în cazul materialelor identificate deja sau pentru caracterizarea unui material prin comparație cu alte materiale, în scopul identificării compoziției chimice a unui material incomplet sau deloc cunoscut. Nu toate metodele speciale sunt și noi, ca situate în timp. Unele, cum ar fi cele pentru determinarea tensiunilor, au fost aplicate în industrie încă din 1950.

Ceea ce au în comun metodele speciale este modul în care industria le include în tehnologii, uneori în domenii mai restrânse, cel mai adesea pentru caracterizarea materialelor și/sau pentru monitorizarea proceselor și mai puțin pentru detectarea discontinuităților.

Tensiunile sunt evaluate frecvent prin metode optice, incluzând imagistica Moiré, holografia și alte forme de interferometrie, comparabile prin rezultate cu metodele fotoelastice sau examinarea prin difracția cu neutroni. Tensiunile existente în material pot conduce la oboseală, fisurare sau chiar ruperi. Când materialele sunt supuse acțiunii unor forțe exterioare, în interiorul acestuia se produc fie deplasări, ca răspuns la acțiunea forței, fie modificări ale formei.

Deformațiile limită se referă la modificările relative ale dimensiunilor sau formei corpului tensionat. În cazul în care corpul are o secțiune mai complicată, deoarece deformațiile sunt în mai multe direcții, tensiunile sunt definite ca o măsură a deformațiilor. Dacă aceste modificări dimensionale sunt împiedicate din diverse motive, răspunsul la aplicarea forțelor exterioare este apariția tensiunilor reziduale în material.

Identificarea aliajelor este și ea o ramură a încercărilor nedistructive deși nu se urmărește detectarea unor discontinuități sau defecte, în sensul uzual al termenului. Identificarea aliajelor necesită un ansamblu de metode, incluzând metode electronice, magnetice, chimice și cu radiații. Unele metode de identificare a aliajelor includ degradări minore ale suprafeței, cum ar fi coroziune sau polizare. Cu toate că identificarea și clasificarea nedistructivă a aliajelor este folosită de mai bine de 50 de ani, caracterizarea metalelor a început să primească o atenție deosebită în anii 1980.

Determinarea compoziției chimice și a caracteristicilor unui material sunt deosebit de importante. De cele mai multe ori, compoziția chimică a unui material afectează durata de funcționare a pieselor confecționate din acel material mai mult decât o fisurare puternică.

Detectarea unor «viitoare» discontinuități, defecte mai subtile, care într-o anumită etapă a fabricației sau chiar a funcționării nu se manifestă ca discontinuități clasic detectabile. Discontinuitățile existente într-un material nu sunt reprezentate numai de lipsa de material sau goluri clare, cum ar fi porii și fisurile. Adeseori, *interfața* dintre două materiale diferite sau dintre două straturi ale aceluiași material nedetectabilă prin metode clasice, poate deveni locul unde se

produce o rupere. La solicitarea la presiune și temperatură, un material stratificat se poate contracta sau alungi în mod diferit, în straturi diferite. Se creează în acest mod spații între straturi, ceea ce poate determina *exfolierea*. Acest fenomen este frecvent întâlnit, de exemplu, la plăcile din materiale compozite care învelesc navele spațiale. Același mecanism poate produce desprinderi de straturi și chiar fisuri. Măsurarea microdeplasărilor poate ajuta la detectarea precoce sau predicția ruperii materialului.

Este dificilă o trecere în revistă completă a aplicațiilor metodelor speciale în diverse domenii ale industriei. În literatura de specialitate sunt descrise metode de examinare speciale pentru domeniile: textile, hârtie, conservarea lucrărilor de artă, inginerie civilă și arhitectură, utilizări neelectrice, preparare alimente, bunuri de consum și fabrici de asamblare a produselor electronice.

Proprietățile materialelor din aliaje metalice (duritatea, reziliența, structura, deformabilitatea etc.) sunt strict determinate de compoziția chimică (elementele de aliere) și de combinarea diferitelor structuri cristaline prin tratamente termice specifice. În industria oțelului metodele speciale de încercări nedistructive sunt frecvent folosite pentru studiul și monitorizarea modificărilor proprietăților chimico-structurale. Termografierea în infraroșu este folosită adesea pentru monitorizarea operațiilor de prelucrare la cald: laminare, roluire, forjare și turnare sau pentru monitorizarea tratamentelor termice.

Metodele de identificare a aliajelor, utilizate la determinarea compoziției chimice a materialelor și diferențele cantitative ale componentelor de aliere sunt determinate prin fluorescența cu raze X, analiza spectrografică sau analiză chimică. Multe dintre aceste metode sunt aplicate și în inspecția nedistructivă a calității. Proprietățile feromagnetice ale oțelurilor aliate pot fi evaluate electromagnetic, un exemplu în acest sens este metoda care se bazează pe efectul Barkhausen. *Efect Barkhausen* este denumirea dată zgomotului care apare într-un material feromagnetic, când forța de magnetizare aplicată pe acesta se modifică. Descoperit de fizicianul german Heinrich Barkhausen în 1919 acest efect este cauzat de schimbările rapide ale mărimii domeniilor magnetice – atomi orientați magnetic la fel – în materiale feromagnetice.

Metodele fotoacustice prezintă importantul avantaj că nu necesită contact cu produsul și nu este nevoie de nici un element de cuplare.

Metodele fotoacustice se bazează pe modificările de presiune sau de densitate ale probei ca urmare a absorbției luminii sau a radiației infraroșii. În mod obișnuit, se folosește ca sursă de excitare un fascicul laser. Semnalul fotoacustic, într-o primă aproximație, este proporțional cu creșterea de temperatură a probei, deci depinde de energia absorbită. Modulația în frecvență a impulsurilor radiației laser incidente este reglată în așa fel încât să se încadreze în domeniul acustic, ceea ce permite utilizarea unor metode de amplificare specifice semnalelor acustice.

Schimbând compoziția chimică a unui material prin varierea cantitativă a unor elemente de aliere sau doar unele variabile de proces, proprietățile aliajelor pot fi, la rândul lor, variate într-o gamă largă ceea ce permite utilizarea lor într-un spectru larg de aplicații ingineresti.

Metodele speciale de examinare nedistructivă oferă informații despre materiale în diverse stadii ale fabricației lor, ceea ce are o importanță deosebită în industriile de vârf. Importanța lor este amplificată în prezent deoarece eficiența operațiilor și calitatea iau tot mai mult locul producției cantitative.

Întrucât nu există o metodă ideală de examinare nedistructivă, în practică, verificarea unui produs se realizează prin combinarea mai multor metode, obținându-se un așa numit “ansamblu de metode de examinare”.

Acesta cuprinde, în mod obișnuit, examinările:

- optico-vizual (obligatoriu!), completat adesea cu verificarea formei; prin forma piesei se înțelege configurația suprafețelor, întinderea acestora (dimensiunile), precizia geometrică (toleranțe, abateri de formă, abateri de poziție), rugozitatea suprafețelor, însușirile stratului superficial (durificat, vopsit, metalizat etc.).
- cel puțin o metodă pentru detectarea defectelor de suprafață;
- cel puțin o metodă pentru detectarea defectelor de profunzime.

De exemplu, pentru controlul final al unui recipient chimic sudat, din oțel, care lucrează la presiuni înalte, complexul de metode poate cuprinde:

- optico-vizual și verificarea formei;
- pulberi magnetice;
- radiații penetrante;
- ultrasunete;
- verificarea etanșeității.

Lucrarea 6

Controlul etanșeității

1. **Denumirea metodei:** EXAMINAREA ETANȘEITĂȚII
(LT – Leak testing)
2. **Tipul de examinare:** diferit, în funcție de metodă.
3. **Agentul de investigare:** apă, gaz (aer, heliu etc.), diverse substanțe chimice, lichide penetrante ș.a.
4. **Fenomenul fizic de bază:** diferit, funcție de metodă
5. **Modul de aplicare:** agentul de investigare străbate neetanșeitățile pereților, îmbinărilor, asamblărilor și este detectat pe partea opusă
6. **Domeniul de utilizare:** discontinuități străpunse în piese turnate, sudate, matrițate, țevi, cazane, sisteme de conducte, fittinguri, îmbinări, asamblări
7. **Indicația de defect:** diferită, în funcție de metoda aplicată: variație de presiune, formarea de bule, gaze trasoare detectate cu spectrometre etc.
8. **Materialul obiectului controlat:** metale și aliaje, materiale plastice, sticlă, cauciuc, materiale compozite; nu materiale poroase sau lemn.
9. **Particularități** – verificarea etanșeității se realizează practic prin mai multe metode, care se grupează, uzual, în următoarele categorii: metode *prin variație de presiune*, cu suprapresiune sau cu vid: proba hidraulică, pneumatică, retenția vidului, metoda vasului compensator, cu bule de gaz în lichid, cu film lichid și bule de gaz, cu gaze trasoare, cu heliu, cu halogeni, cu freon și flacără de gaz, cu hidrogen; *metode locale*, prin care se pune în evidență locul prin care se produce scurgerea; *metode globale*, prin care se pune în evidență doar existența scurgerilor și, eventual, mărimea acestora.
10. **Schema de principiu** – având în vedere faptul că există un număr foarte mare de metode de verificare a etanșeității, este evident faptul că pentru fiecare metodă se poate prezenta o schemă de principiu. În figura 1.42 este prezentată schema cea mai generală.

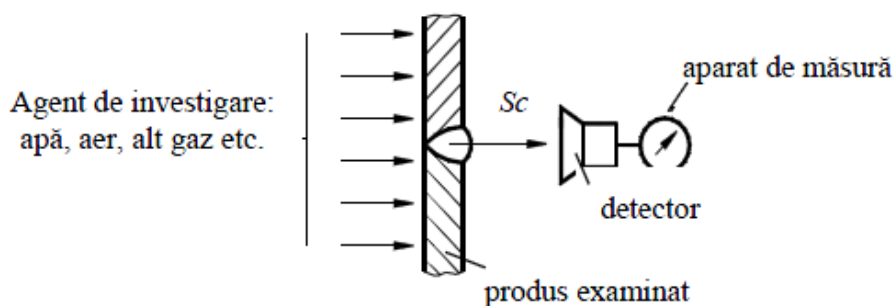


Fig. 1.42. Schema de principiu a verificării etanșeității (S_c – scăpări).

Detectorul poate evidenția prezența scăpărilor prin: simțurile omului (miros, auz, pipăit); variația presiunii; formarea bulelor; o reacție chimică; detectarea ionilor; detectarea radiațiilor; detectarea ultrasunetelor etc. Dintre metodele de verificare a etanșeității, cea mai răspândită este proba hidraulică, urmată de proba pneumatică, probă care oferă o detectabilitate mai ridicată decât cea hidraulică (fig. 1.43).

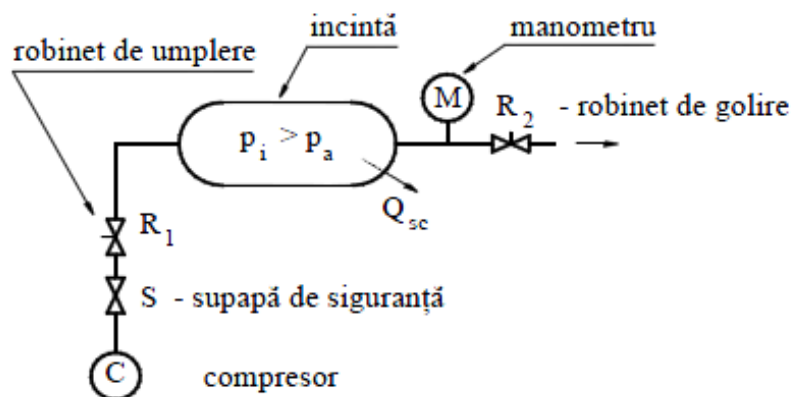


Fig. 1.43. Schema de principiu a probei pneumatice.

Incinta verificată se umple cu gaz sub presiune, urmărindu-se variația presiunii în timp (este o metodă din categoria celor cu suprapresiune, globală). Neetanșeitățile sunt puse în evidență prin: scăderea presiunii în timp; deformarea pereților; uneori este necesară combinarea cu alte metode (cu bule de gaz, cu gaze trasoare).

Metoda bulelor de gaz în lichid face parte din categoria metodelor de verificare a etanșeității prin variația presiunii. Metoda prezintă două variante de bază (fig. 1.44): verificarea cu film lichid (fig. 1.44, a) și verificarea prin imersie (fig. 1.44, b).

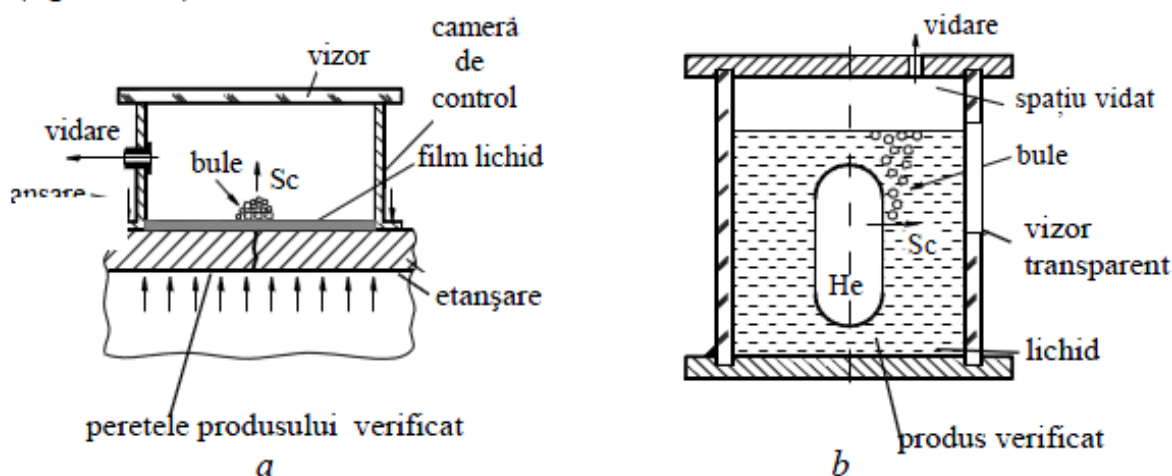


Fig. 1.44. Schema verificării etanșeității prin metoda bulelor de gaz în lichid.

Diferența de presiune dintre interiorul și exteriorul produsului examinat determină apariția scăpărilor prin neetanșeități, care, prin stratul de apă mai subțire sau mai gros, formează niște bule de gaz, sesizabile, cel mai adesea, cu ochiul

liber. În cazul în care gazul utilizat ca agent de investigare este un gaz special, și detecția se bazează pe evaluarea cantității de gaz scăpate prin neetanșeități, metoda de verificare se numește *cu gaze trasoare*. Gazul traser este detectat cu un detector de gaz special după ce a străbătut neetanșeitățile (un exemplu în acest sens este detecția cu spectrometru de masă).

11. *Echipament de bază* – este adecvat metodei și este extrem de variat în funcție de aceasta. În figura 45 este prezentată imaginea unui compresor ca sursă de presiune la utilizarea probei pneumatice. Compresorul de aer se asociază cu o unitate de comandă cu pupitru și computer, aparate de măsurare a presiunii (manometre), conducte flexibile și elemente de legătură (fitinguri), pompă de vid.



Fig. 1.45. Compresor de aer.



Fig. 1.46. Detector de Heliu.

Detectorul de heliu (fig. 1.46 - heliul este cel mai utilizat gaz traser) este, de regulă, un spectrometru de masă cu mare sensibilitate (5 ppm în aer). Spectrometrele moderne oferă un semnal optic și sonor, reglabil în funcție de cantitatea de heliu detectat (debit minim de scăpări detectabil 5×10^{-6} mbar l/s), posibilitatea de comandă de la distanță și înregistrarea rezultatelor. În figura 1.47 este prezentat schematic spectrometrul de masă.

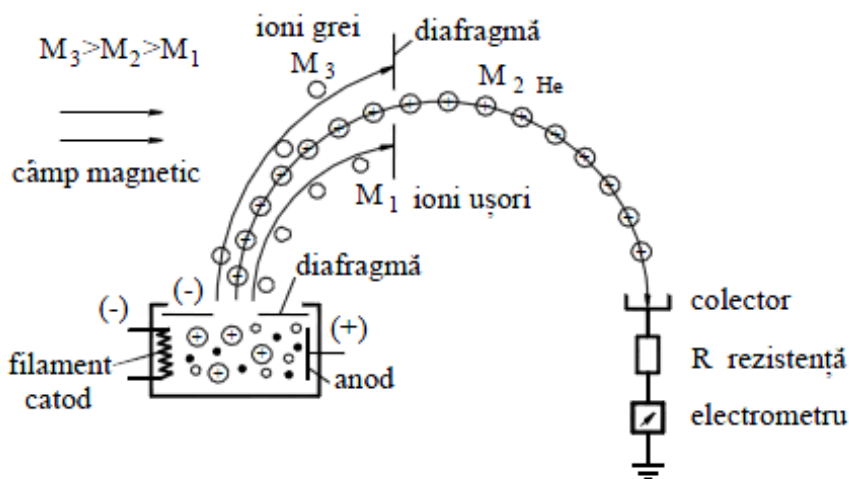


Fig. 1.47. Spectrometrul de masă.

Gazul scăpat prin neetanșeități ajunge în camera de ionizare, între un anod și un catod, de unde iese printr-o diafragmă legată la borna negativă a unei surse de curent. Câmpul magnetic deviază traseul ionilor amestecați (heliu cu gaze din atmosfera înconjurătoare) în funcție de masa acestora. Astfel, ionii cu mase M_1 și

M₃ nu trec de diafragma verticală. Ionii de heliu cu mase M₂ ajung într-un colector de ioni, unde generează un curent electric măsurabil.

12. *Observații și recomandări:*

- Etanșeitatea este o noțiune relativă! NU EXISTA produse perfect etanșe, ci produse cu un anumit grad de etanșeitate
- Prin *sensibilitatea unei metode de verificare a etanșeității* se înțelege cel mai mic debit al scăpărilor, sesizabil prin metoda respectivă. Ea se exprimă în unități de debit al scăpărilor (Pa.m³/s).
- La estimarea sensibilității de detectare, în cazul metodelor bazate pe evidențierea variațiilor de presiune, este necesar să se țină cont și de sensibilitatea aparatului cu ajutorul căruia de măsoară presiunea (manometrul cu element elastic, cel mai folosit, este caracterizat din acest punct de vedere prin *clasa de exactitate*, inscripționată pe cadranul acestuia prin cifre, reprezintă erorile de măsurare ±, în procente din limita superioară de măsurare. Cu cât cifrele sunt mai mici, cu atât precizia de măsurare este mai mare).
- La metodele de verificare bazate pe măsurarea variației de presiune, presiunea de lucru ar trebui să fie cât mai mare pentru ca să se pună în evidență neetanșeitățile foarte mici. Din motive de securitate, presiunea se limitează însă la anumite valori.
- În cazul în care presiunea scade repede, după începerea testului, acest fenomen arată existența unor scăpări mari, deci a unor defecte grosolane. Testul se întrerupe și se procedează la găsirea neetanșeităților, folosind o metodă locală adecvată, se remediază defectele și se reia testul.
- Pentru stabilirea condițiilor tehnice de efectuare a testului, se folosesc, de regulă norme tehnice specifice produsului verificat. În aceste norme există uneori precizarea că “în timpul verificării nu se admit pierderi de presiune” ca o condiție de acceptare. Considerăm discutabilă această precizare, atâta timp cât aparatul de măsură introduce o eroare de măsurare. Corect este să se considere că există o pierdere egală cu eroarea de măsurare, dată de clasa manometrului folosit, ceea ce este acoperitor.
- Un gaz, pentru a putea fi folosit ca gaz trasor trebuie să îndeplinească următoarele condiții: să nu existe în cantități mari în atmosferă; să nu fie toxic, inflamabil sau exploziv; să aibă proprietăți fizice (viscozitate, masă moleculară mică) care să-i permită trecerea prin orificii foarte mici; să existe o metodă care să permită detectarea prezenței gazului în cantități foarte mici. Gazul care îndeplinește toate aceste condiții este heliul (He). El are cea mai mică moleculă (aproximativ 1,9 Å), iar concentrația în atmosferă este foarte mică (7 · 10⁻⁵% în greutate, 5,2 · 10⁻⁴% în volum). Se mai pot folosi și alte gaze: argonul (0,93%); hidrogenul (5 · 10⁻⁵%) și freonul.

Lucrarea 8

Controlul prin emisie acustică

1. *Denumirea metodei*: EXAMINAREA PRIN EMISIE ACUSTICE
(AET – *Accoustic Emission Testing*)
2. *Tipul de examinare*: acustic
3. *Agentul de investigare*: obiectul examinat este supus unei solicitări din exterior care provoacă o emisie acustică specifică obiectului
4. *Fenomenul fizic de bază*: solicitarea obiectului testat (compresiune, dilatare termică, tracțiune etc.) determină mici deplasări în zona defectelor, care generează vibrații, ce se propagă prin piesă sub formă de unde sferice.
5. *Modul de aplicare*: obiectul examinat este supus unei solicitări mecanice sau de altă natură după care se captează emisia acustică produsă de defectele existente sau de alte fenomene care se manifestă sub solicitare. Metoda se aplică și produselor supuse unor solicitări ciclice în timpul funcționării sau se monitorizează pe termen lung funcționarea.
6. *Domeniul de utilizare*: discontinuități străpunse în piese turnate, sudate, matrițate, țevi, cazane, sisteme de conducte, fittinguri, îmbinări, asamblări
7. *Indicația de defect*: diferită, în funcție de metodă.
8. *Materialul obiectului controlat*: metale și aliaje, materiale plastice, sticlă, cauciuc, materiale compozite; nu materiale poroase sau lemn.
9. *Particularități*: examinarea prin analiza emisie acustice este o metodă nedistructivă, care constă în înregistrarea emisie acustice produse într-un material, ca urmare a stimulării acestuia într-un anumit mod (presare, îndoire, lovire, încălzire, răcire, rupere etc.). *Emisia acustică* este un fenomen care constă în eliberarea rapidă a energiei, sub formă de unde elastice, care se propagă într-un material și pot fi detectate la suprafața acestuia. Zona materialului în care se generează evenimente care se manifestă sub formă de vibrații se numește sursă de EA. Exemple de fenomene care generează surse de EA: mișcări structurale de dislocare, în domeniul deformațiilor elastice; transformări de fază; apariția și propagarea fisurilor; scurgerea fluidelor prin interstiții; spargerea peliculelor de oxizi, zgură, acoperiri de protecție; desprinderea așchiilor și ruperea muchiilor sculelor așchietoare; fenomenul de cavitație etc.
10. *Scheme de principiu* – sistemul care captează, amplifică și analizează emisia unui produs aflat sub o solicitare cu scopul identificării unor defecte sau disfuncționalități cuprinde un ansamblu de componente prezentate sintetic în figura 1.48. Produsul examinat este supus unei solicitări (în figură - o solicitare la tracțiune). Fisura existentă în interiorul produsului este o sursă de emisie acustică, fie datorită microfrecărilor care se produc între suprafețele acesteia, fie din cauza

creșterii sau propagării fisurii. Semnalul acustic produs ca urmare a eliberării rapide de energie se propagă prin materialul controlat sub formă de unde elastice ce pot fi detectate la suprafața produsului cu ajutorul unor senzori denumiți **captori**. Un captor conține, în principal, un traductor care transformă oscilația mecanică în oscilație electrică. Semnalul electric este transmis defectoscopului, unde este amplificat și prelucrat în diverse moduri, astfel încât informațiile să poată fi analizate și interpretate.

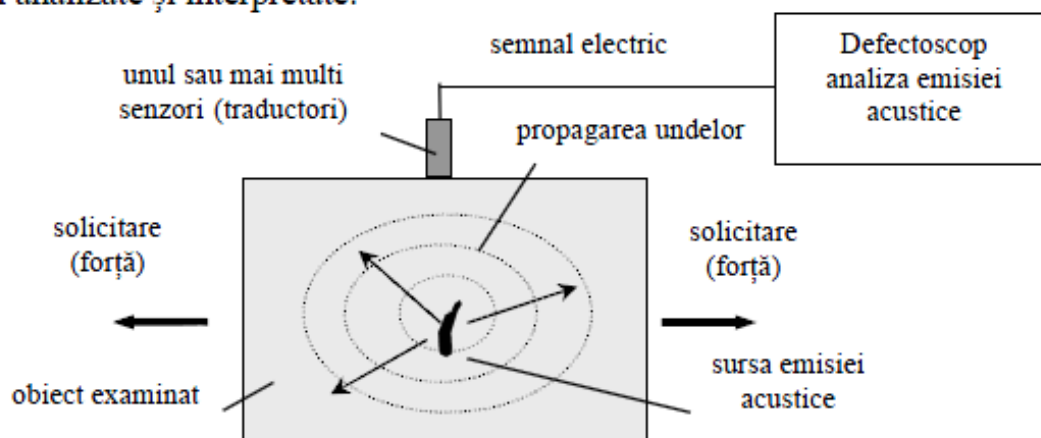


Fig. 1.48. Schema de principiu a examinării prin analiza emisiei acustice.

Examinarea prin această metodă presupune eliminarea emisiei surselor parazite (*surse parazite* – surse de emisie acustică cauzate de acțiunea altor fenomene decât cel studiat. Exemple: zgomotul produs de instalațiile mecanice, angrenaje, motoare electrice, surse de curent pentru sudare, curgere de fluide, valuri etc.).

Emisia acustică, asociată diverselor fenomene, care se analizează pentru identificarea defectelor sau a unor posibile disfuncții este diferită în funcție de evenimentul care o generează (prin *eveniment* de EA se înțelege apariția unei microdeplasări, angajând unde elastice tranzitorii). Astfel, *emisia acustică discretă* este emisia pentru care intervalul de timp între impulsuri este mai mare sau egal cu durata de creștere sau descreștere a lor. Este specifică apariției și creșterii fisurilor, *emisia acustică continuă* este emisia pentru care intervalul de timp între impulsuri este mai mic decât durata de creștere sau de atenuare a lor. Este specifică producerii deformațiilor.

11. *Echipment de bază* – un sistem folosit în examinarea nedistructivă prin analiza emisiei acustice conține un ansamblu de componente care asigură recepția (captarea), separarea, înregistrarea și analiza semnalelor de emisie acustică. În principal, sistemul cuprinde un aparat denumit defectoscop (fig. 1.49), unul sau mai mulți captori (traductori) și cabluri de legătură.

Traductorii (fig. 1.50) sunt dispozitive folosite pentru captarea semnalelor de emisie acustică și poartă denumirea de *captori* sau *senzori*. Ei convertesc undele elastice receptate, în semnale electrice, care se pot prelucra și înregistra. Cei mai folosiți captori sunt cei piezoelectrice care, constructiv, sunt foarte asemănători palpatoarelor normale, folosite în examinarea cu ultrasunete. Dintre caracteristicile

lor, două sunt mai importante în practică: frecvența (între 30 kHz și 1 MHz, uzual, între 100 și 300 kHz) și temperatura de lucru (- 40...600 °C).



Fig. 1.49. Defectoscoape pentru examinarea în sistem unicanal.

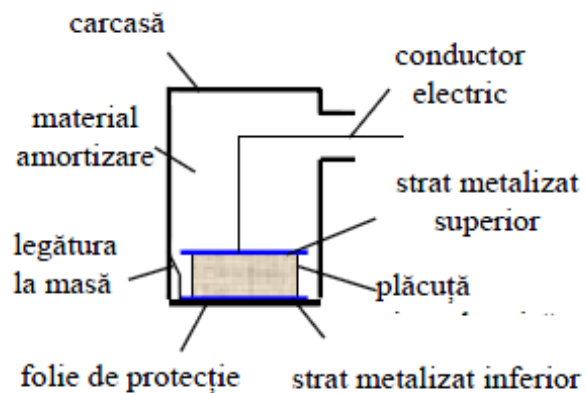


Fig. 1.50. Captori piezoeletrici.

Sistemul unicanal presupune utilizarea unui singur captor și un singur lanț (canal) de prelucrare și înregistrare a datelor. Un sistem unicanal permite o serie de aplicații din domeniul defectoscopiei nedistructive, ca de exemplu: înregistrarea momentului apariției fisurilor și a evoluției lor, detectarea scurgerilor la verificarea etanșeității produselor; monitorizarea proceselor de prelucrare, cu sesizarea apariției defectelor și modificarea accidentală a regimului de lucru (la sudare, prelucrarea prin așchiere, prelucrarea cu scânteii electrice etc.).

Pentru localizarea surselor de emisie acustică sunt necesari mai mulți captori. Un astfel de sistem se numește multicanal (fig. 1.51). Aceste sisteme se utilizează în următoarele situații: pentru localizarea surselor de emisie acustică, pe baza diferenței dintre timpul de sosire a undelor la fiecare traductor în parte, deoarece sursele nu sunt poziționate la distanțe egale față de traductori și pentru tratarea în mod diferit a aceluiași semnal, în scopul de a obține noi informații despre sursa care l-a produs. Un soft adecvat permite interconectarea cu un PC prin care toate comenzile pot fi transferate calculatorului, iar datele înregistrate pot fi, de asemenea, transferate acestuia, în vederea prelucrării lor.

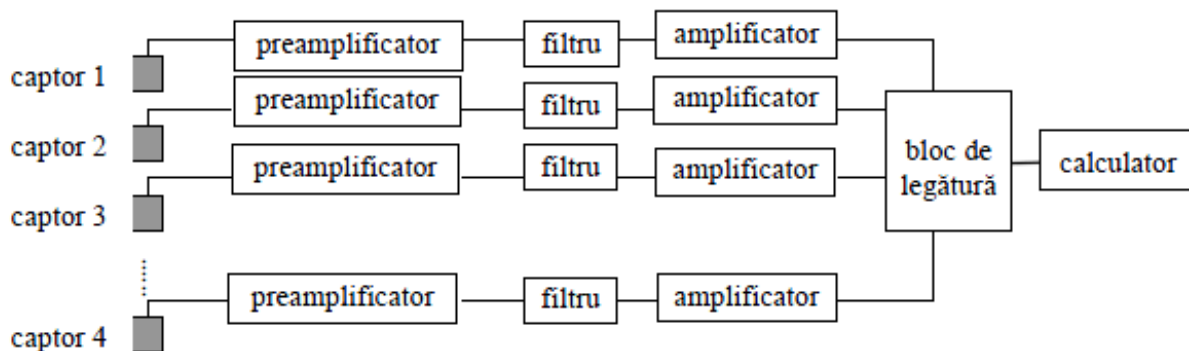


Fig. 1.51. Sistemul multicanal.

Uneori traductorii nu pot fi montați direct pe piesa sau materialul de controlat (piesa prelucrată se poate afla într-un mediu neizolat electric, activ din punct de vedere chimic sau la temperaturi foarte mari), între piesă și traductor se interpune o piesă sau un ansamblu care poartă numele de *ghid de undă* și care are rolul de a conduce undele de emisie acustică de la piesă la traductor, izolând în același timp traductorul.

12. Observații și recomandări:

În ultimii ani, examinarea prin analiza emisie acustice a căpătat o dezvoltare uimitoare ca urmare a progreselor spectaculoase înregistrate în electronică și în tehnica de calcul. În momentul de față, controlul prin emisie acustică se aplică în următoarele situații:

- ca metodă nedistructivă, la stabilirea nivelului calității unor produse, și anume: caracterizarea comportamentului materialelor metalice și nemetalice în cazul unor solicitări mecanice, termice, chimice; caracterizarea materialelor compozite; caracterizarea îmbinărilor lipite; stabilirea nivelului de calitate al cusăturilor sudate;
- la supravegherea proceselor de fabricare sau prelucrare a materialelor;
- la supravegherea proceselor de exploatare, ca de exemplu: controlul construcțiilor sudate; controlul recipientelor sub presiune; controlul aeronavelor spațiale.

Principalul dezavantaj al examinării prin emisie acustică este acela că semnalul este alcătuit dintr-un număr foarte mare de componente de frecvențe diferite, fiecare având amplitudini și faze inițiale diferite. Din aceste motive, decodificarea, în scopul identificării surselor care au produs emisia este extrem de dificilă. Din punct de vedere teoretic, există posibilitatea descrierii matematice a propagării undelor sonore și a stabilirii unor modele prin care să se decodifice semnalele recepționate. Pentru evitarea situațiilor confuze este necesară studierea atentă a unor produse cu defecte cunoscute și alcătuirea unei bănci de date cu tipurile de semnale provenite de la sursele cele mai frecvente posibile într-un anumit context (de exemplu, semnalul provenit de la amorsarea corectă a unui arc electric, sau semnalul provenit de la apariția unei fisuri longitudinale într-o cusătură sudată).